

**Faculté des Sciences
Rabat**

**Par:
Pr. Nadia Kassou**

**LICENCE
S2
COURS DE GEODYNAMIQUE EXTERNE**

INTRODUCTION

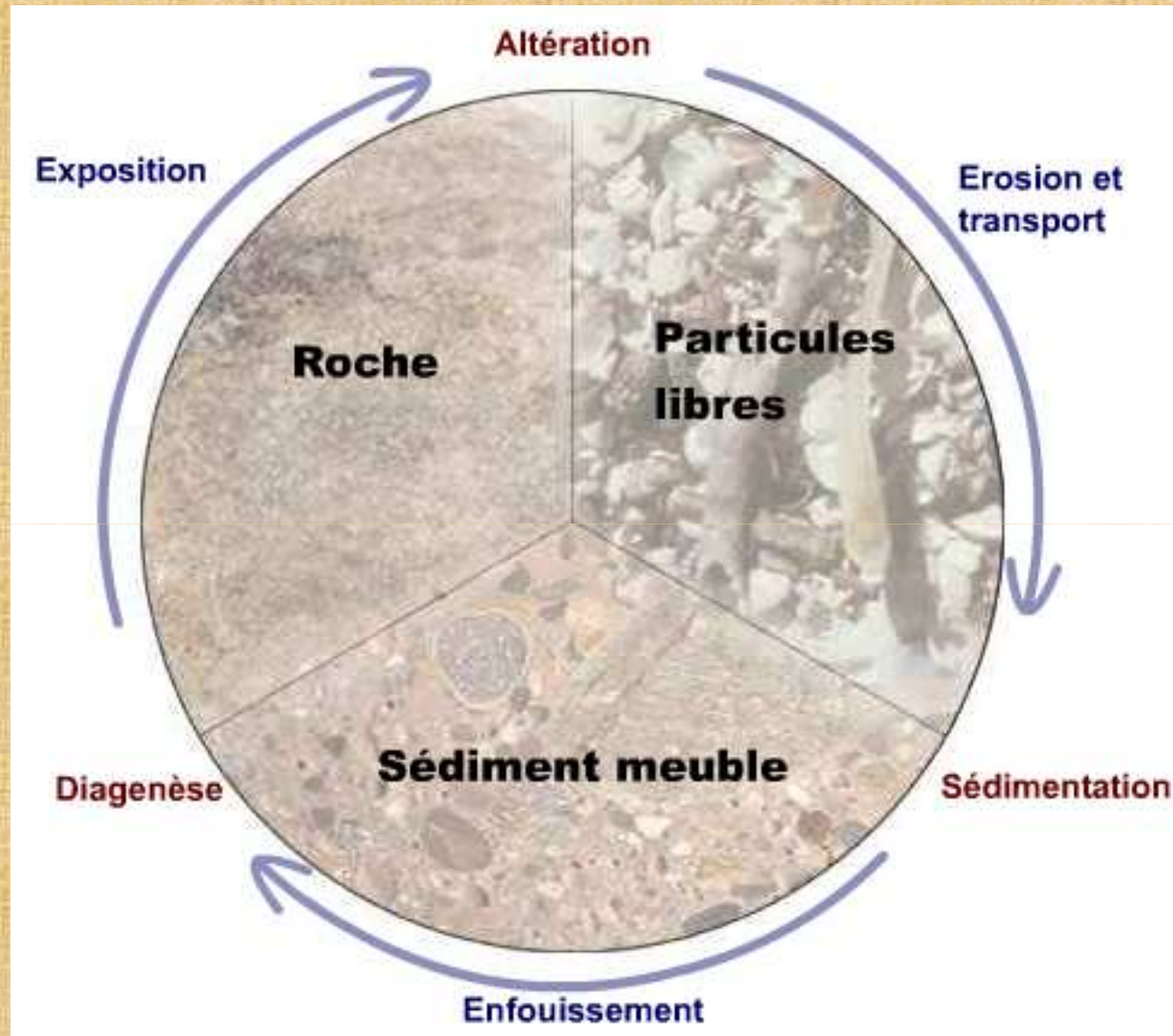


Fig.1 **CYCLE SEDIMENTAIRE**

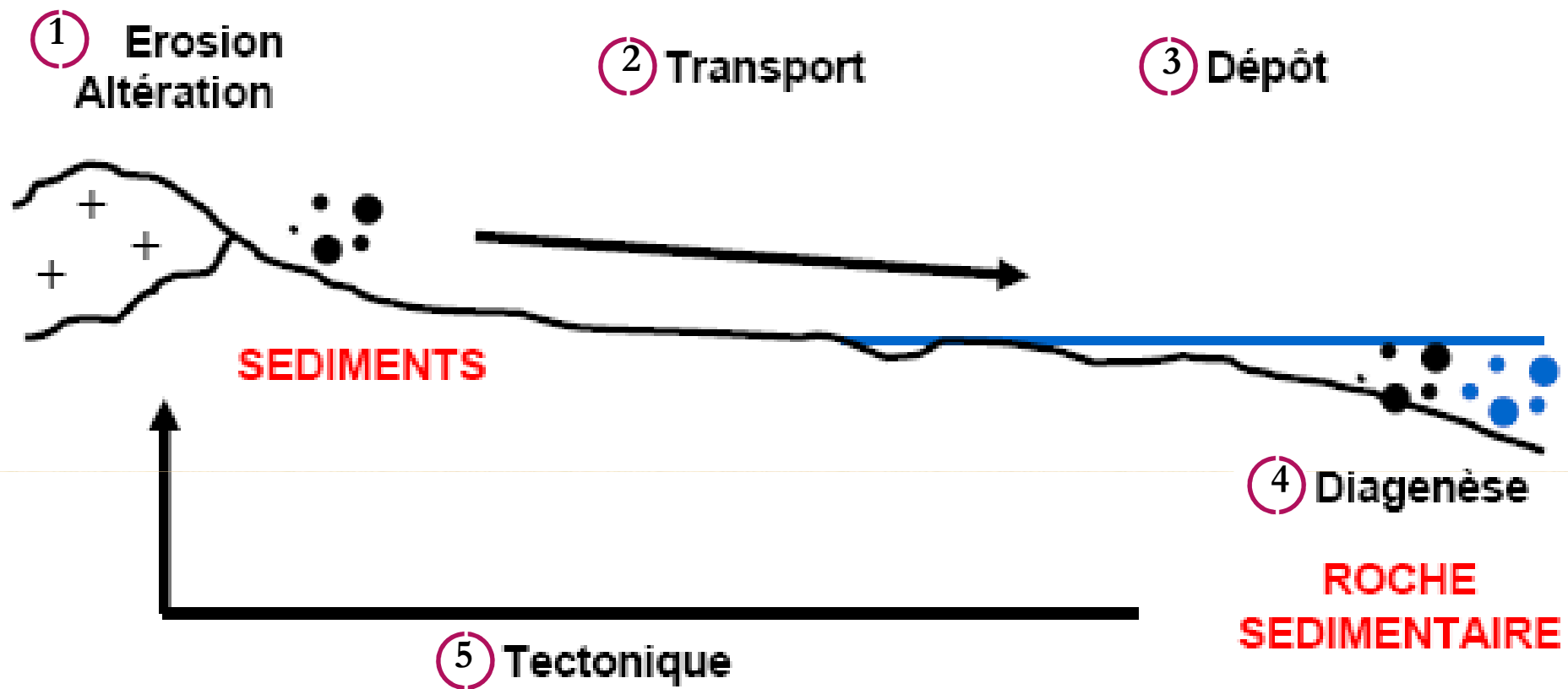


Fig.2 Les étapes de transformation des roches à la surface de la terre.

Plan du cours

Partie 1- Cycle et classification des roches sédimentaires et intérêt de la géologie des roches sédimentaires

- Notion d'altération et d'érosion
- Transport des particules sédimentaires
- Processus de sédimentation
- Diagenèse

Partie 2- Milieux de sédimentation

- **Milieu continental**
- **Milieu mixte**
- **Milieu marin**

Partie 3 – Les eaux souterraines

- **L'eau dans les roches sédimentaires**
- **Nappes et puits**
- **Les terrains karstiques**
- **L'hydrothermalisme**

**LICENCE
S2
COURS DE GEODYNAMIQUE EXTERNE**

PARTIE I

**Cycle des roches sédimentaires, classification
des roches sédimentaires et intérêt de la
géologie des roches sédimentaires**





-  **Notion d'altération et d'érosion**
-  **Transport des particules sédimentaires**
-  **Processus de sédimentation**
-  **Diagenèse**



Fig.1 Cryoclastie d'un granite



Fig.2 Thermoclastie



Fig.3 Joints de décompression dans un massif granitique



Fig.4 Altération en boules d 'un granite



Fig.5 Bloc exotique charrié par la glace



Fig.6 Carrières de l'oued Akrech

Anhydrite



Fig.7

Gypse



Photographie T.C pour monannuairecollege.com

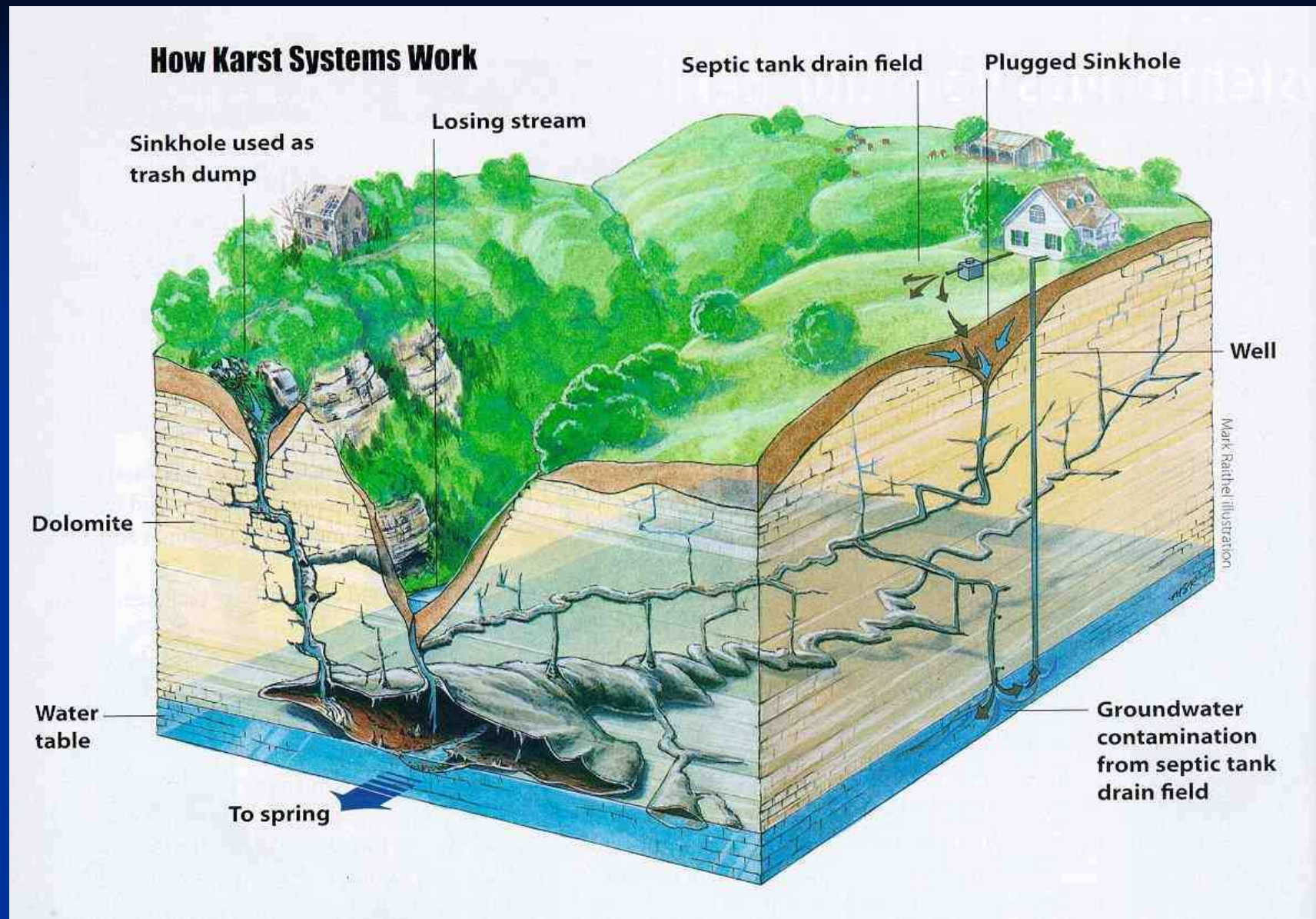


Fig.8 **Dissolution des calcaires dans un paysage karstique**



Fig.9 Dissolution des calcaires dans un paysage karstique



Granite non altéré

Fig.10

*Granite en voie
d'altération*



Minéral	Durée de vie (ans)
Anorthite	112
Diopside	6 800
Enstatite	8 800
Albite	80 000
Feldspath K	520 000
Forstérite	600 000
Muscovite	2 700 000
Quartz	34 000 000

Durée de vie d'un minéral
de 1mm³ (pH 5 et 25°C)

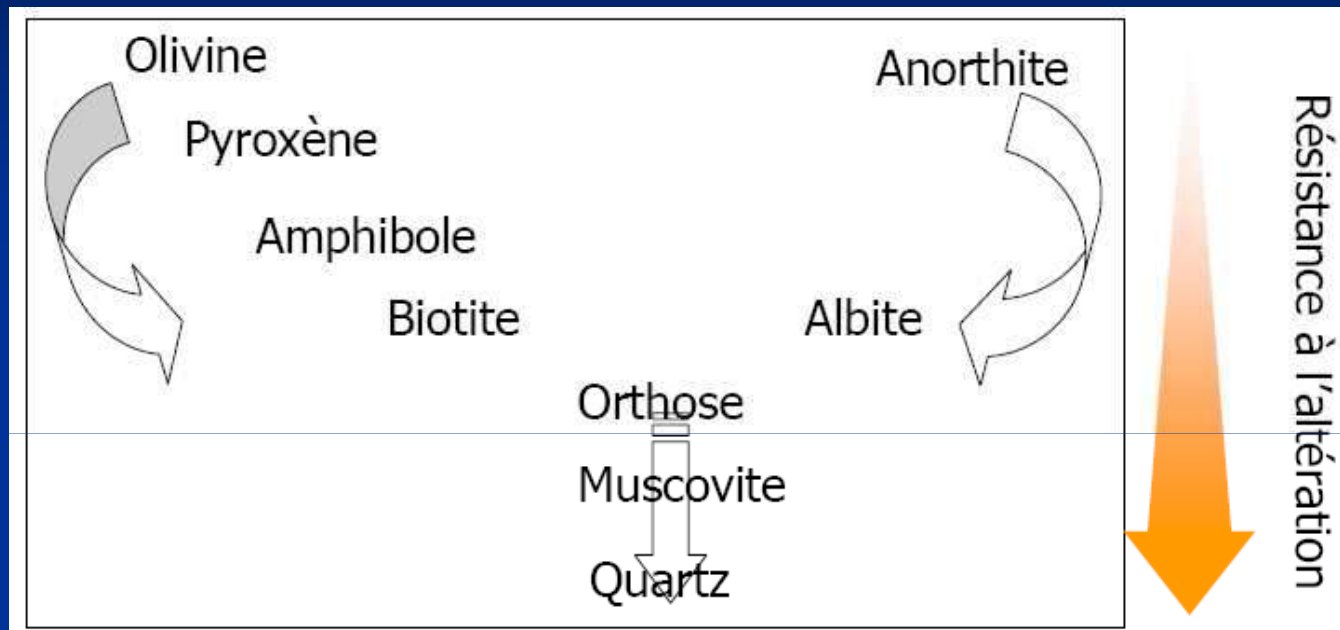


Fig.11 Solubilité des minéraux



Fig.12 Altération le long des diaclasses

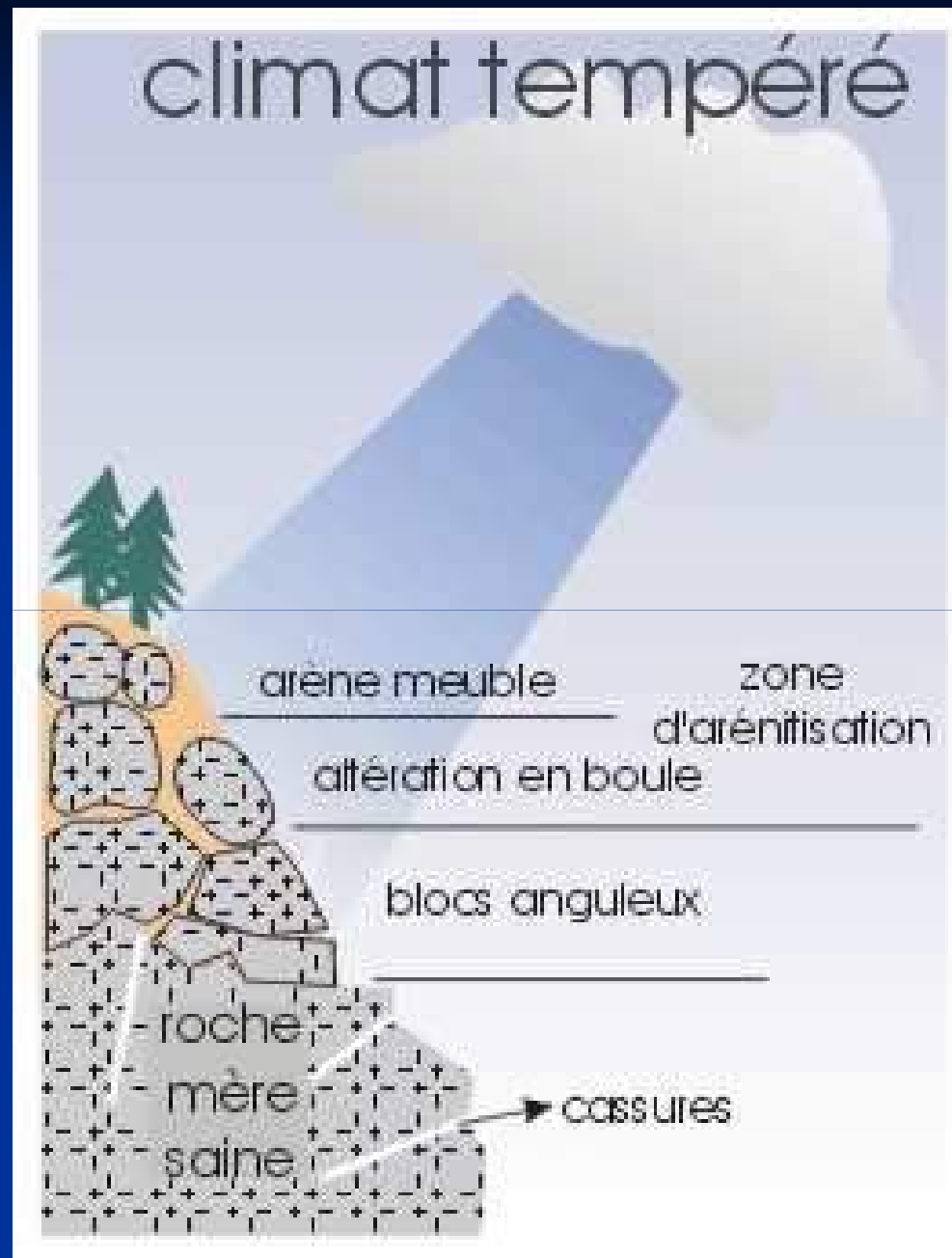


Fig.13

Altération en
climat tempéré



**Fig.14 Boules de granite enrobées dans une arène granitique
(climat tempéré)**

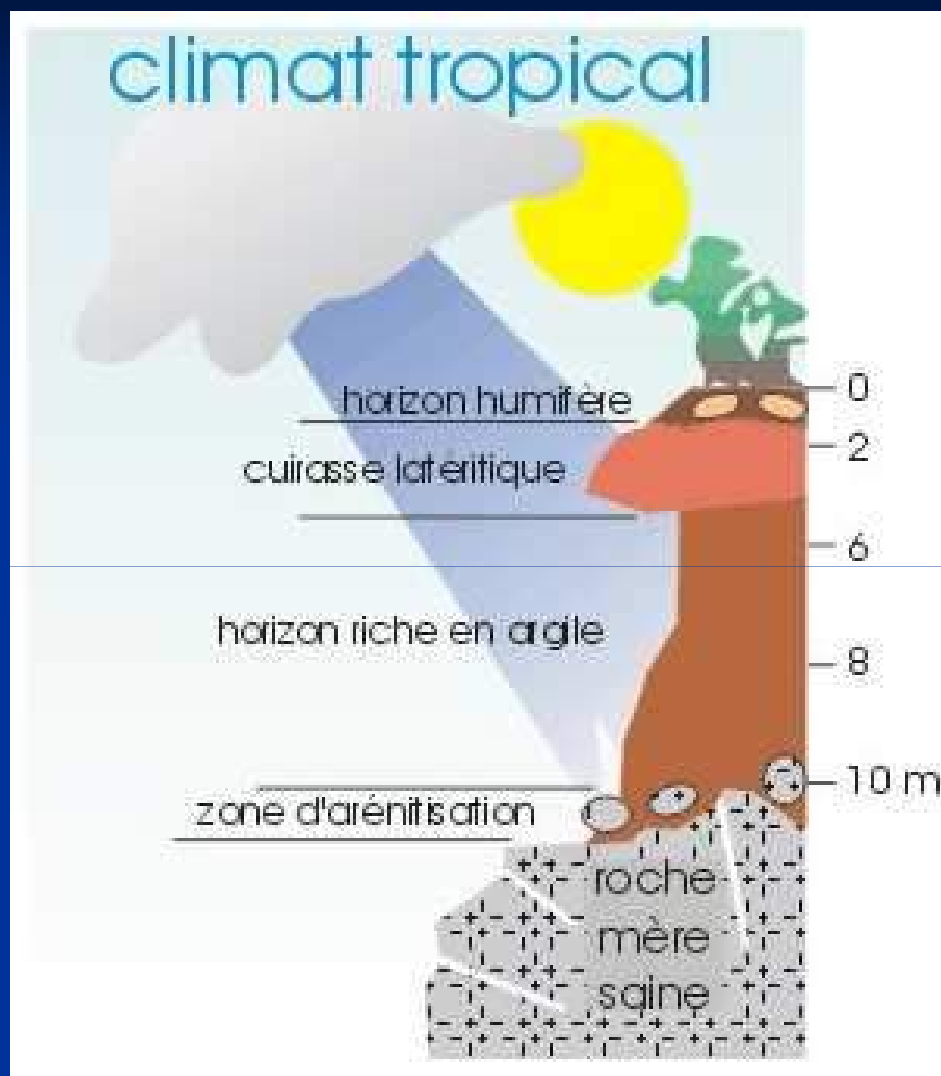


Fig.15 Influence du climat sur le profil d'altération



Fig.16 Latérites

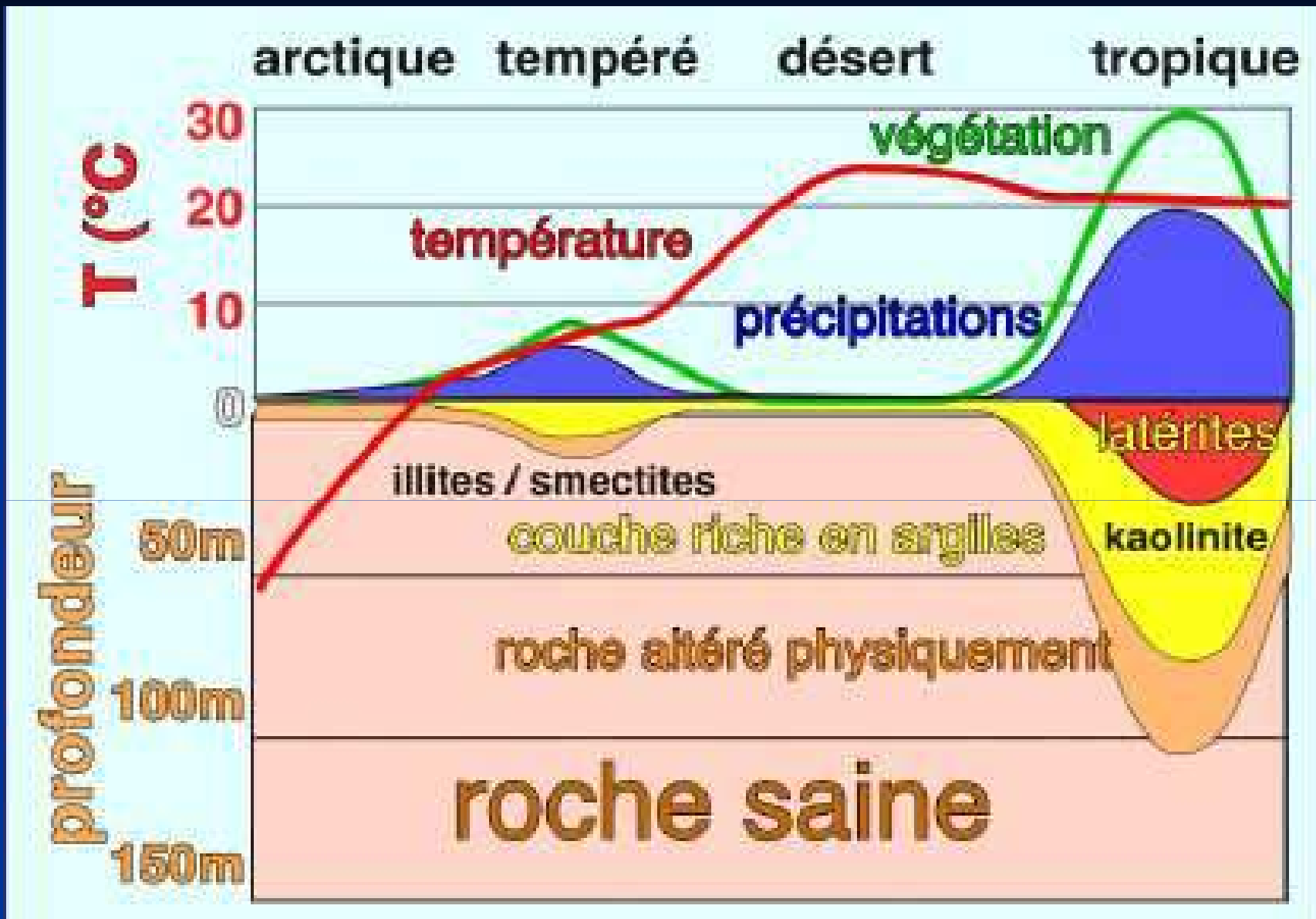


Fig.17 Influence des précipitations et températures sur l'altération



Fig.18 Altération mécanique par les racines



Fig.19 Creusement de terriers par les rongeurs

**Faculté des Sciences
Rabat**

**Par:
Pr. Nadia Kassou**

**LICENCE
S2
COURS DE GEODYNAMIQUE EXTERNE**

PARTIE I

**Cycle des roches sédimentaires, classification
des roches sédimentaires et intérêt de la
géologie des roches sédimentaires**

**Notion d'érosion et d'altération
Transport des particules sédimentaires
Processus de sédimentation
Diagenèse**

	Volumes en km ³	Pourcentages
Mers et Océans	1350 millions	97,38 %
Glaciers	27,8 millions	2 %
Eaux souterraines	8 millions	0,6%
Atmosphère, Lacs, Rivières et Végétaux	0,2 millions	0,02 %

Volumes d'eau disponibles sur la Terre

Vallée en V (île de la Réunion)



Rivière à méandres



Gorges de Todra Maroc

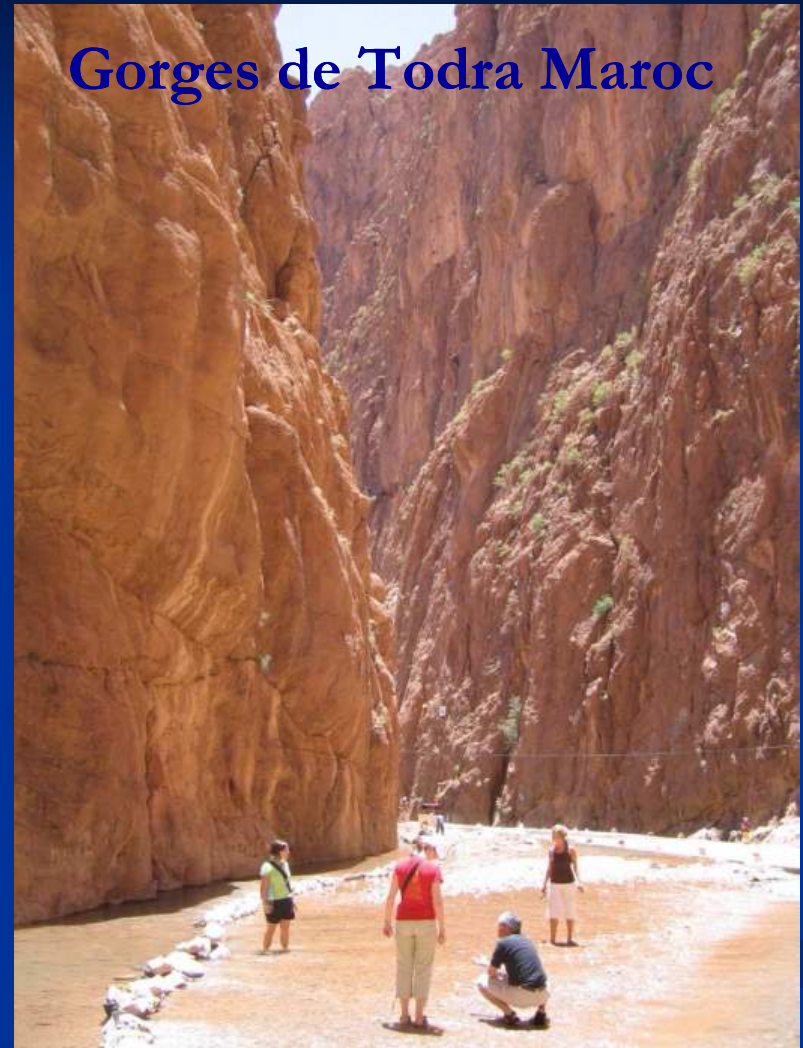


Fig.1 Les différents types de vallée

Stades de creusement d'une vallée

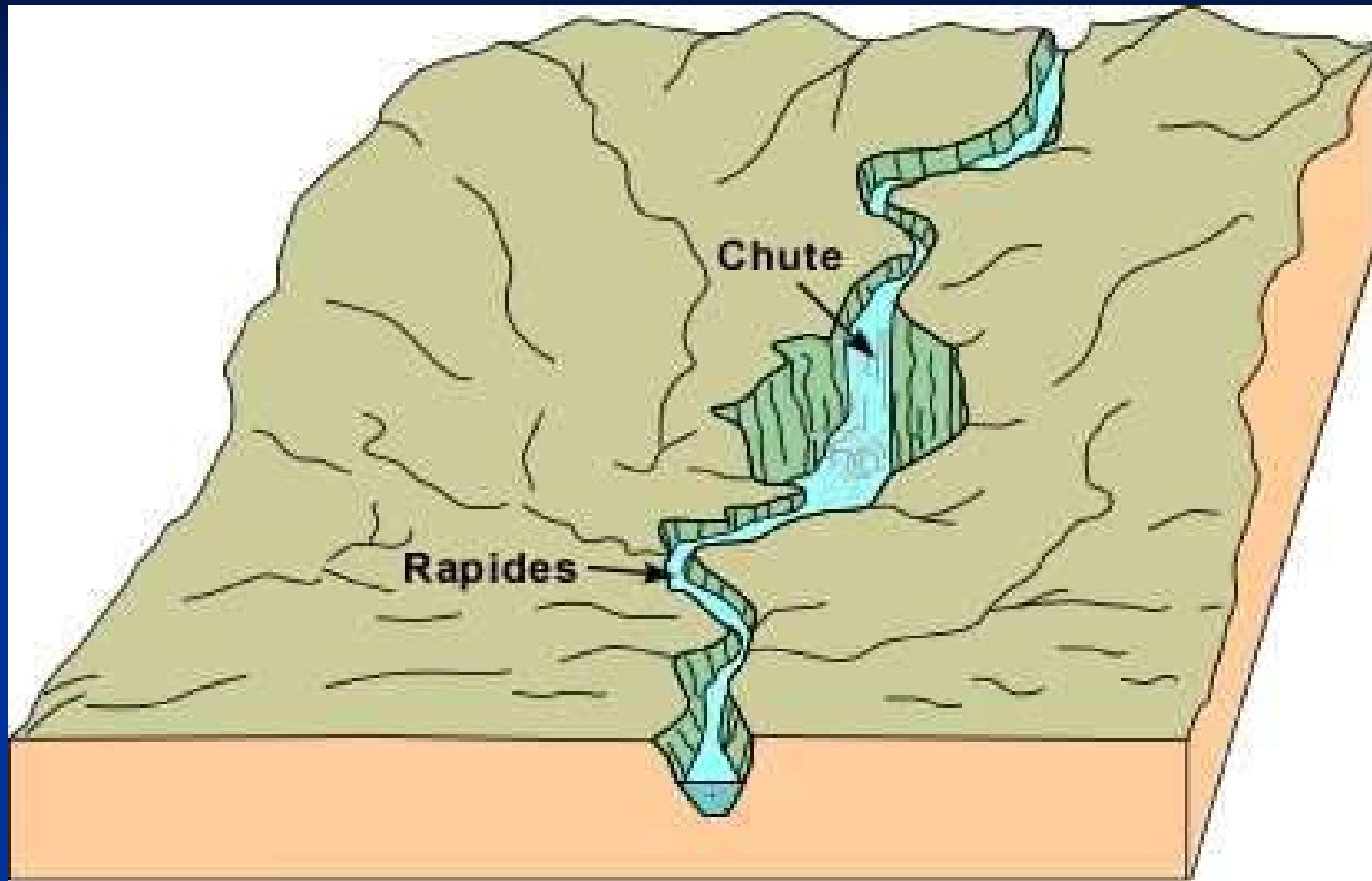


Fig.2 Stade de jeunesse d'une vallée

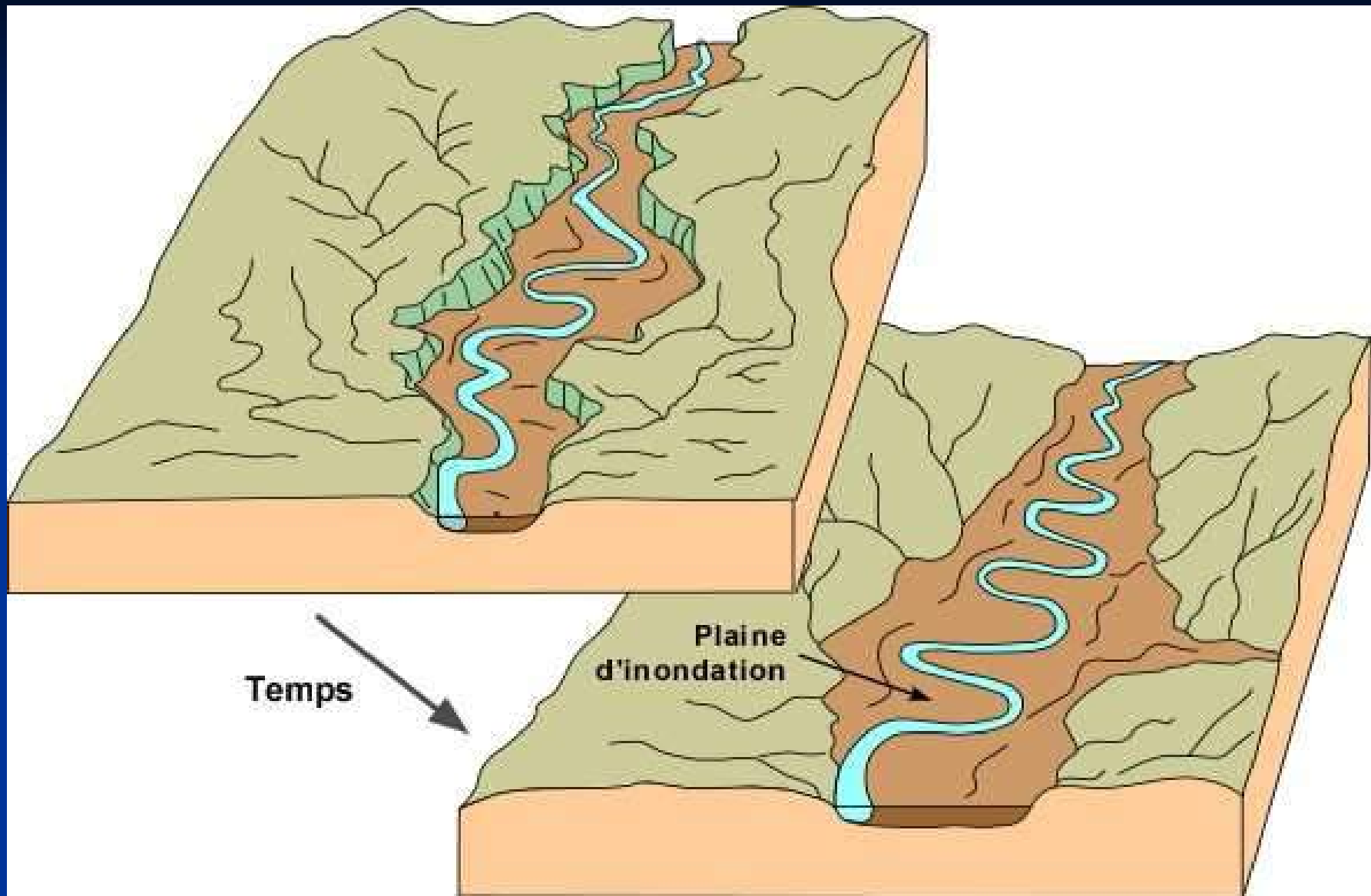


Fig.3 Stade de maturité d'une vallée

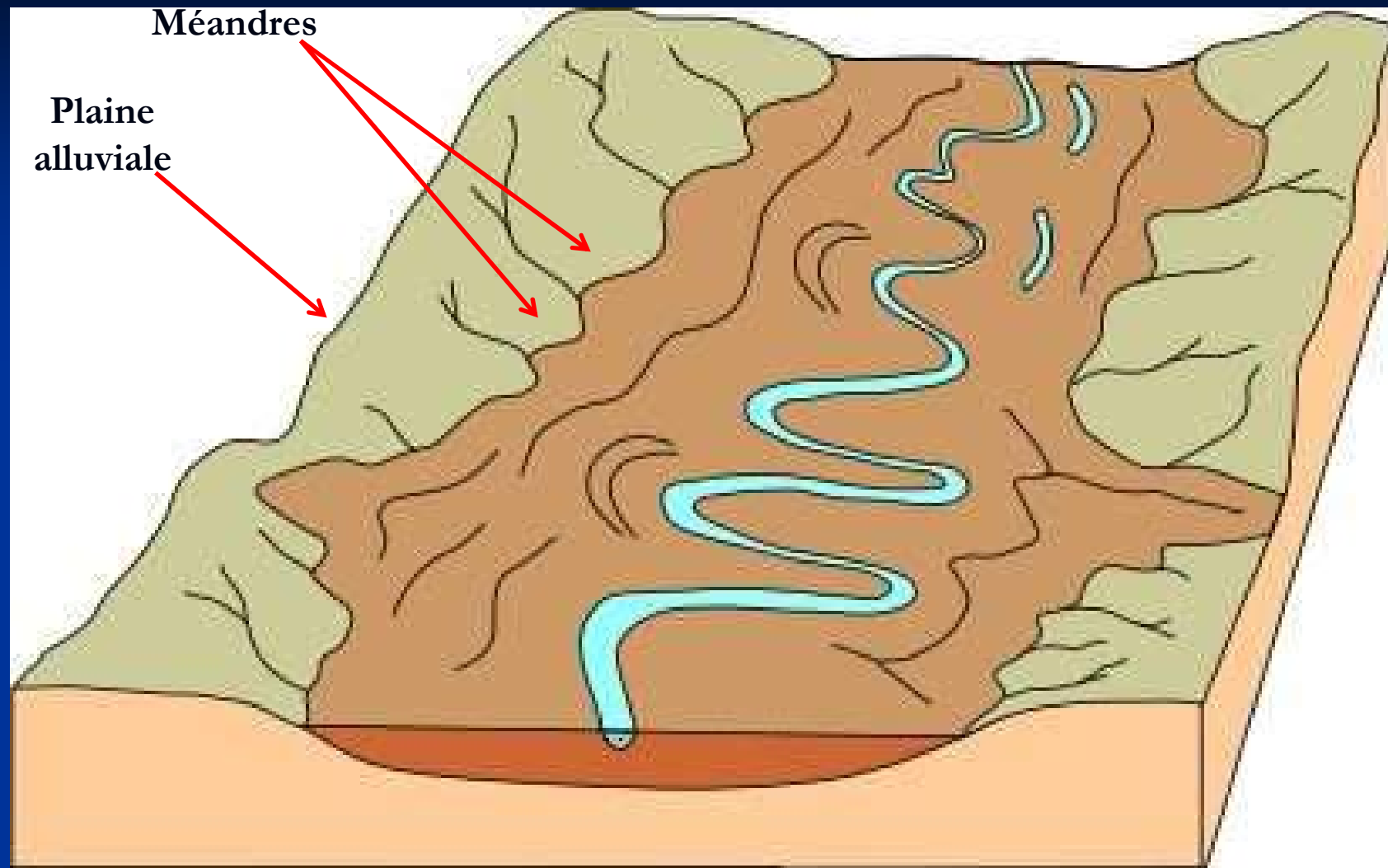


Fig.4 Stade de vieillesse d'une vallée

Processus d'érosion dans un cours d'eau à méandres

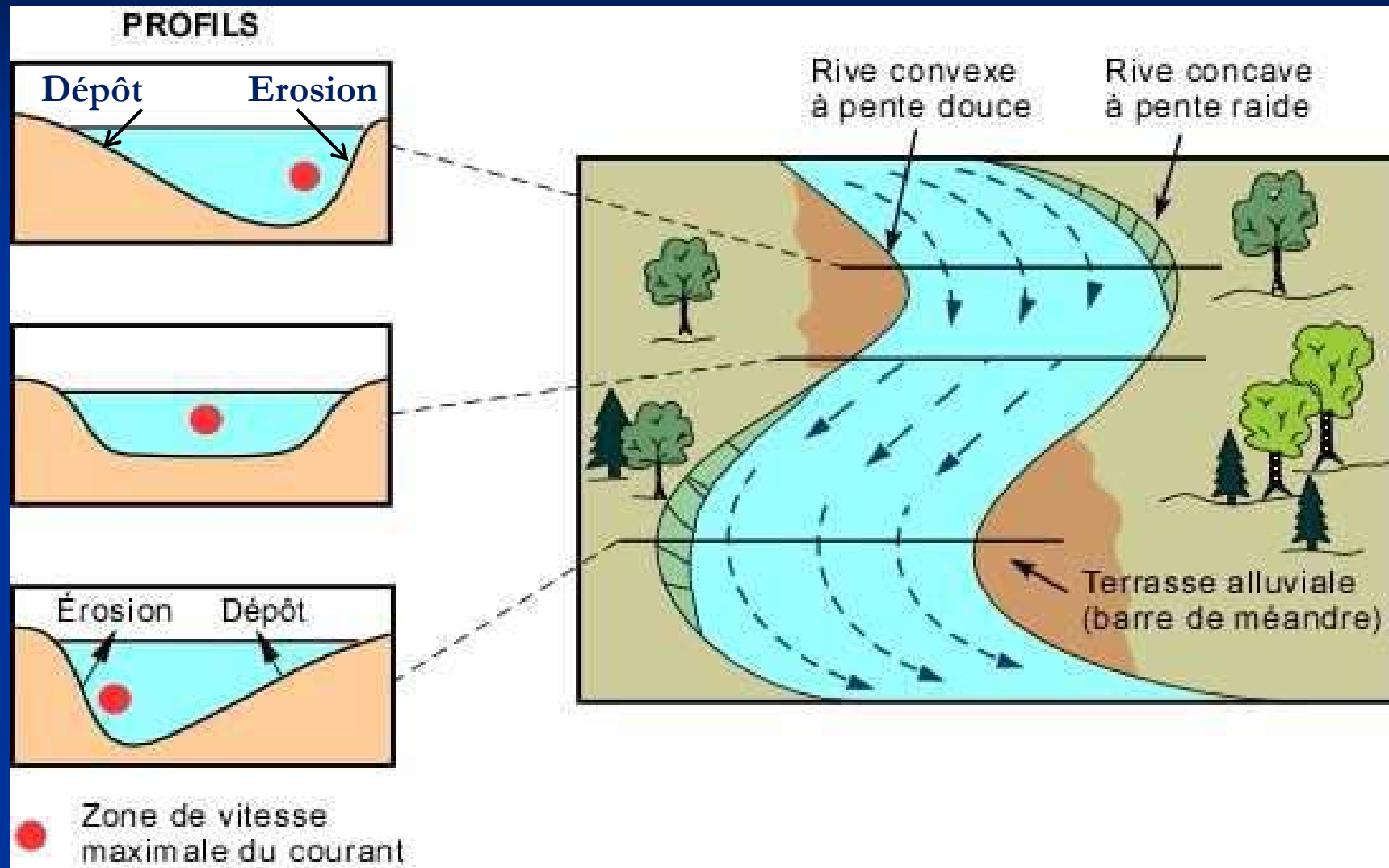


Fig.5 Processus d'érosion au niveau des méandres

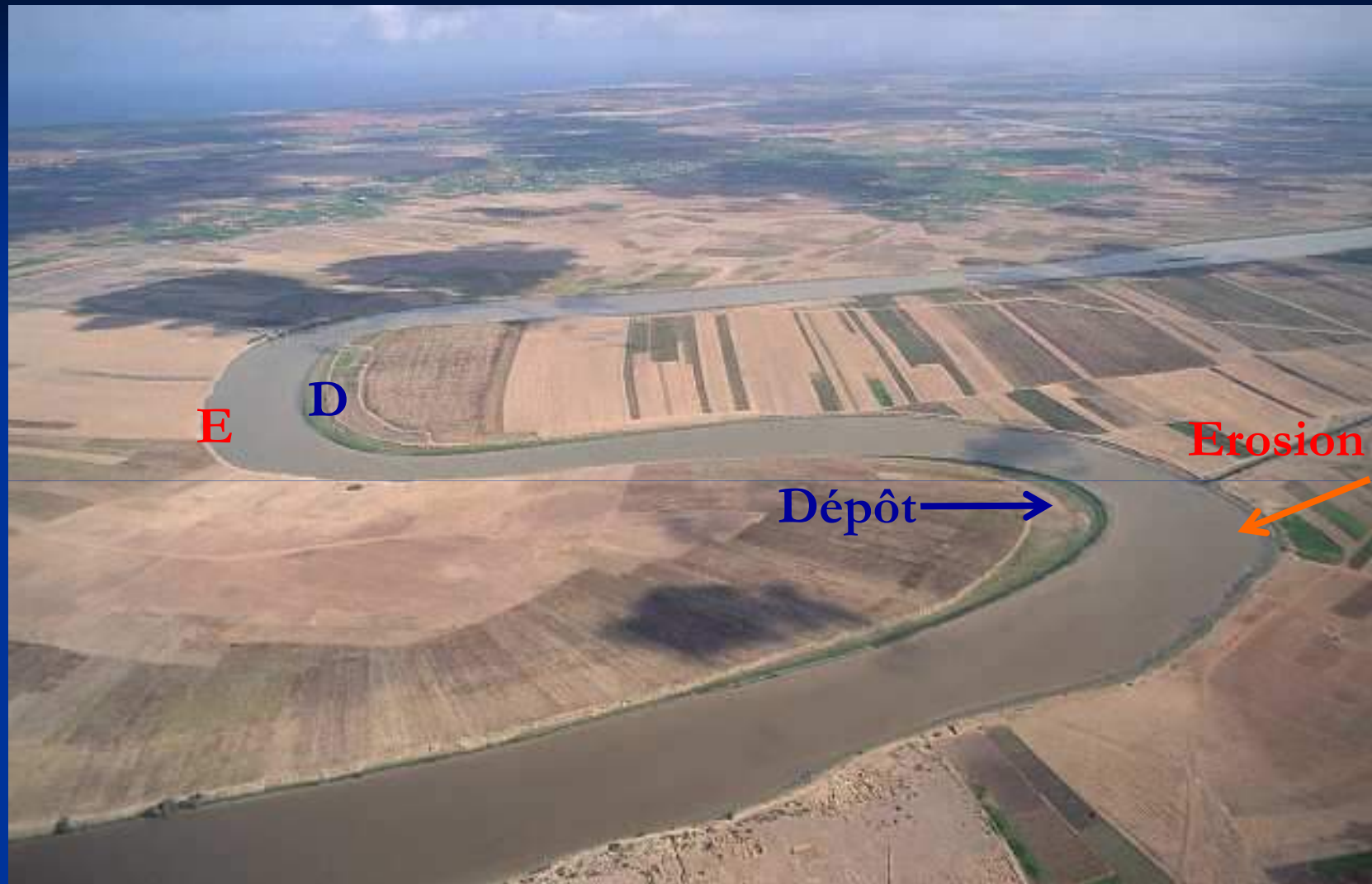


Fig.6 Plaine alluviale de l'oued Sebou

Le recoupement des méandres génère des méandres abandonnés.

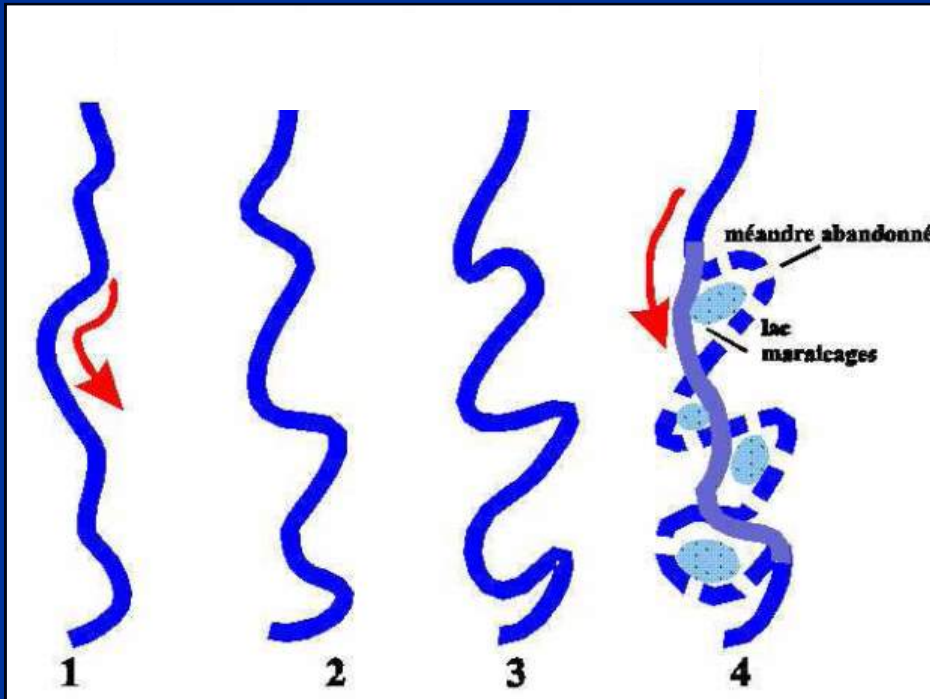


Fig.7 Evolution des méandres



Fig.8

Exemple de méandre recoupé.

*Le cours actuel de la rivière est figuré en trait plein;
le cours parcourant l'ancien méandre en tirets*

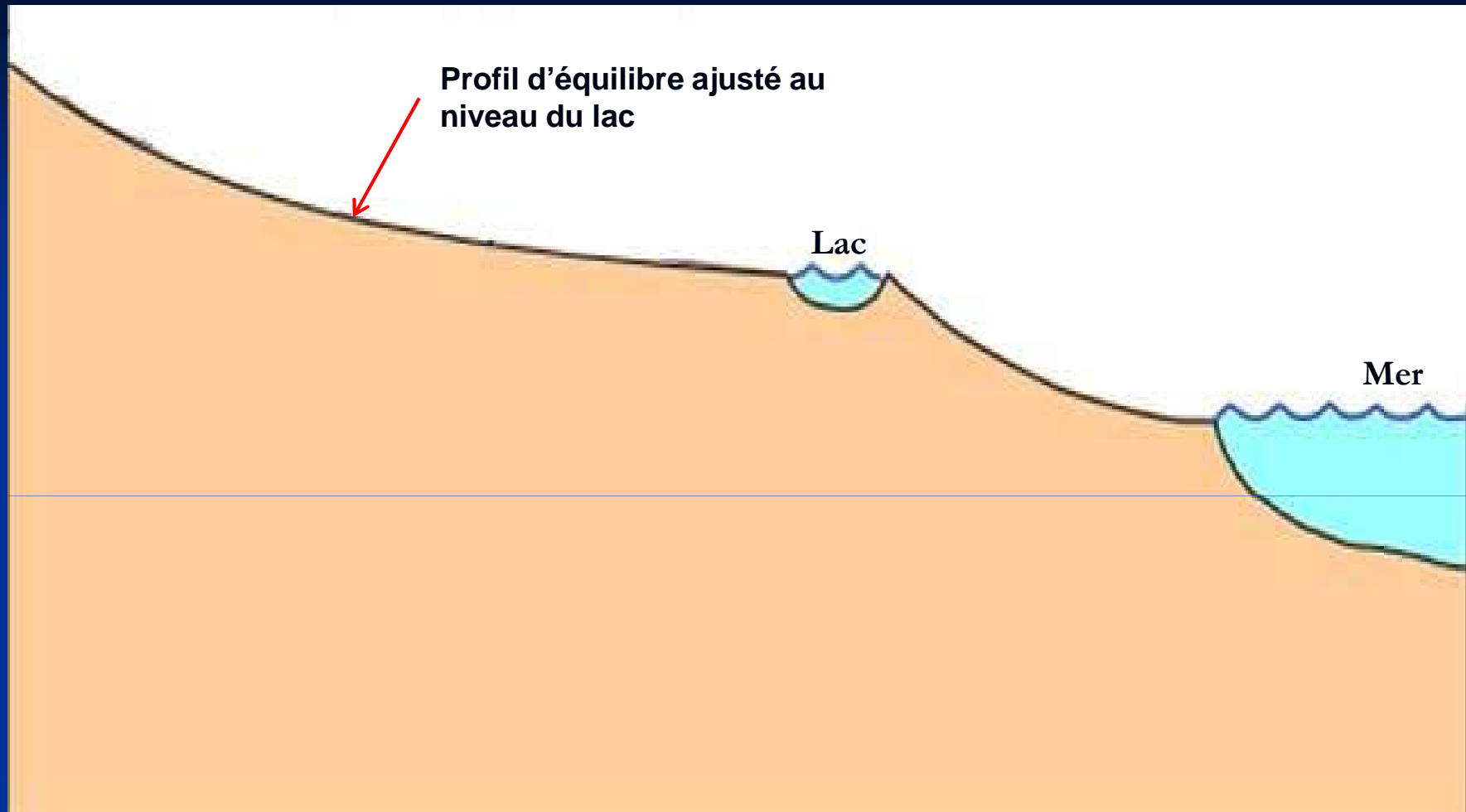


Fig.9 Ajustement du profil au niveau du lac

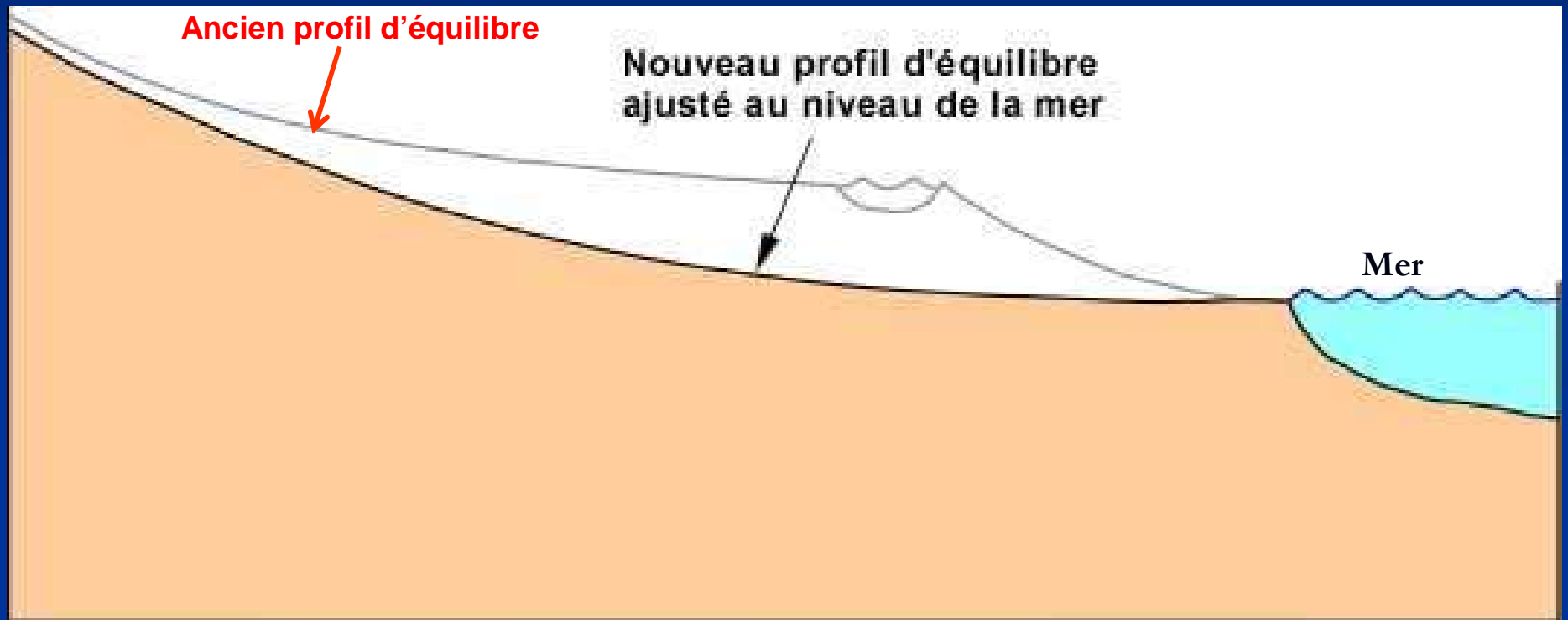


Fig.10 Ajustement du profil au niveau marin

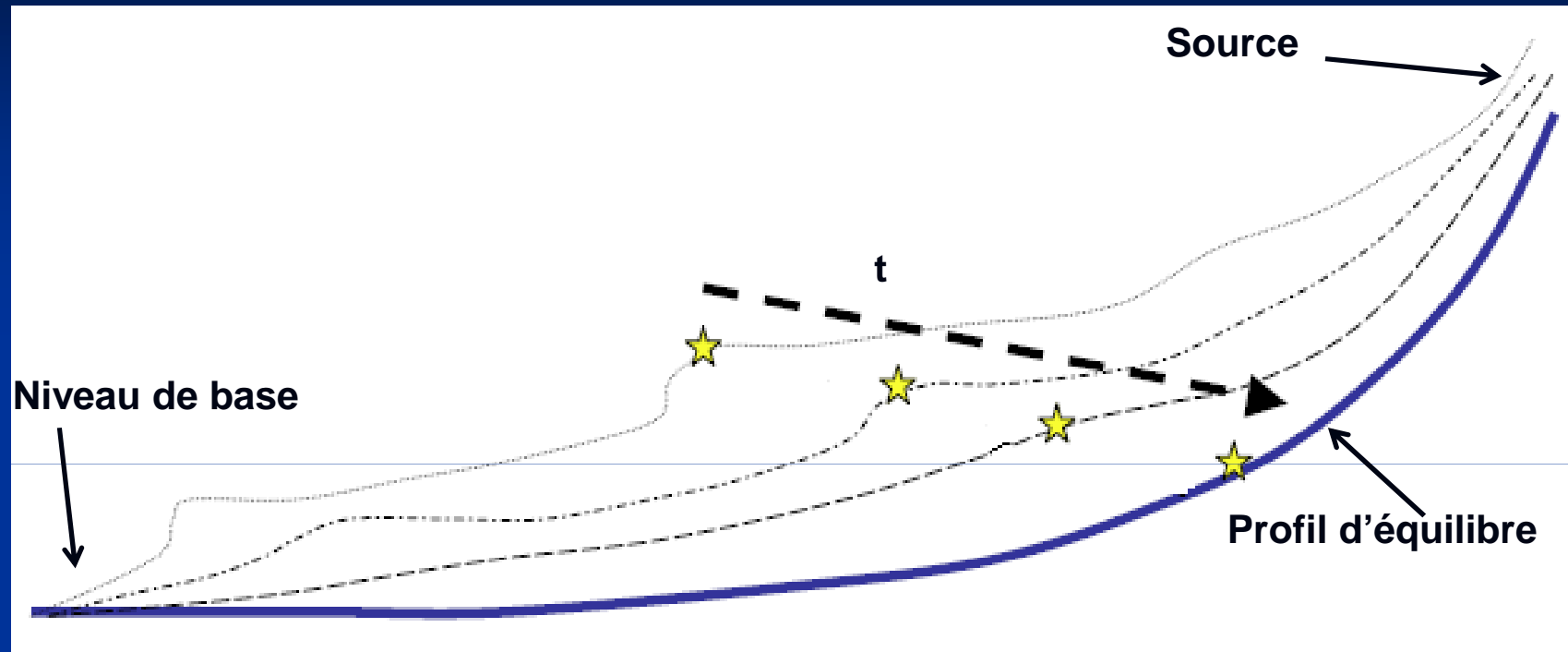


Fig.11 Acquisition du profil d'équilibre par un cours d'eau

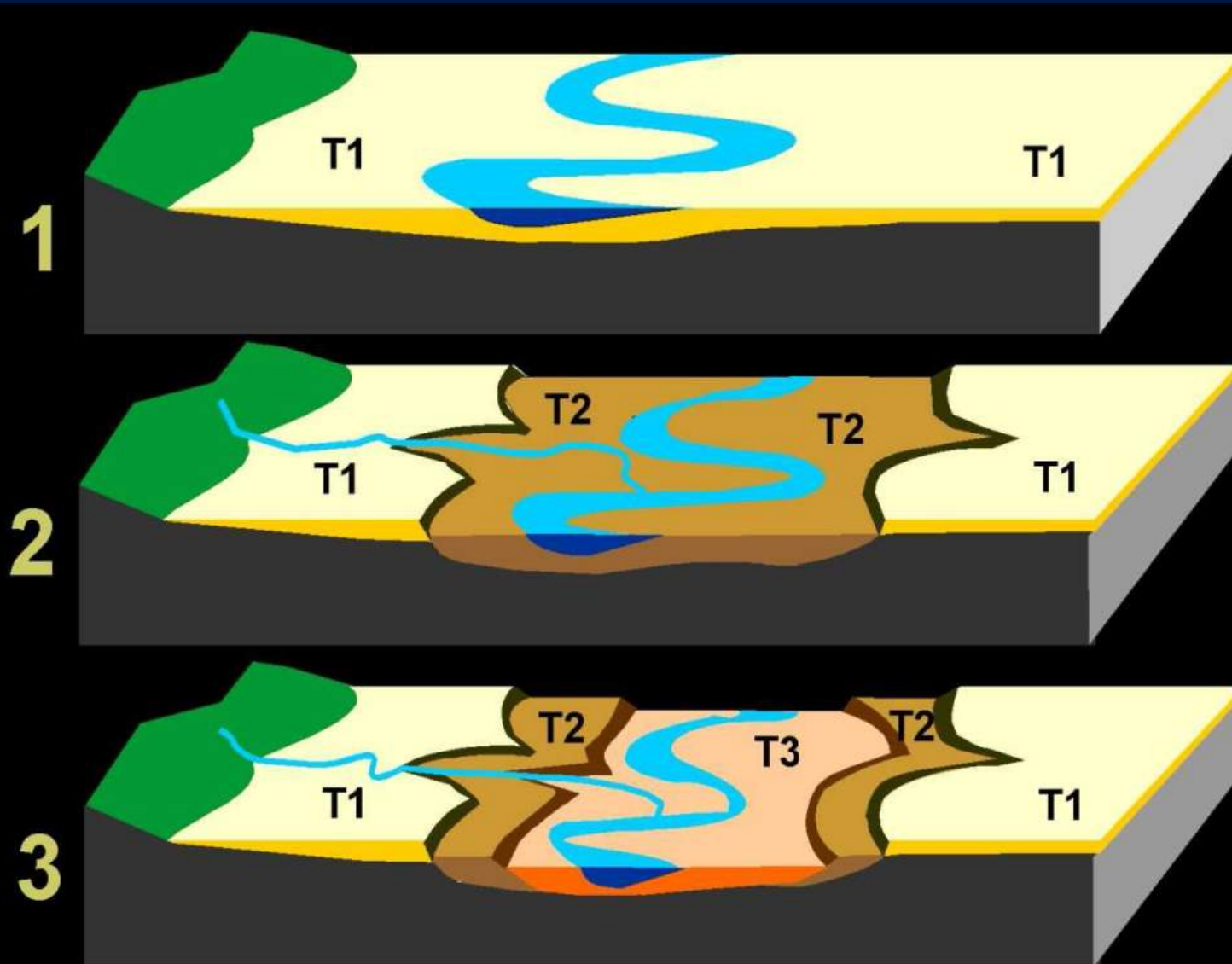


Fig.12 Formation des terrasses étagées



Fig.13 *Nombreuses terrasses étagées à Pokhara (Népal)*
La terrasse t1 est la plus ancienne et la terrasse t5 est la plus récente

Quelques figures d'érosion par les eaux de ruissellement



Fig.14 Badlands



Fig.15 Lapiez verticaux



Fig.16 *Cheminées de fées*
Cappadoce, Turquie

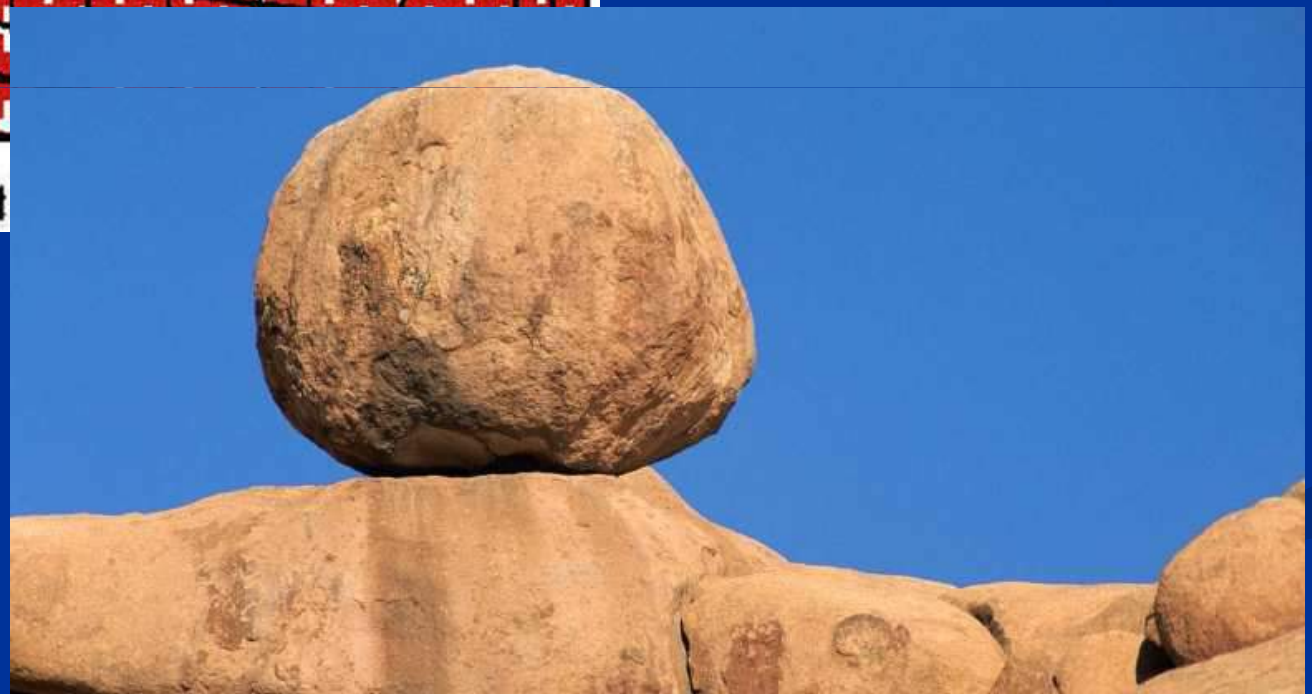
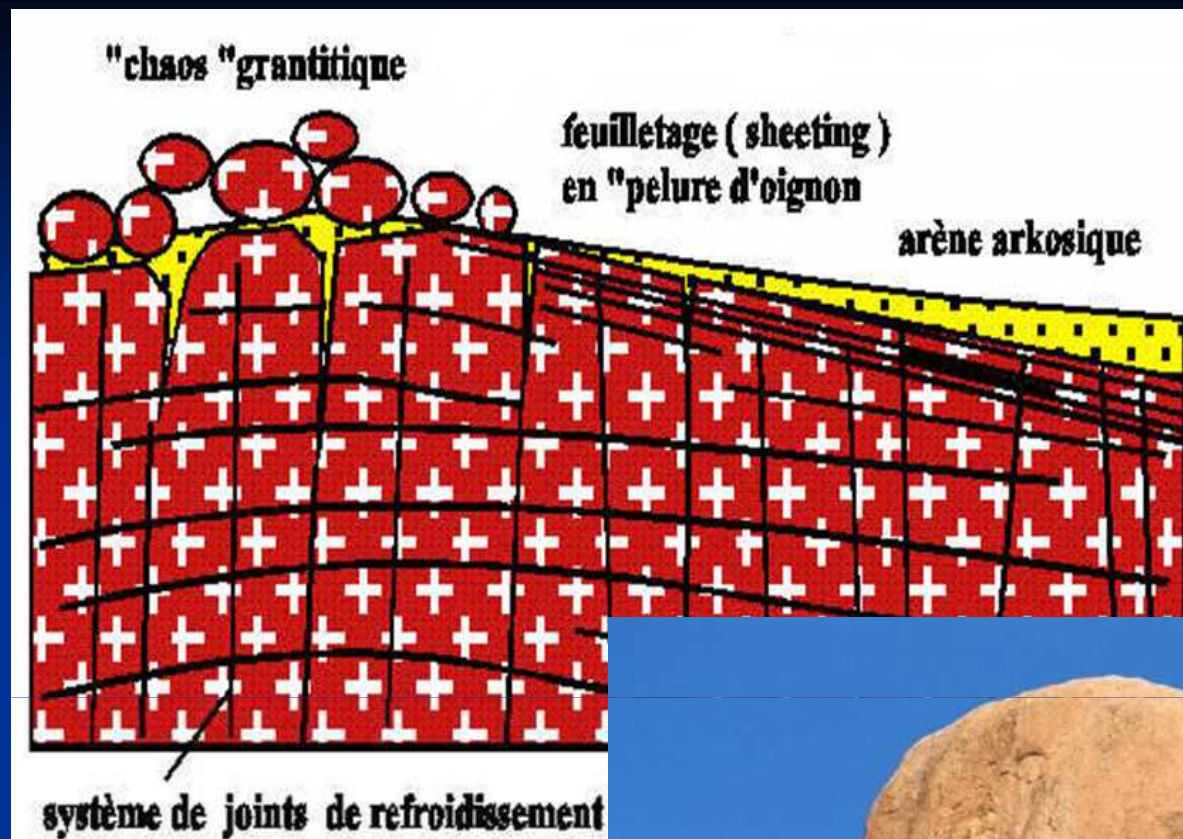


Fig.17 Altération en boules d'un granite



Fig.18 Hamadas (dalle rocheuse)



Fig.19 Reg à cailloux *Anti-Atlas, Maroc.*



Fig.20 Yardang (Désert asiatique)



P. Boyries 2004 © Clio photo

Fig.21 Chott El Djerid Tunisie (lac d'eau salée)



Vallée de la mort Californie

Fig.22 Roches en champignons

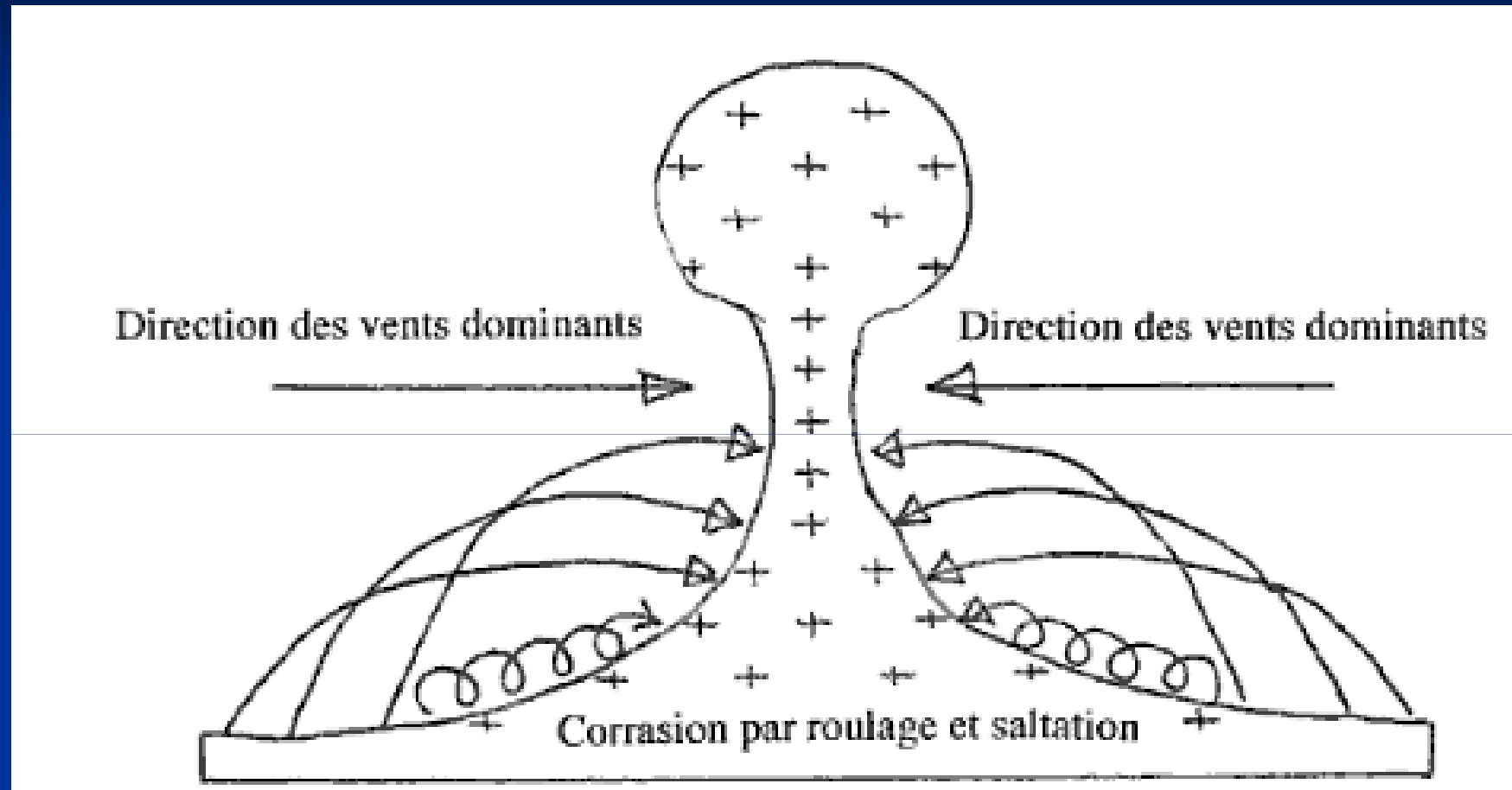


Fig.23 Formation d'une roche champignon

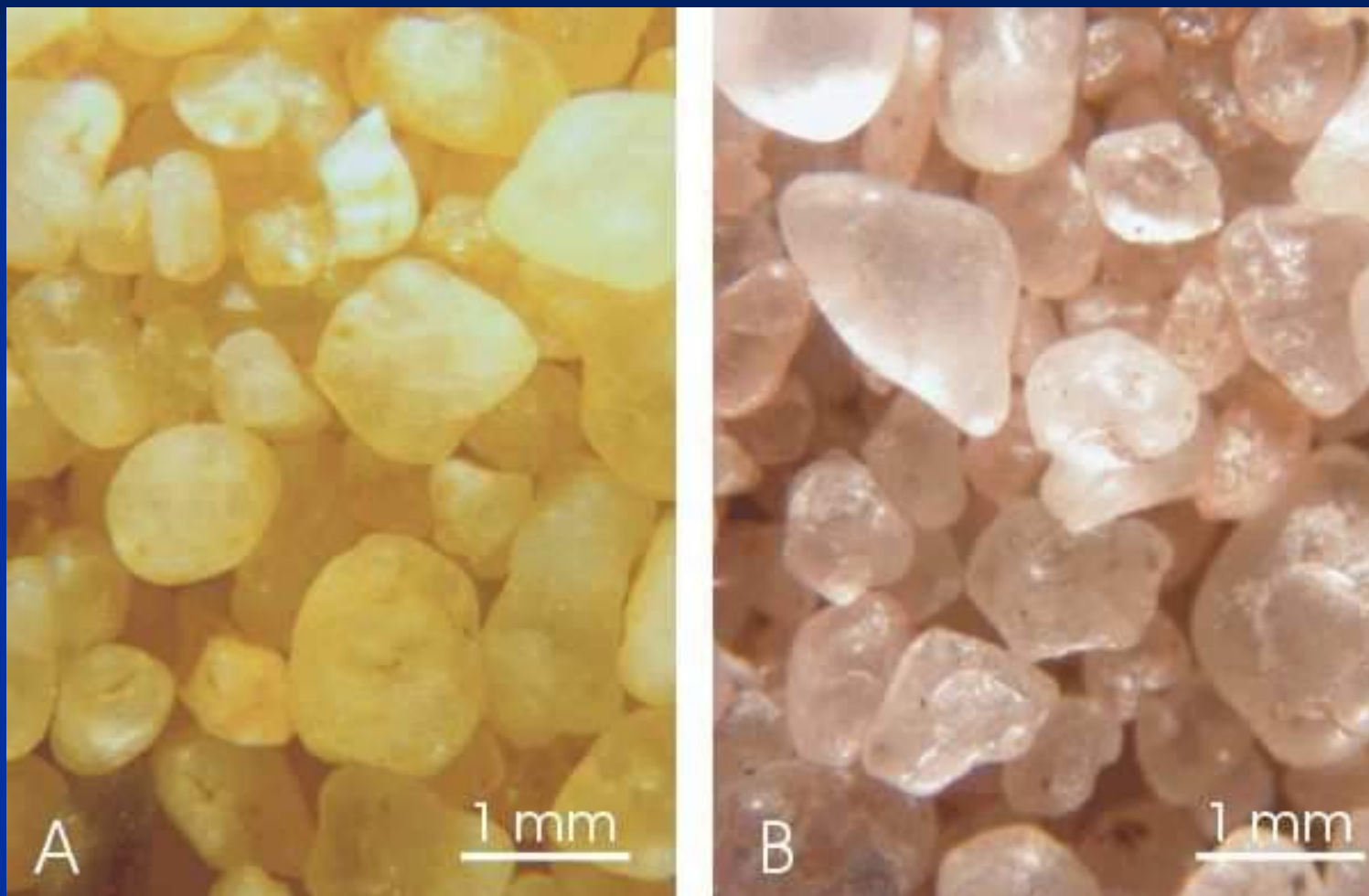


Fig.24 Alvéoles ou nid d'abeilles
Petites cavités (mm à cm)

La jonction de plusieurs alvéoles forment des taffonis.



Fig.25 Taffonis dans les roches
gréseuses
Grandes cavités (dm à m)



Grains de quartz
éoliens ronds et mats

Fig.26

Grains de quartz marins
anguleux et brillants



Fig.27 **Glacier alpin**

Le Perito Moreno (Argentine) est l'un des seuls glaciers au monde à continuer sa croissance.



Fig.28 **La calotte glaciaire du Vatnajökull en Islande**



Fig.29 **Le mont Sidley et l'inlandsis en Antarctique**



Fig.30 **Inlandsis**



Fig.31 Icebergs en dérive

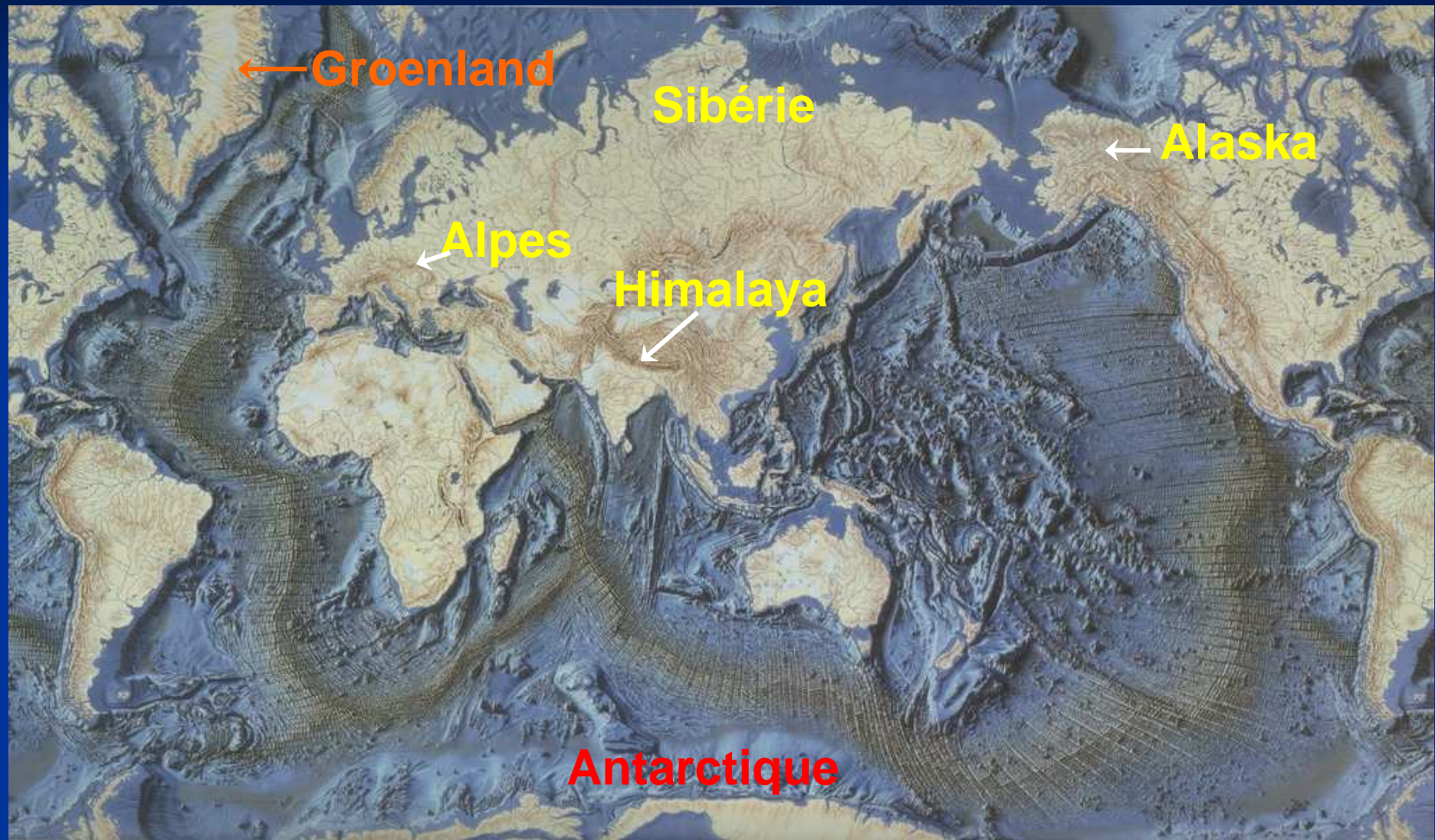


Fig.32 Situation géographique des principaux glaciers

Morphologie glaciaire

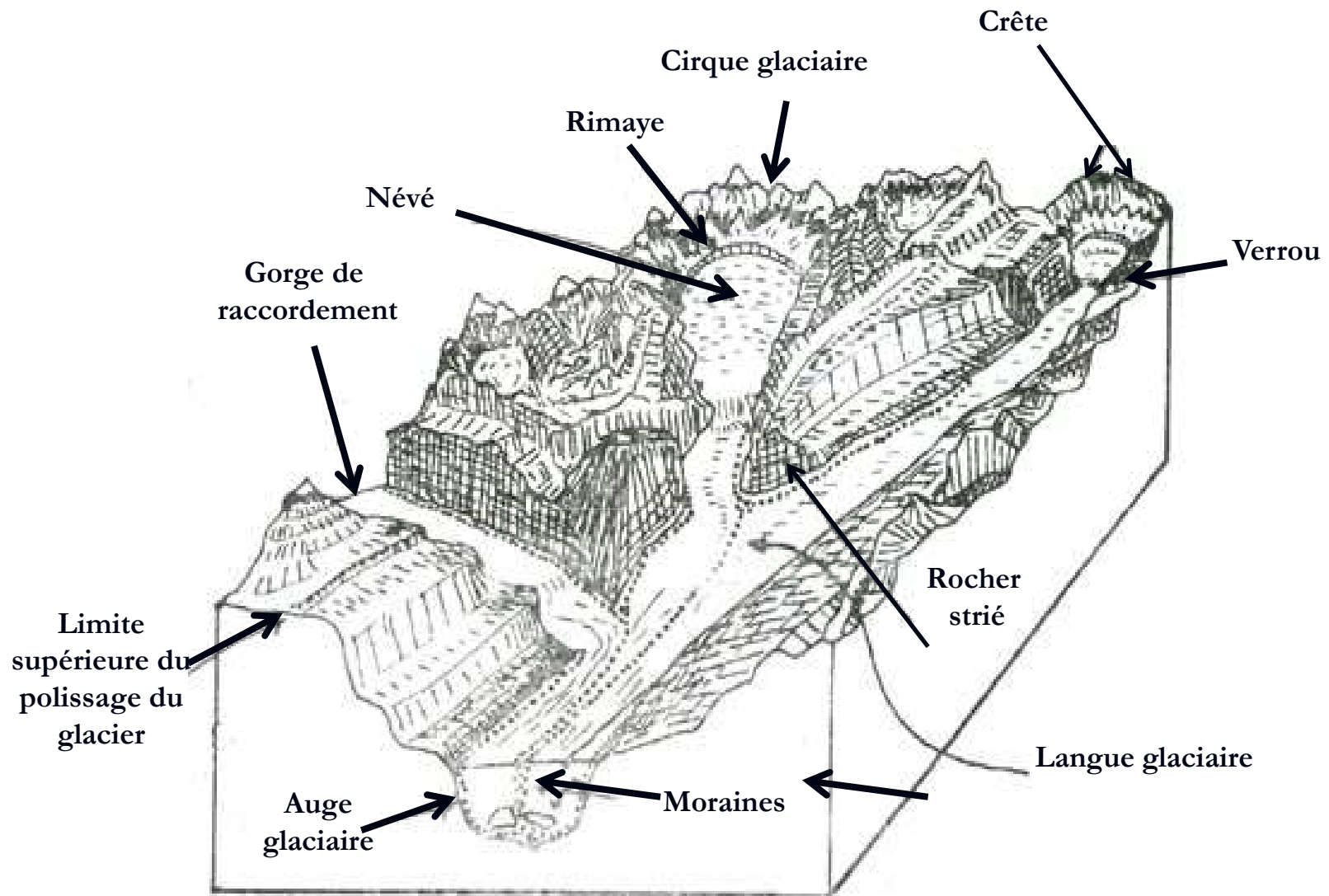


Fig.33 **Modèle glaciaire**



Fig.34 **Gélifraction (Gel-dégel)**



Fig.35 Arrachement de blocs par déplacement de glace.



Fig.36 **Roches moutonnées et polies**



Fig.37 Stries glaciaires

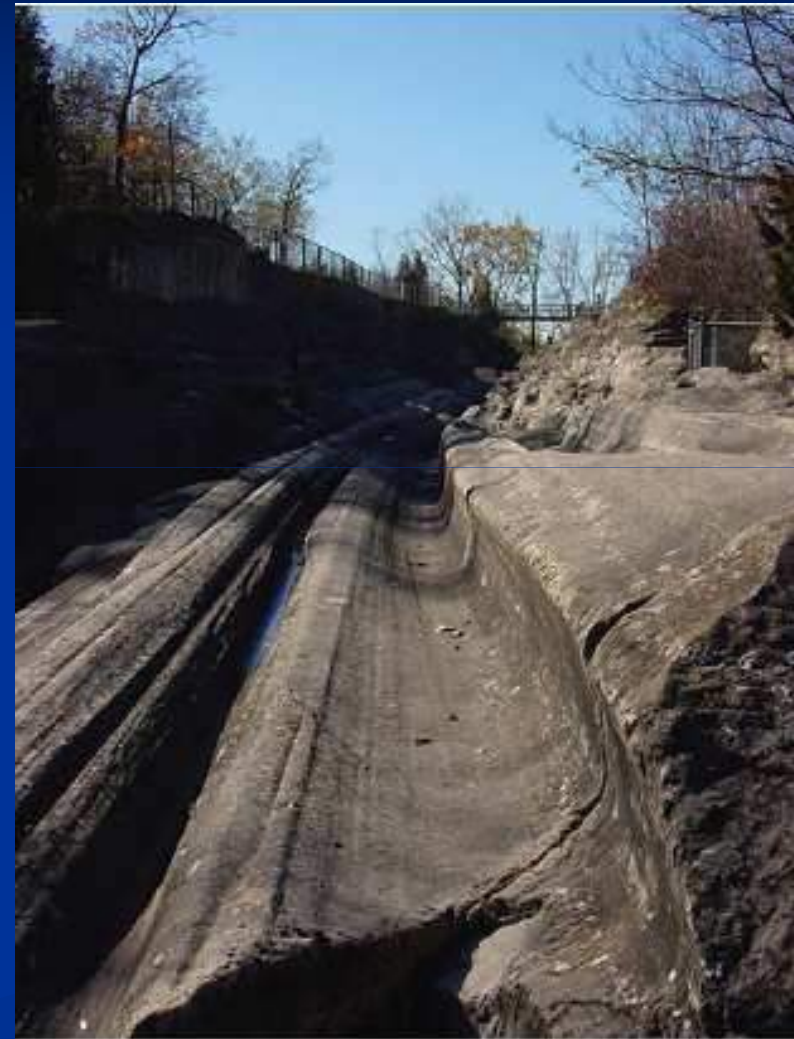


Fig.38 Cannelures glaciaires (abrasion du substrat avec des débris grossiers)



Fig.39 **Cirques glaciaires**

➤ Vallées en auge

Elles résultent du travail d'écoulement en bloc des glaciers, emplissant tout le fond de la vallée et l'érodant par surcreusement aboutissant à une forme en U.



Fig.40
**Auge
glaciaire**



Fig.41 Fjord



Fig.42 Falaise d'Etretat, France



Fig.43 Formation de taffonis (cavités) par l'action corrosive des embruns. Cap d'Agde, France

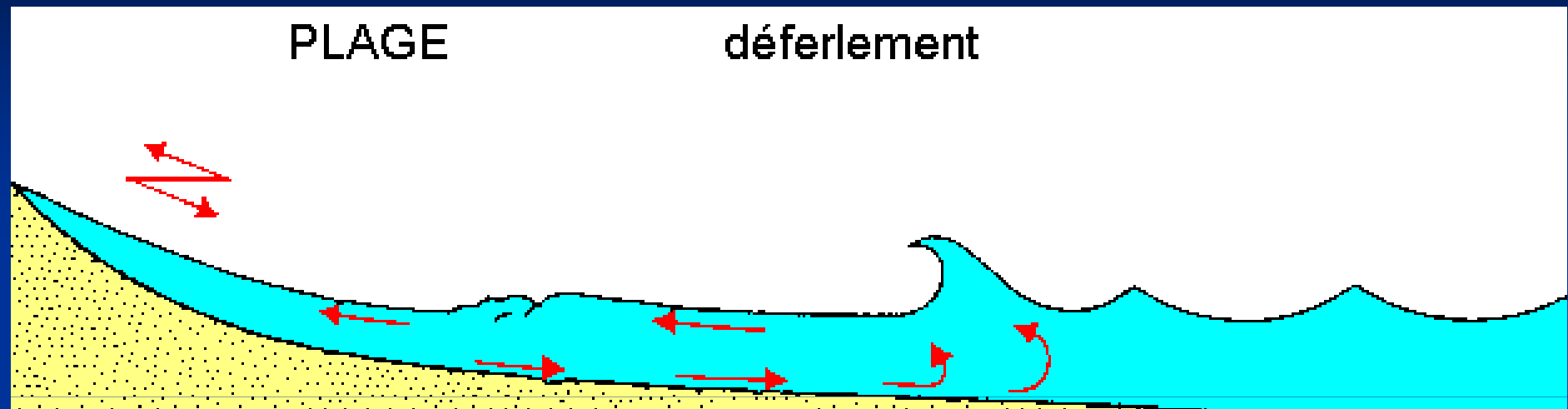


Fig.44 *Circulation de l'eau au cours du déferlement d'une vague*



Marée haute



Marée basse

Fig.45

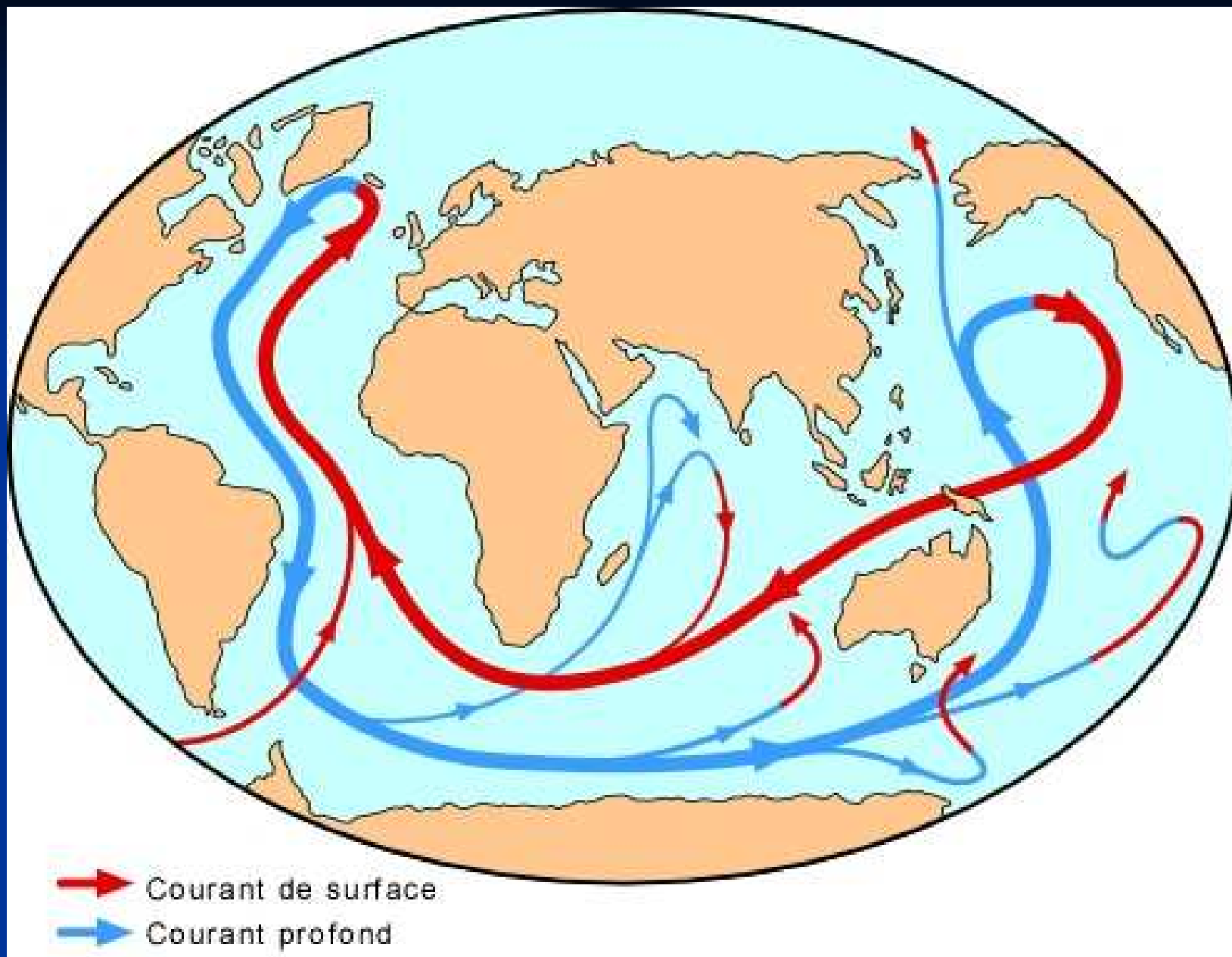


Fig.46 Les grands courants océaniques

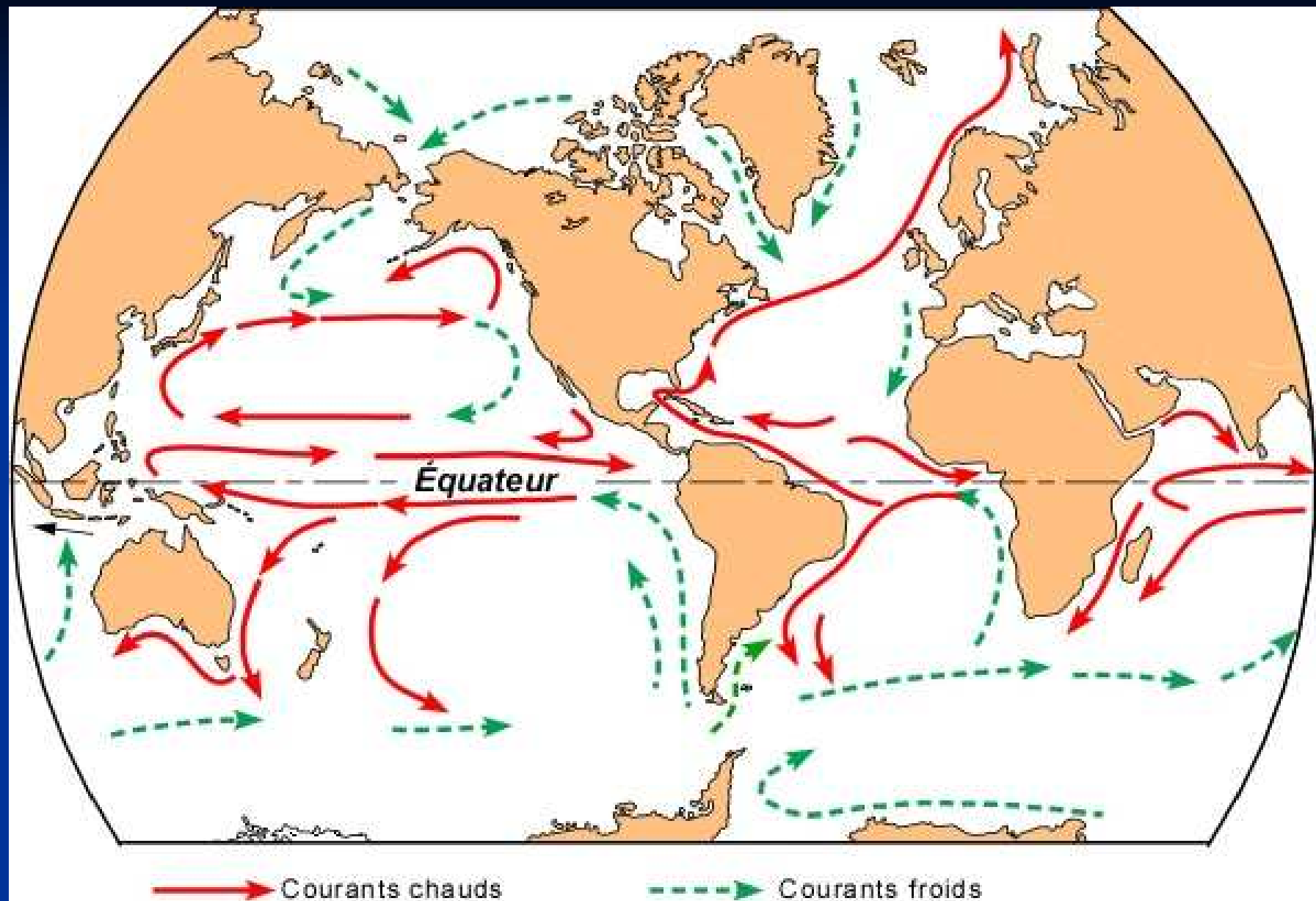


Fig.47 Circulation des courants chauds et froids



Falaise vive

Fig.48

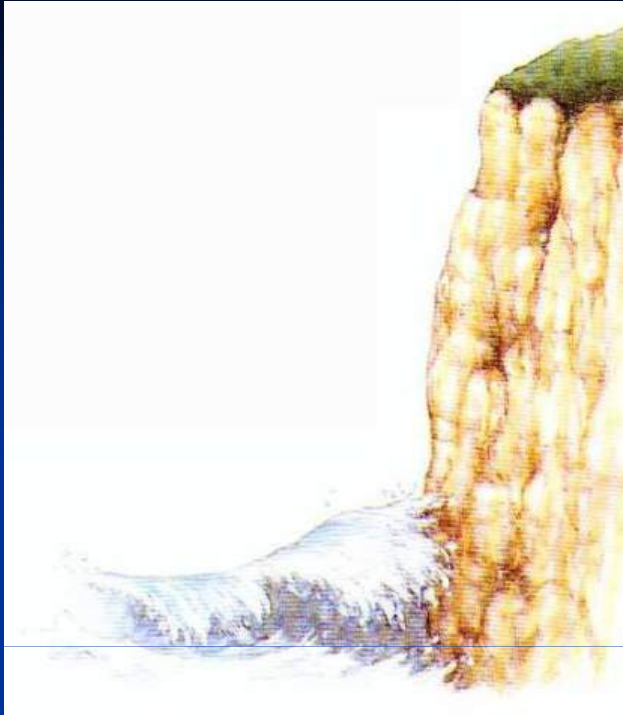


Falaise morte



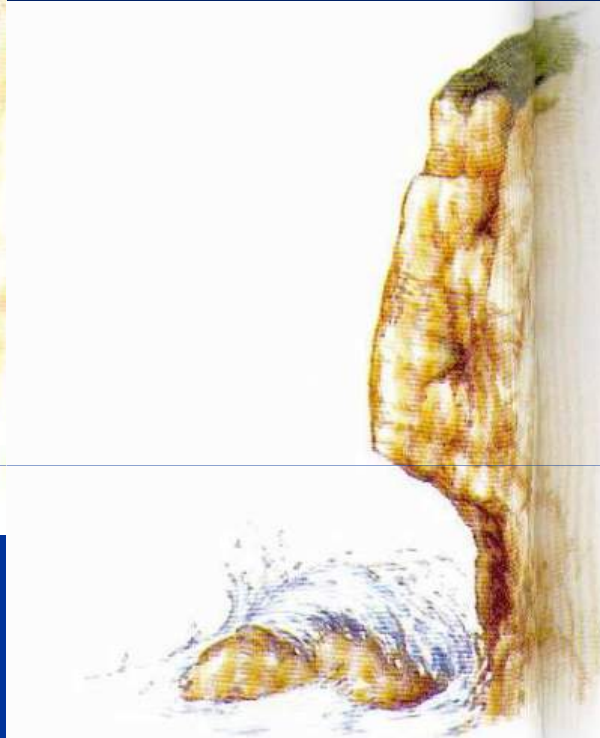
Fig.49 **Falaise dure**

*e: encoche d'érosion;
b: blocs tombés de la falaise;
g: cordon de galets de craie formés
par usure du matériel de la falaise*

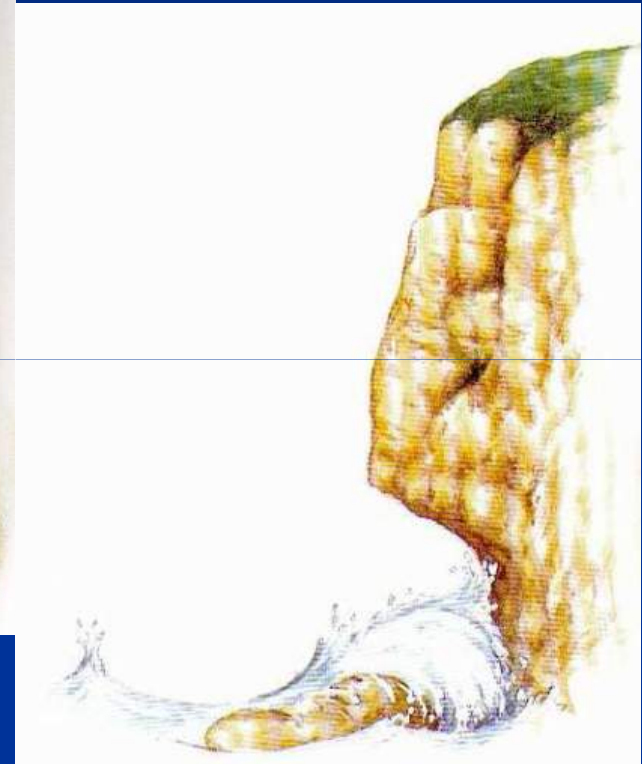


Le déferlement des vagues creusent des trous et des grottes au pied de la falaise.

Fig.50



Le pied de la falaise devient tellement fragile qu'un gros morceau s'écroule dans la mer.



Les vagues continuent leur attaque un peu plus en avant.

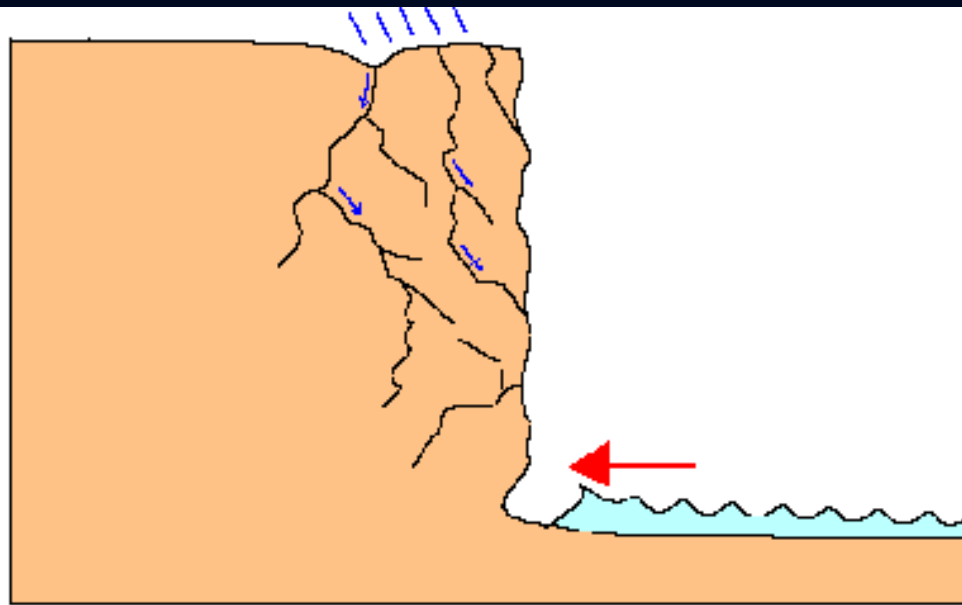
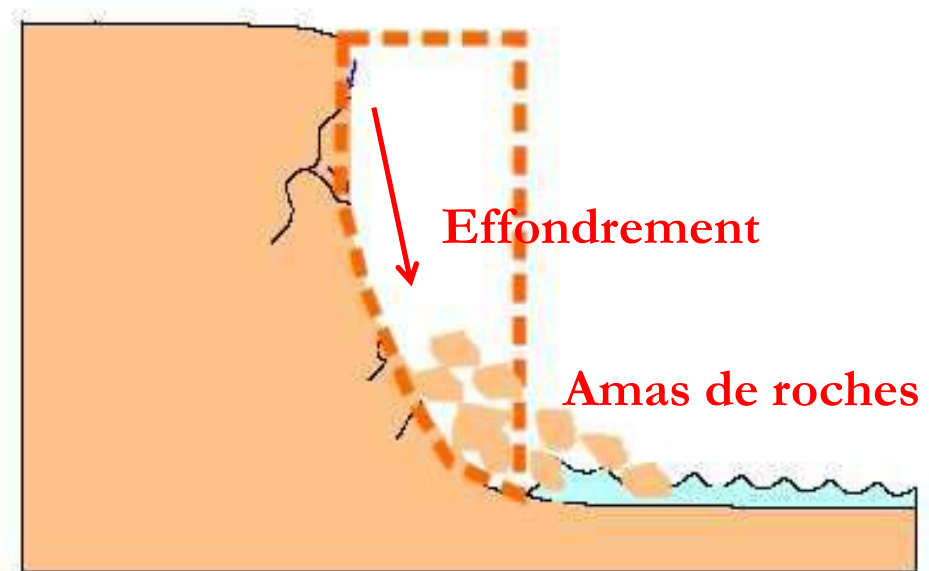


Fig.51

*Mouvement de recul
d'une falaise*



➤ Les falaises ou côtes élevées

Les falaises tendres

Dans le cas des falaises tendres (matériaux très fins), on ne trouve généralement pas d'encoche basale. Celle-ci évolue rapidement par glissement.



Fig.52 Falaise de craie blanche

➤ Les côtes basses

Leur hauteur est inférieure à 2 m.

Les côtes basses rocheuses

Constituées de roches très résistantes (granite, gneiss, basalte etc.)



Fig.53 Côte basse rocheuse



© M. DESCAMPS

Fig.54 *Côte basse sableuse*



Fig.55 *Côte basse à galets*

**Faculté des Sciences
Rabat**

**Par:
Pr. Nadia Kassou**

**LICENCE
S2
COURS DE GEODYNAMIQUE EXTERNE**

PARTIE I

**Cycle des roches sédimentaires, classification
des roches sédimentaires et intérêt de la
géologie des roches sédimentaires**

**Notion d'érosion et d'altération
Transport des particules sédimentaires
Processus de sédimentation
Diagenèse**

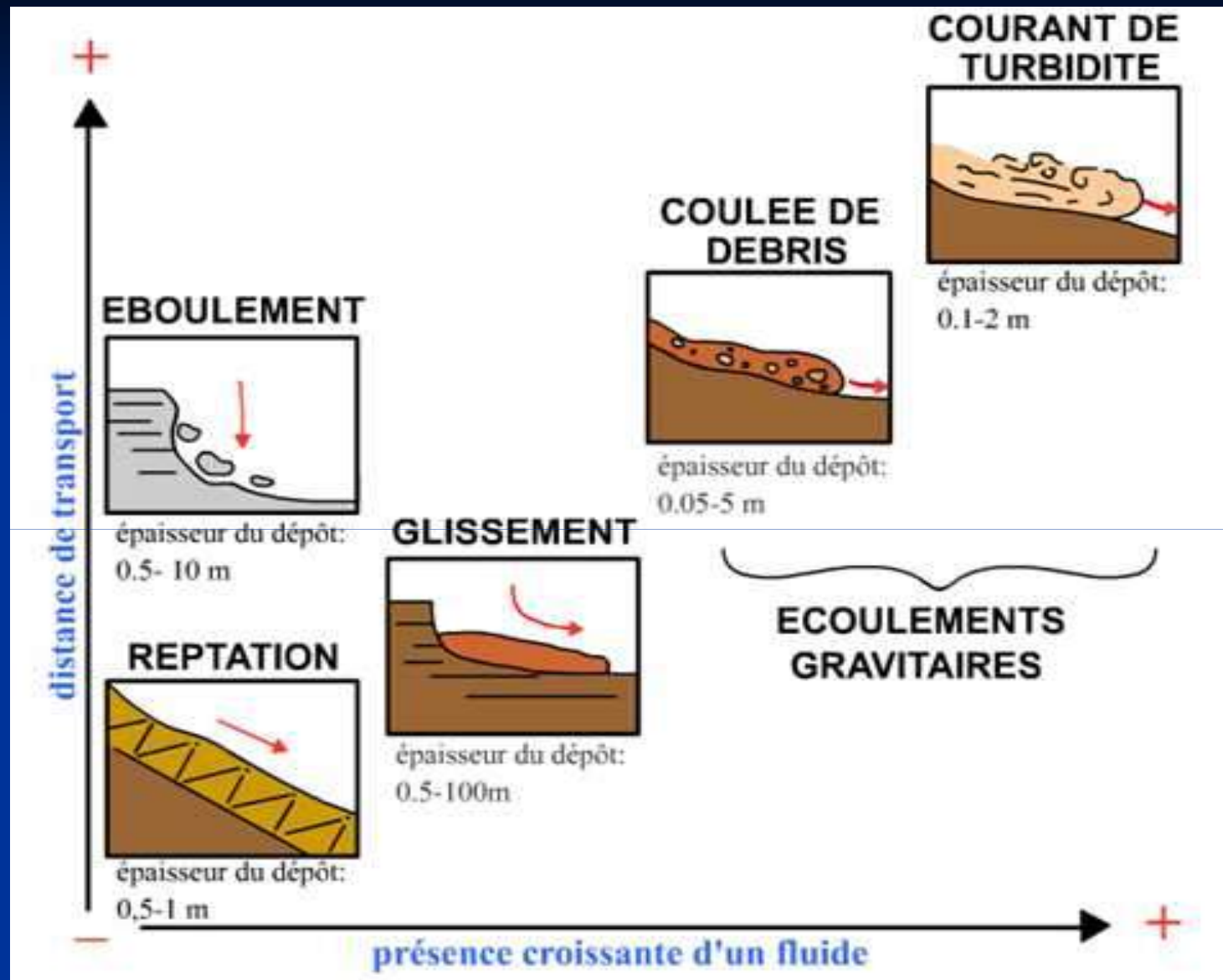
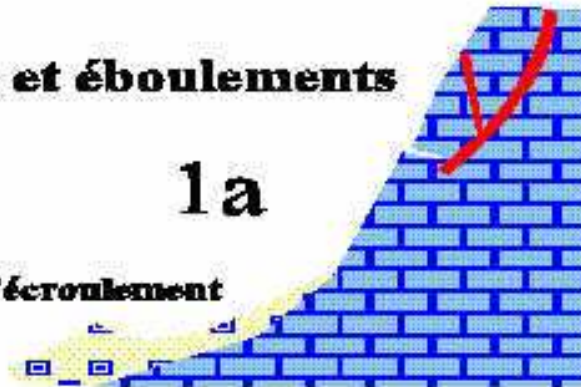


Fig.1 **Déplacement en masse et écoulement gravitaire**

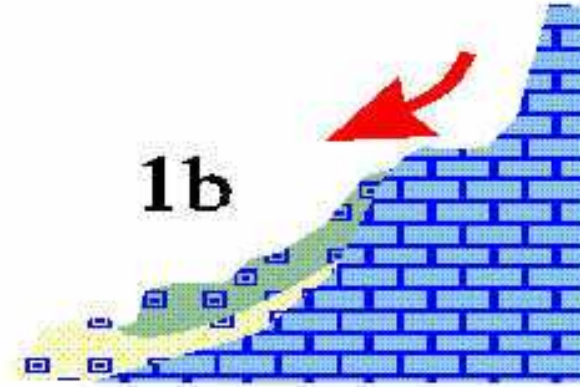
Eboulis et éboulements

1a

brèches d'éroulement

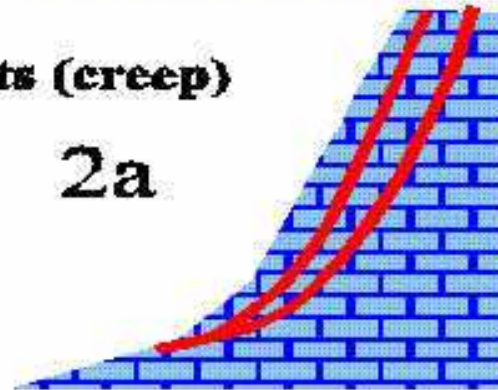


1b

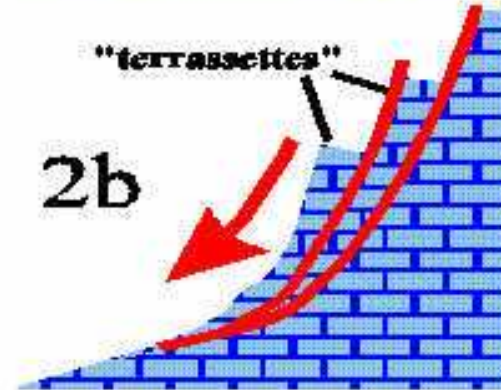


Glissements (creep)

2a



2b



3 coulée boueuse nappe de glissement

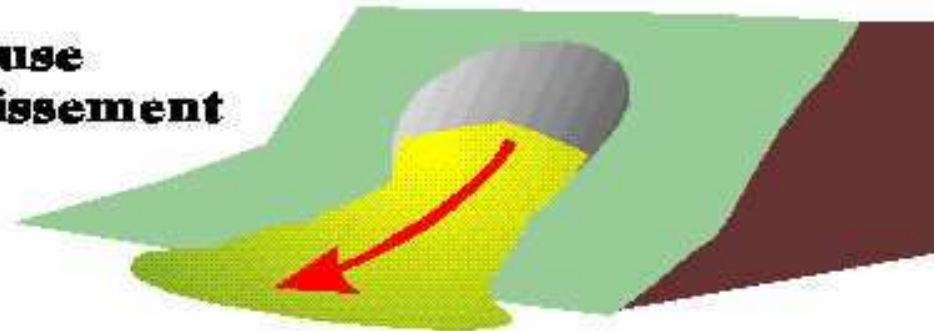


Fig.2 Déplacements gravitaires



Fig.3 Le mouvement des débris d'érosion a déplacé un gazoduc.
Sa position initiale est indiquée par une ligne blanche tiretée.



Fig.4 **Eboulements**



Fig.5 **Glissement de terrain**



Fig.6 **Coulée de débris**

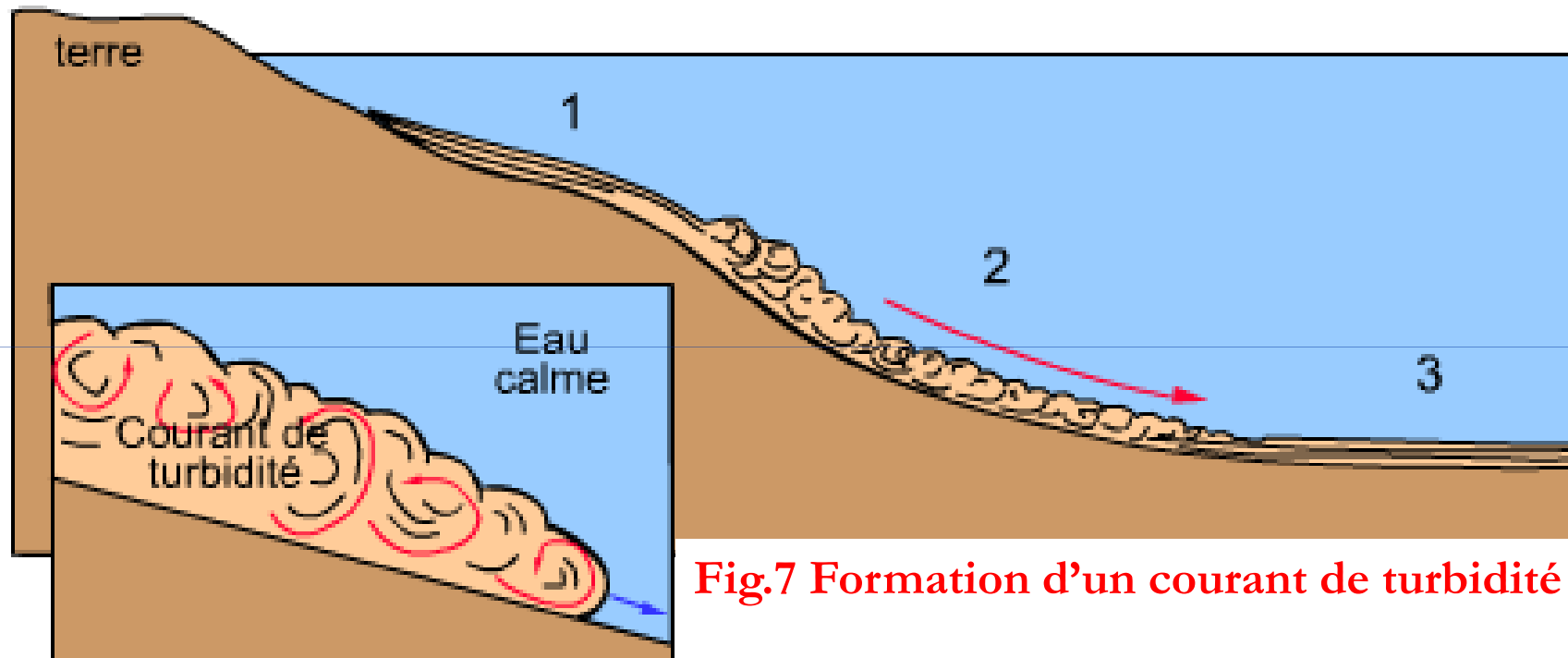


Fig.7 Formation d'un courant de turbidité

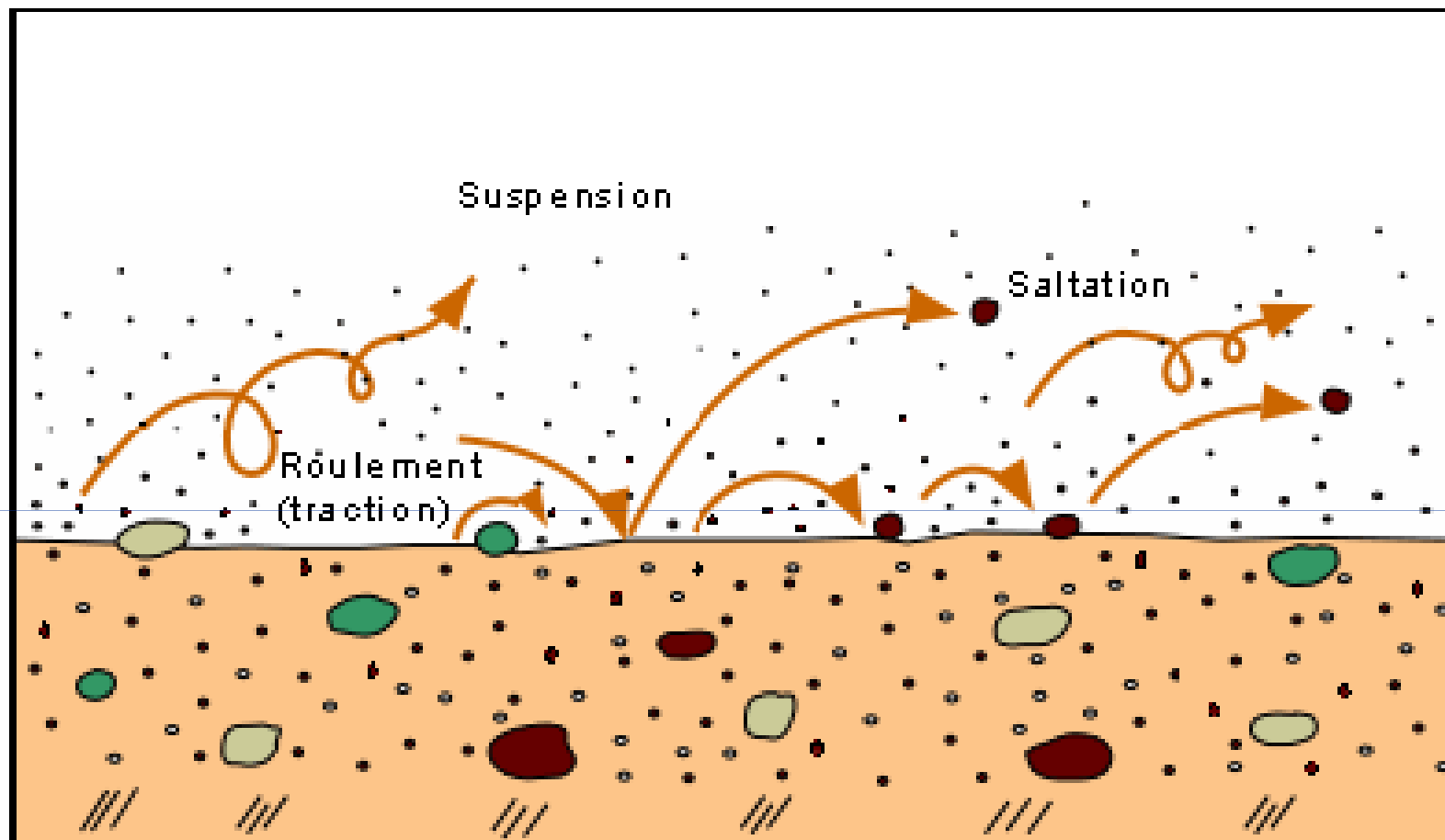


Fig.8 Transport par le vent

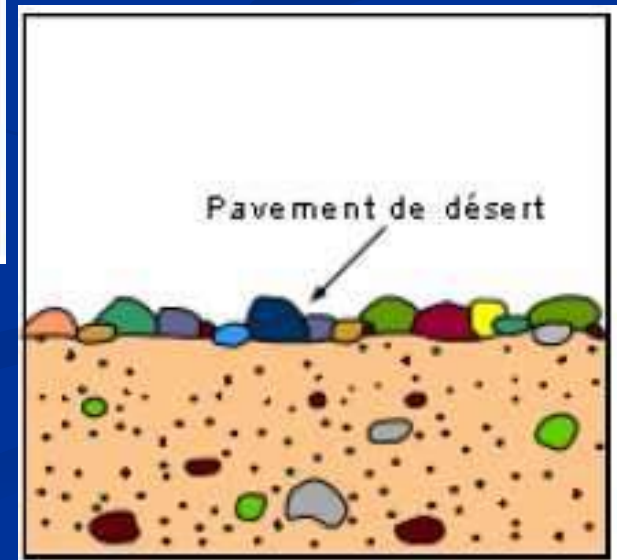
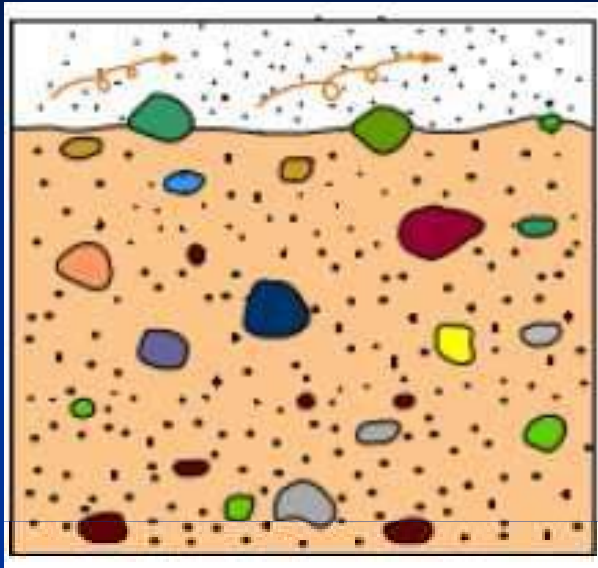


Fig.9 Pavement de désert



Fig.10 Tempête de sable Tinghir Maroc



Fig.11 Taille exceptionnelle d'un bloc exotique d'une moraine

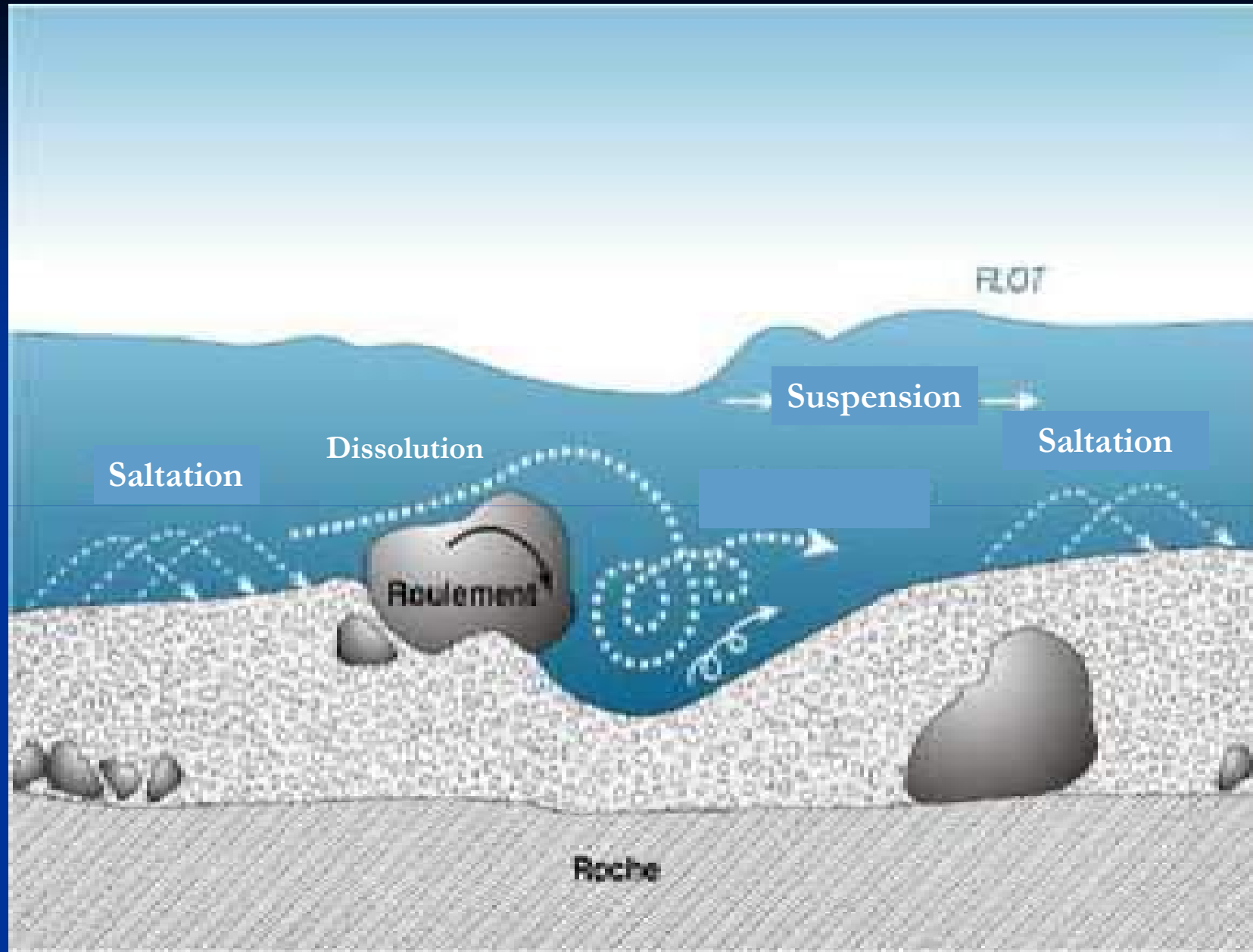


Fig.12 Mode de transport de la charge

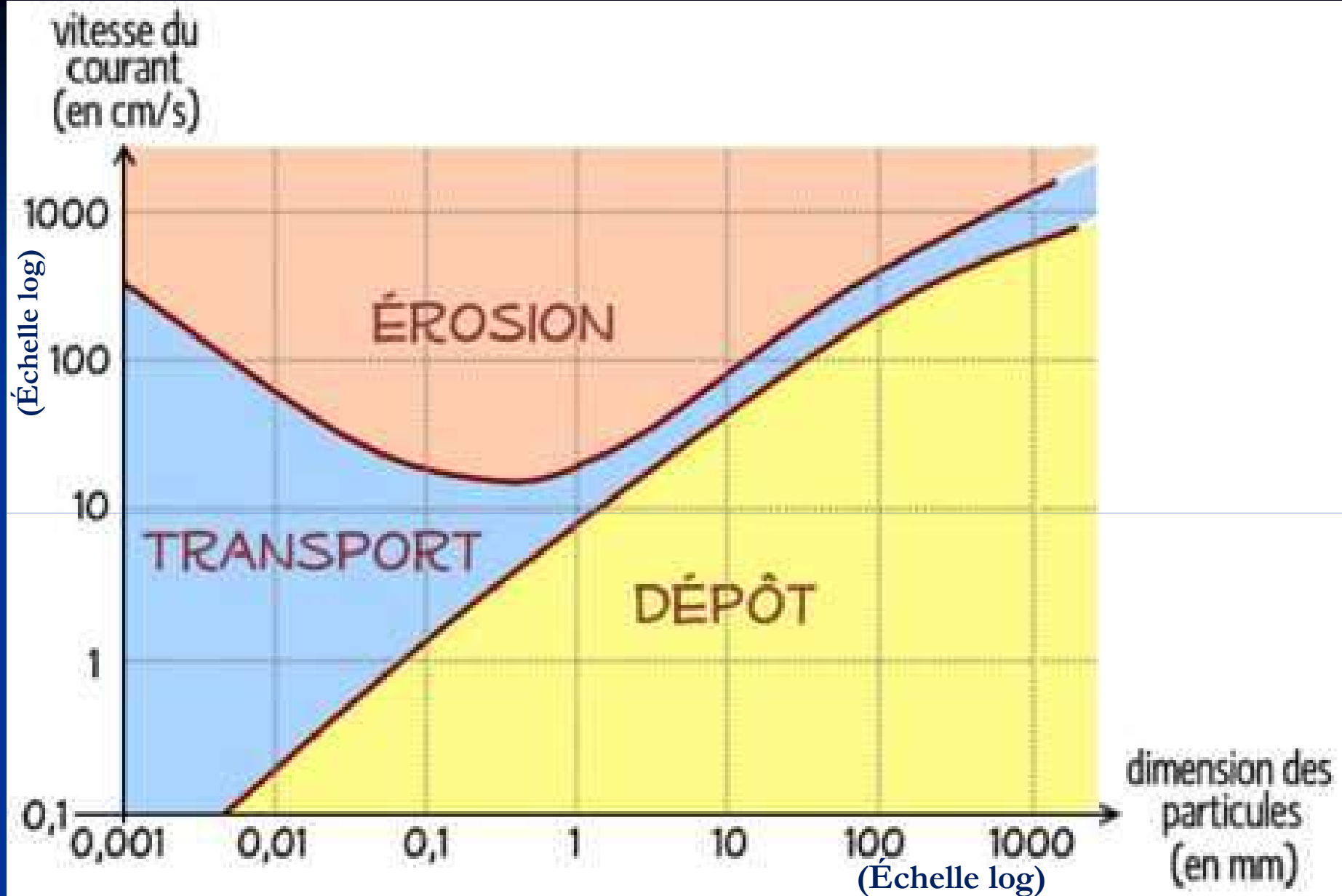


Fig.13 Diagramme de Hjulstöm

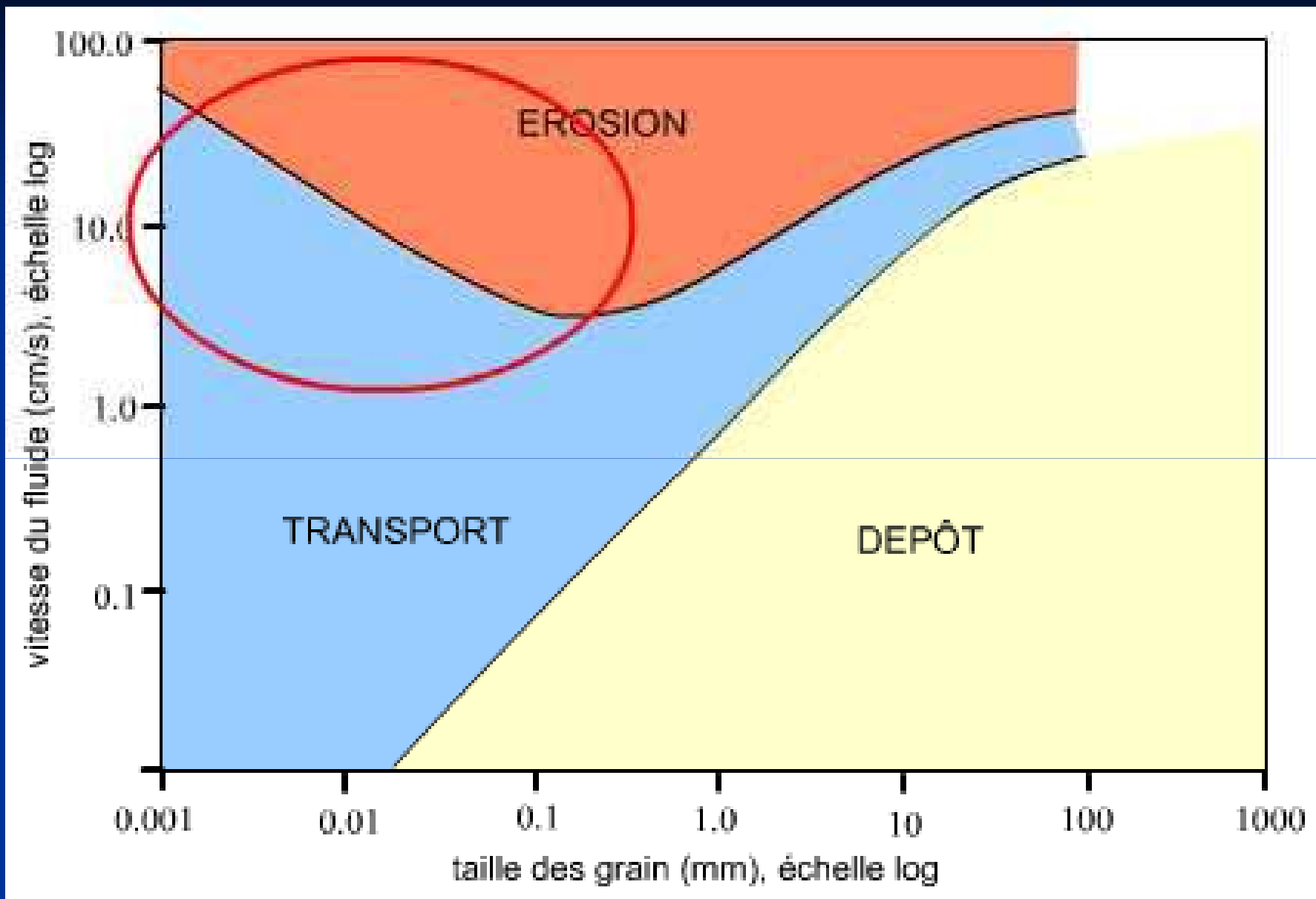


Fig.14 Diagramme de Hjulstöm

**LICENCE
S2
COURS DE GEODYNAMIQUE EXTERNE**

PARTIE I

**Cycle des roches sédimentaires, classification
des roches sédimentaires et intérêt de la
géologie des roches sédimentaires**

**Notion d'érosion et d'altération
Transport des particules sédimentaires
Processus de sédimentation
Diagenèse**

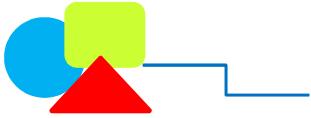


Fig.1 Litage oblique

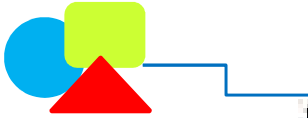


Fig.2 Litage horizontal
(les sédiments ont basculé après leur dépôt)

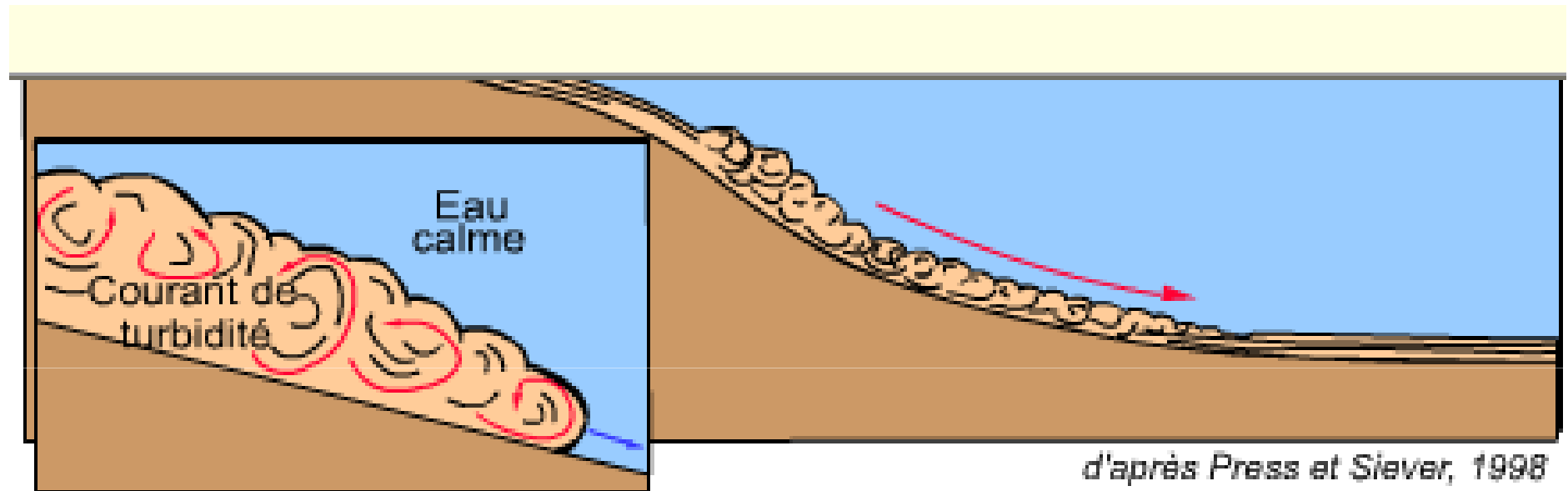
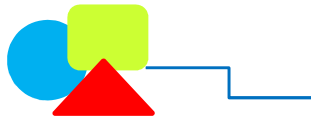


Fig.3 Courant de turbidité



Fig.4

**Dépôt gravitaire
constitué d'une
matrice argileuse et
des blocs de taille et
de nature diverses**

grès →
Dépôt argileux →



Fig.5 **Turbidites**

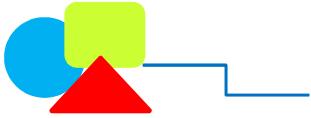


Fig.6 **diamictite**

Mécanismes diagénétiques

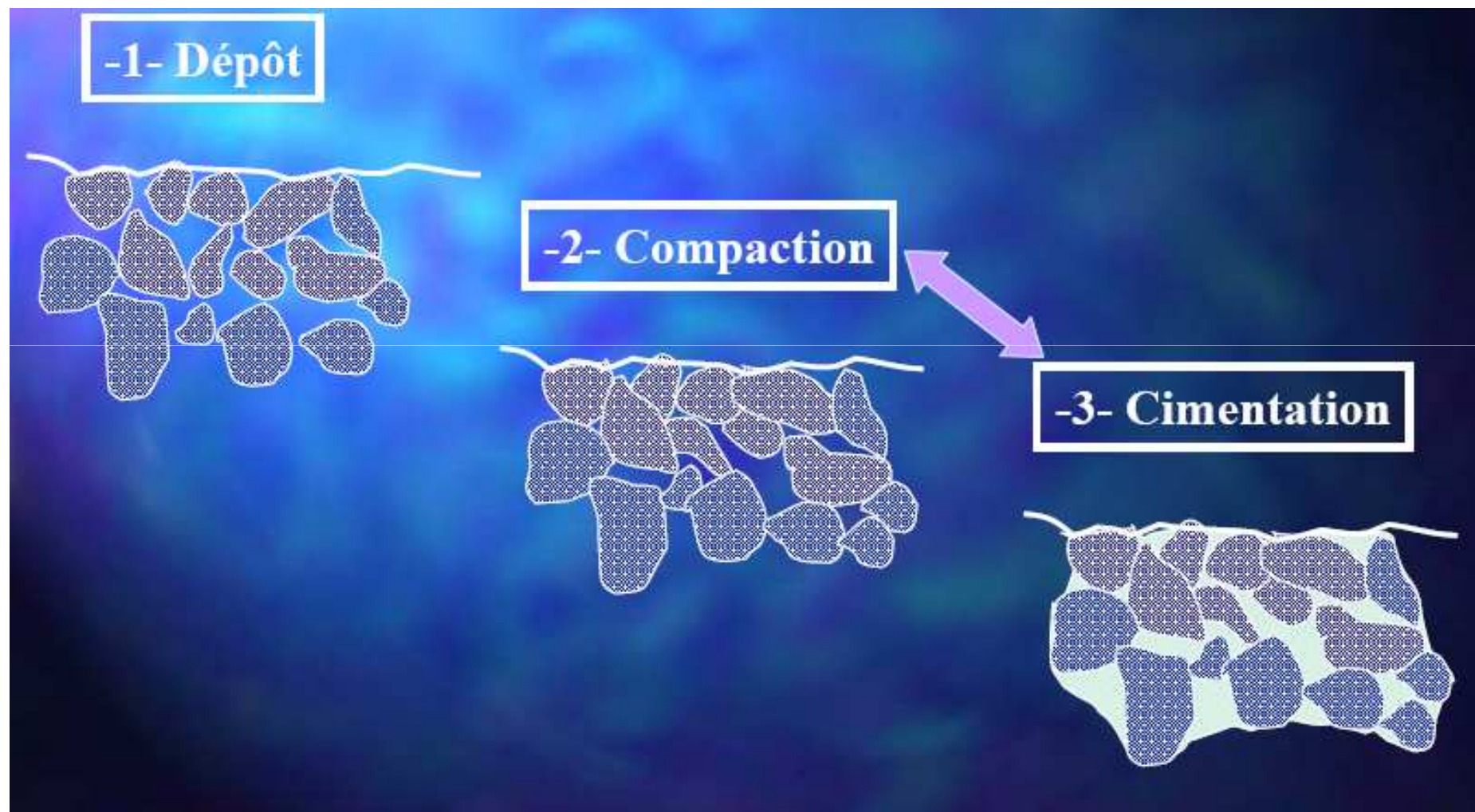
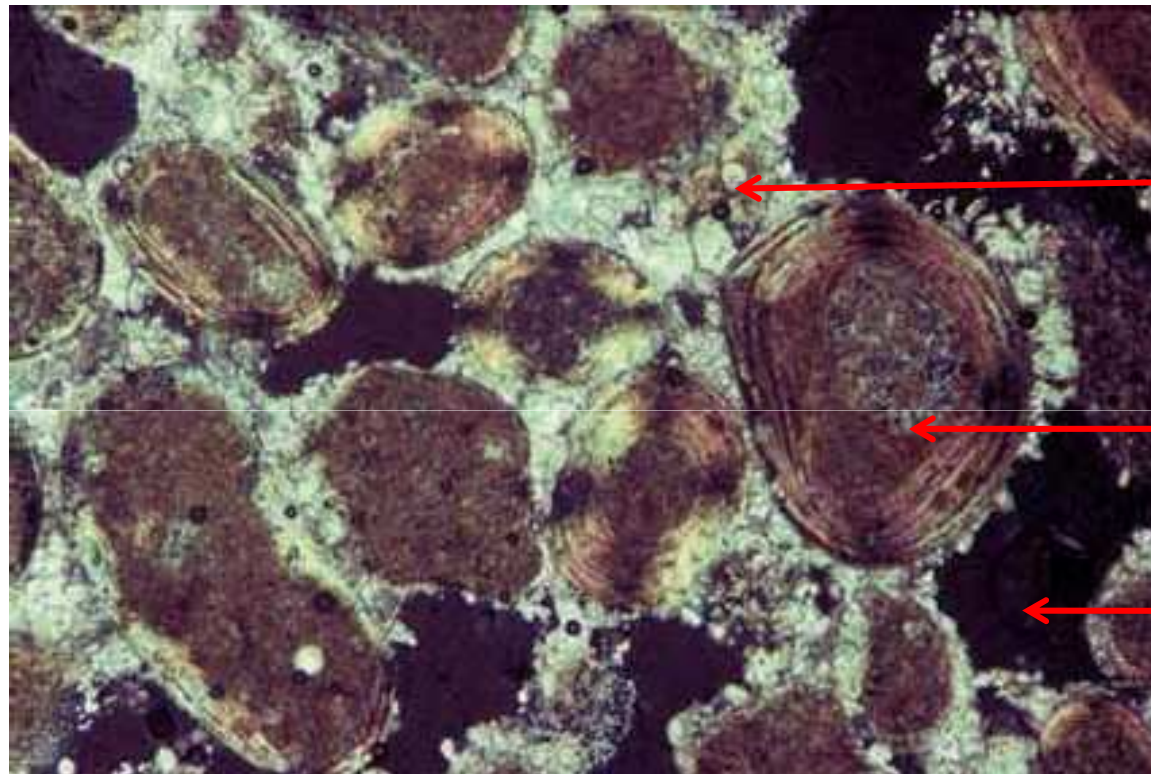
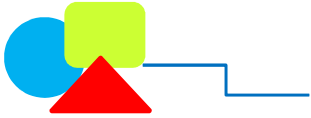


Fig.7 Mécanismes diagénétiques

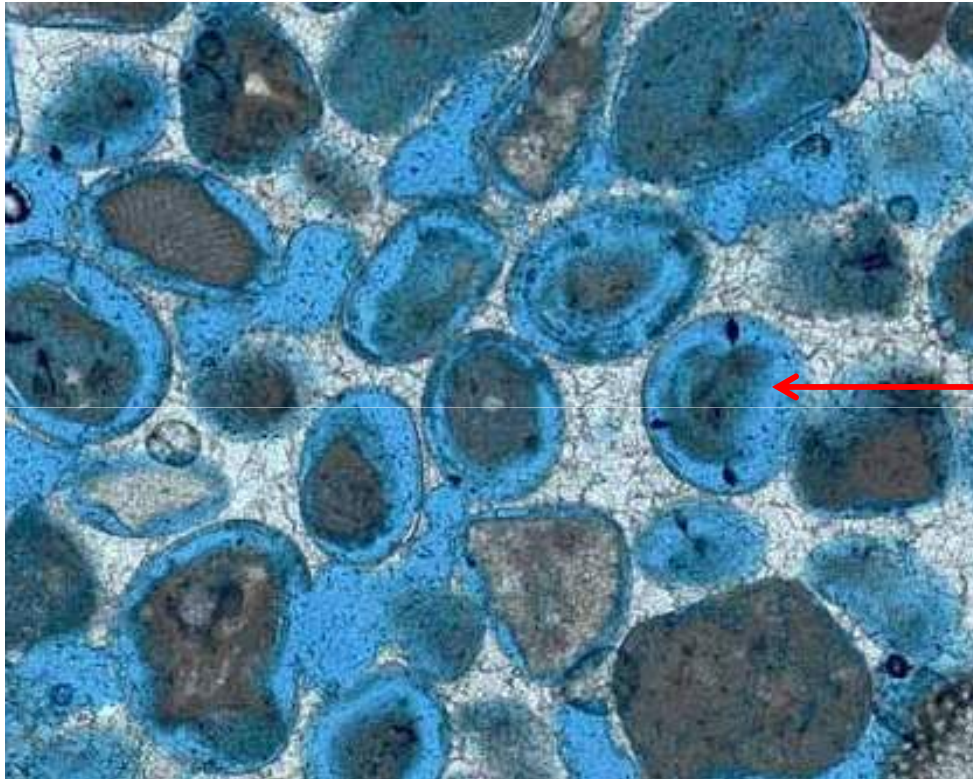
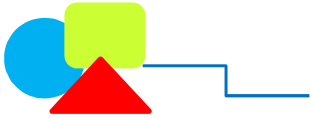


Ciment
calcitique

Oolithe

Pore

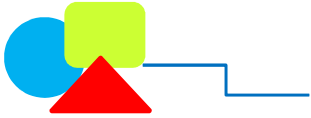
Fig.8 Calcaire oolithique



**Porosité
secondaire**

Fig 9 Calcaire oolithique partiellement dissout par l'eau de pluie

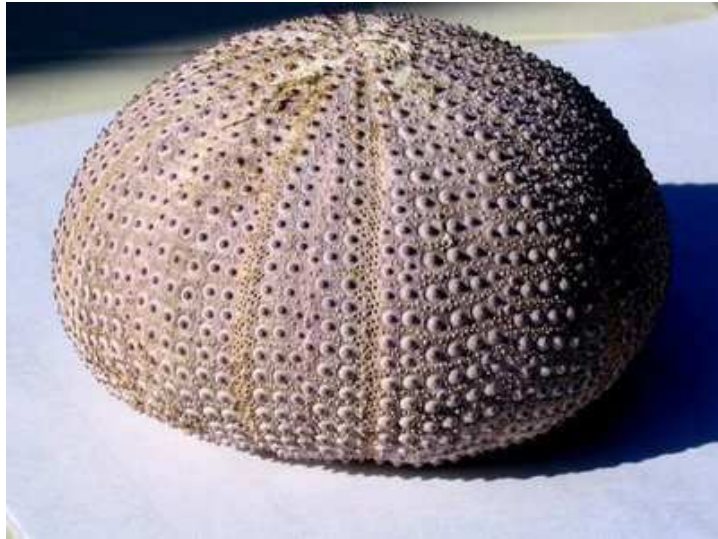
Le bleu représente la porosité de la roche



← Calcaire

← Dolomite

Fig.10 Calcaire partiellement dolomitisé



Coquille d'oursin actuel



Coquille d'oursin fossile



Coquille de Pecten actuel



Coquille de Pecten fossile

Fig.11



Fig.12 Tronc pétrifié

(remplacement du bois par de la silice)

LICENCE
S2
COURS DE GEODYNAMIQUE EXTERNE

PARTIE I

**Cycle des roches sédimentaires, classification
des roches sédimentaires et intérêt de la
géologie des roches sédimentaires**

**Notion d'érosion et d'altération
Transport des particules sédimentaires
Processus de sédimentation
Milieux de sédimentation**

Milieux de sédimentation

Milieu continental

Les dépôts éoliens

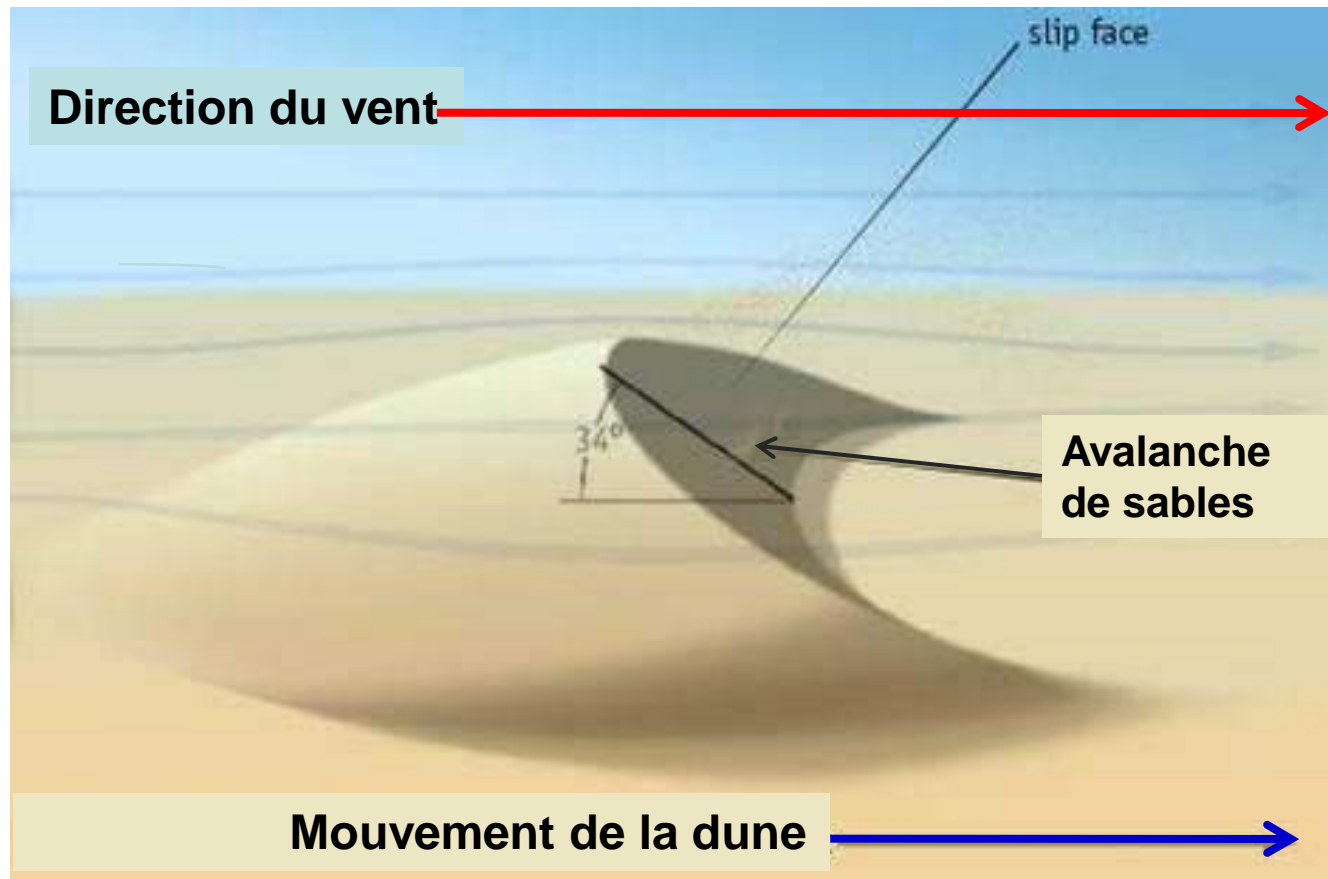


Fig.1 **Barkhanes**

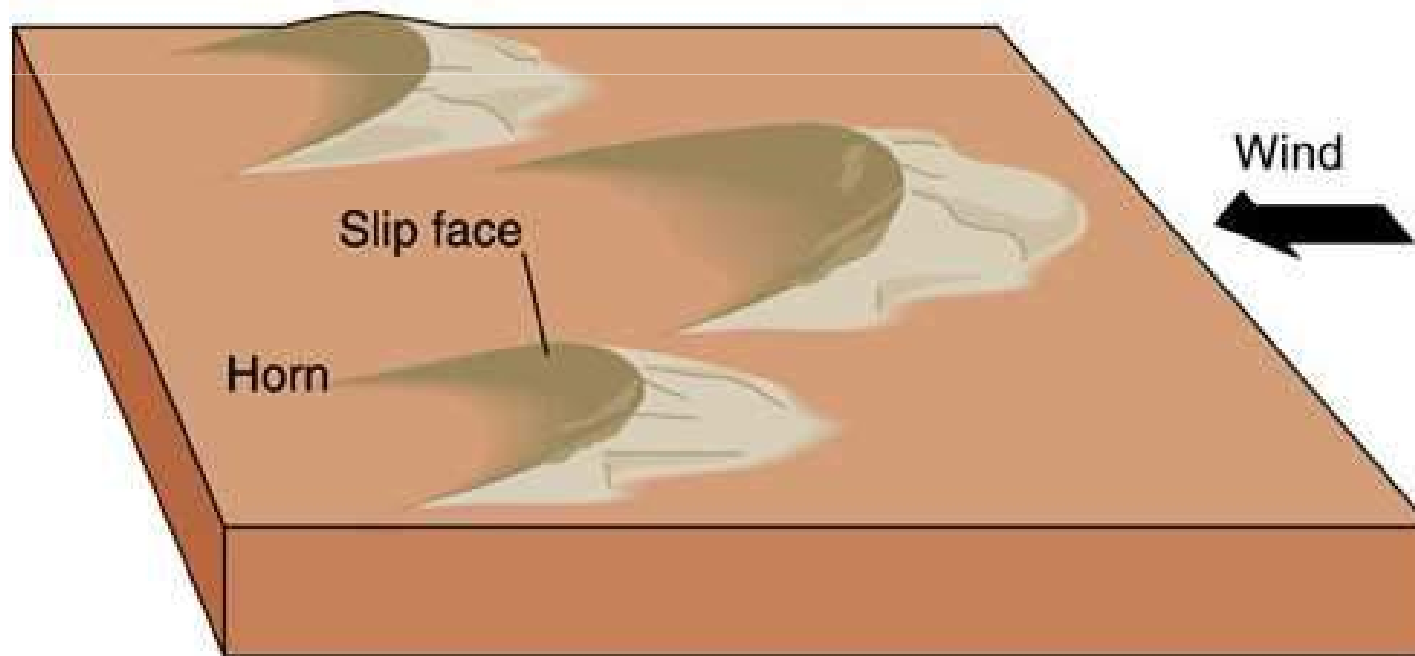
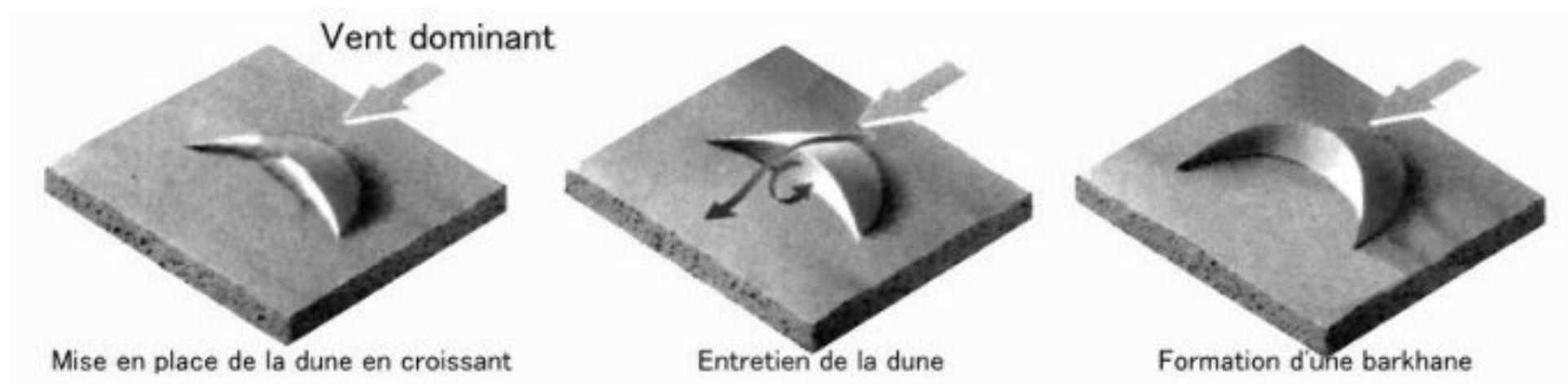


Fig.2 Formation de barchanes

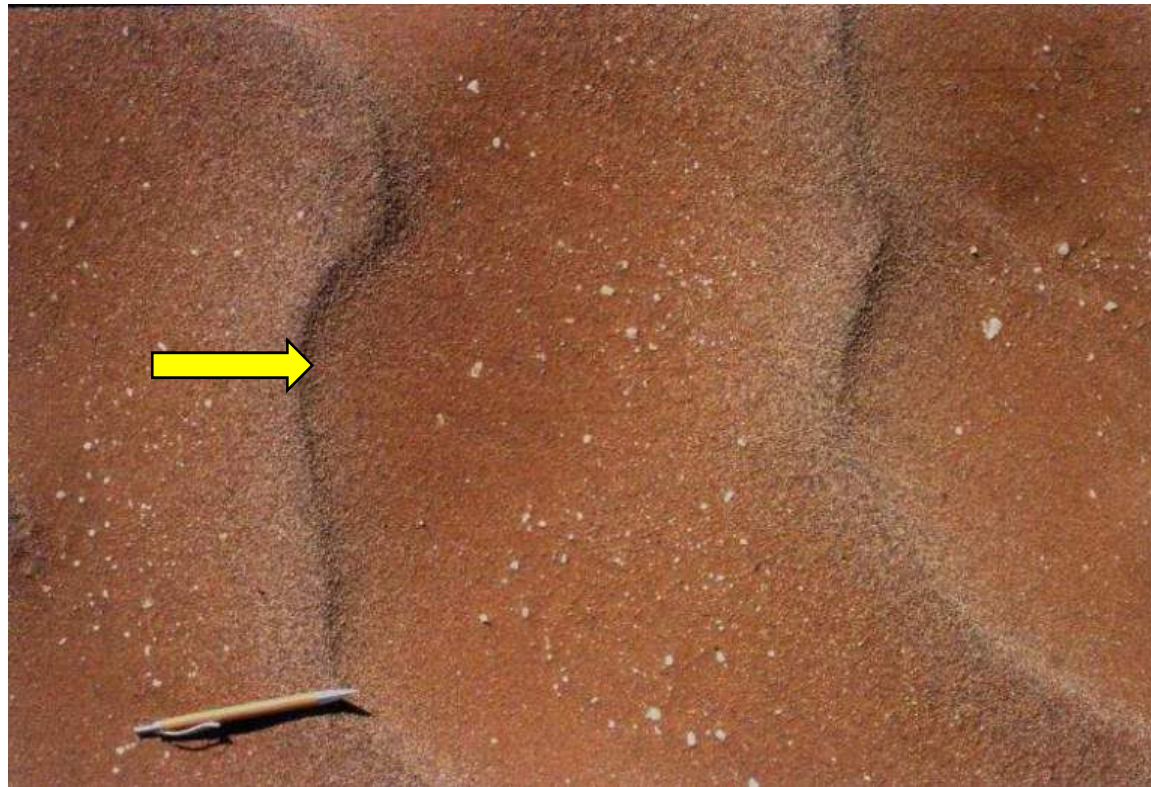
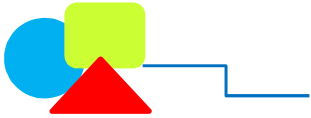


Fig.3 **Ripplemarks**
(rides à petite échelle)

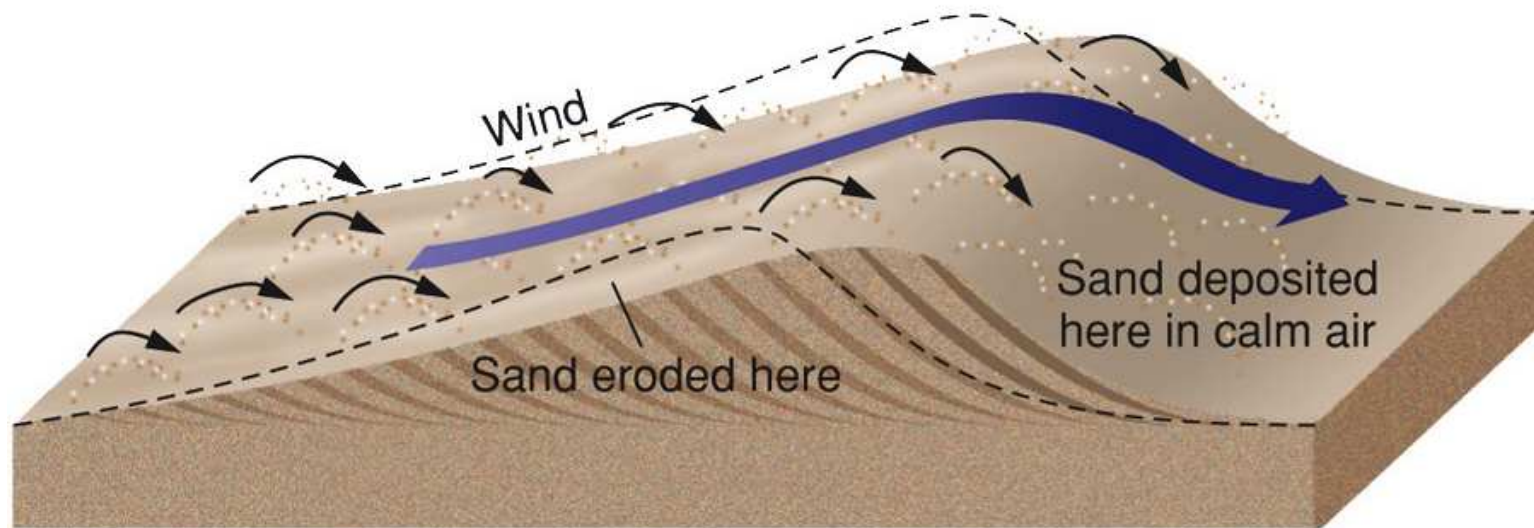
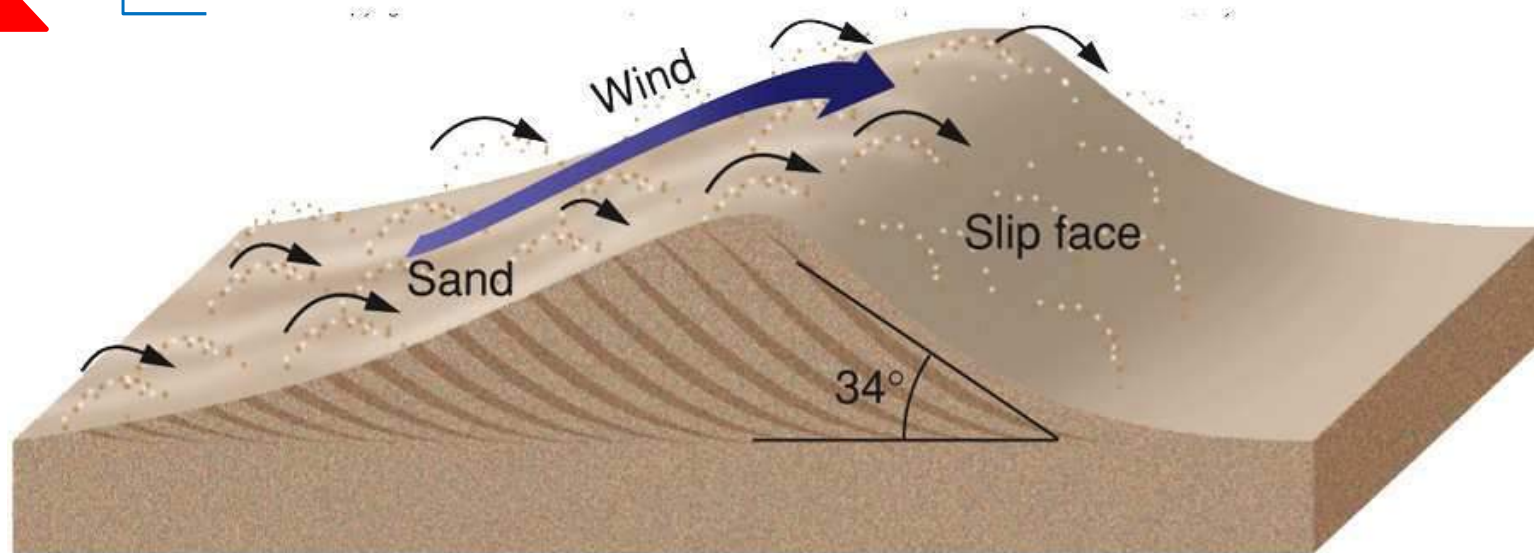
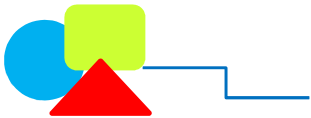


Fig.4 Dunes éoliennes

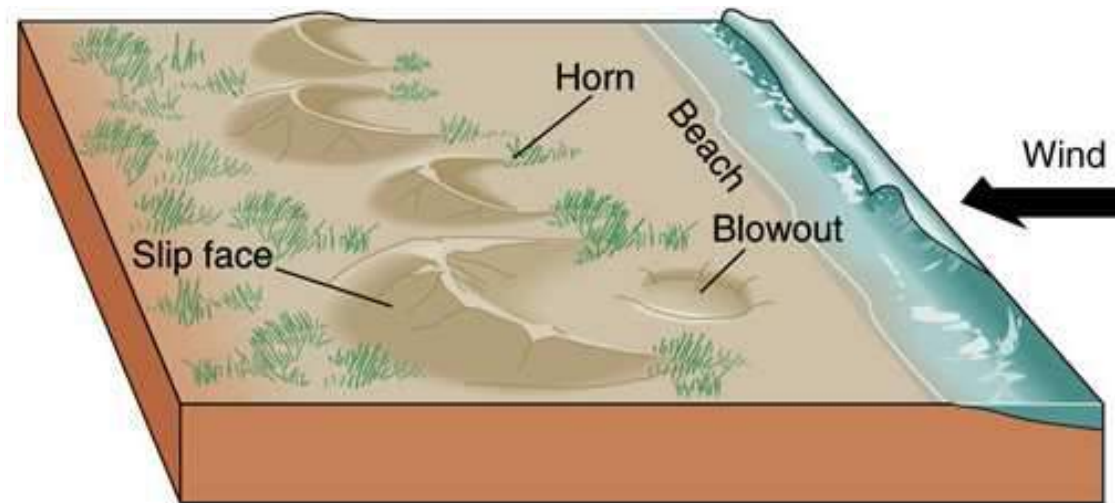
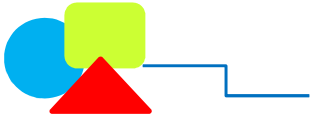


Fig.5 Dunes paraboliques

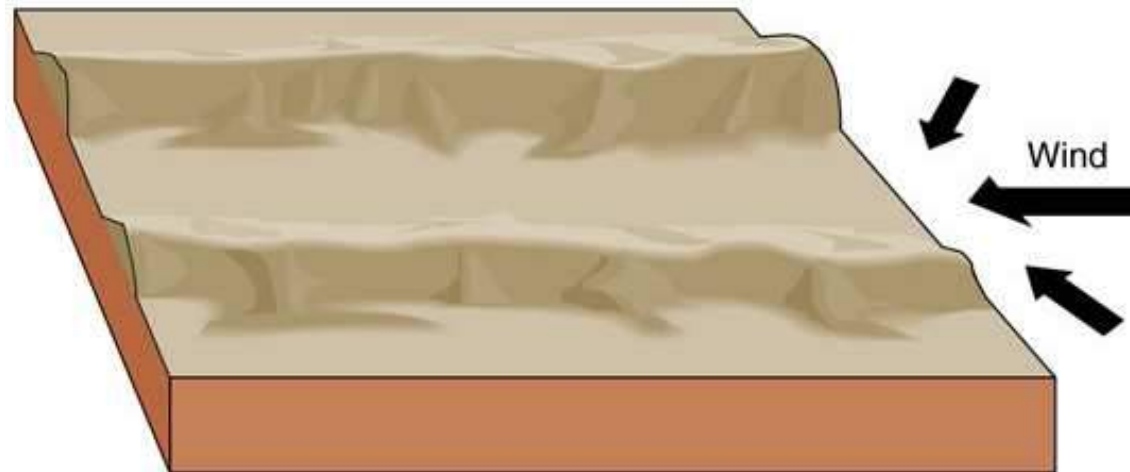


Fig.6 Dunes longitudinales

Fig.7 Dunes longitudinales



White sands Nouveau Mexique USA

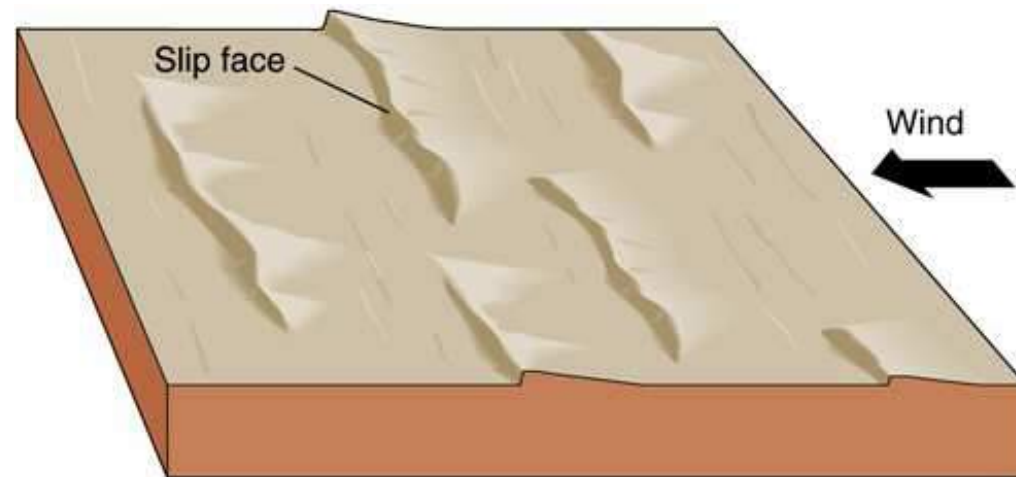
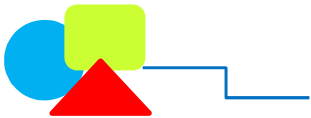


Fig.8 Dunes transversales



Fig.9 Dunes en étoiles



Fig. 10 Dunes en étoiles Désert du Namib- Namibie

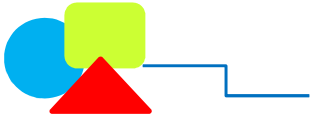


Fig. 11 Erg



Fig. 12 Tempête désertique

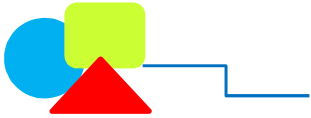


Fig. 13 Loess



Fig. 14 Dunes de sable de Merzouga

Faculté des Sciences Rabat

Par:
Pr. Nadia Kassou

**LICENCE
S2
COURS DE GEODYNAMIQUE EXTERNE**

PARTIE I

**Cycle des roches sédimentaires, classification
des roches sédimentaires et intérêt de la
géologie des roches sédimentaires**

**Notion d'érosion et d'altération
Transport des particules sédimentaires
Processus de sédimentation
Milieux de sédimentation**

Milieux de sédimentation

Milieu continental

Les dépôts glaciaires

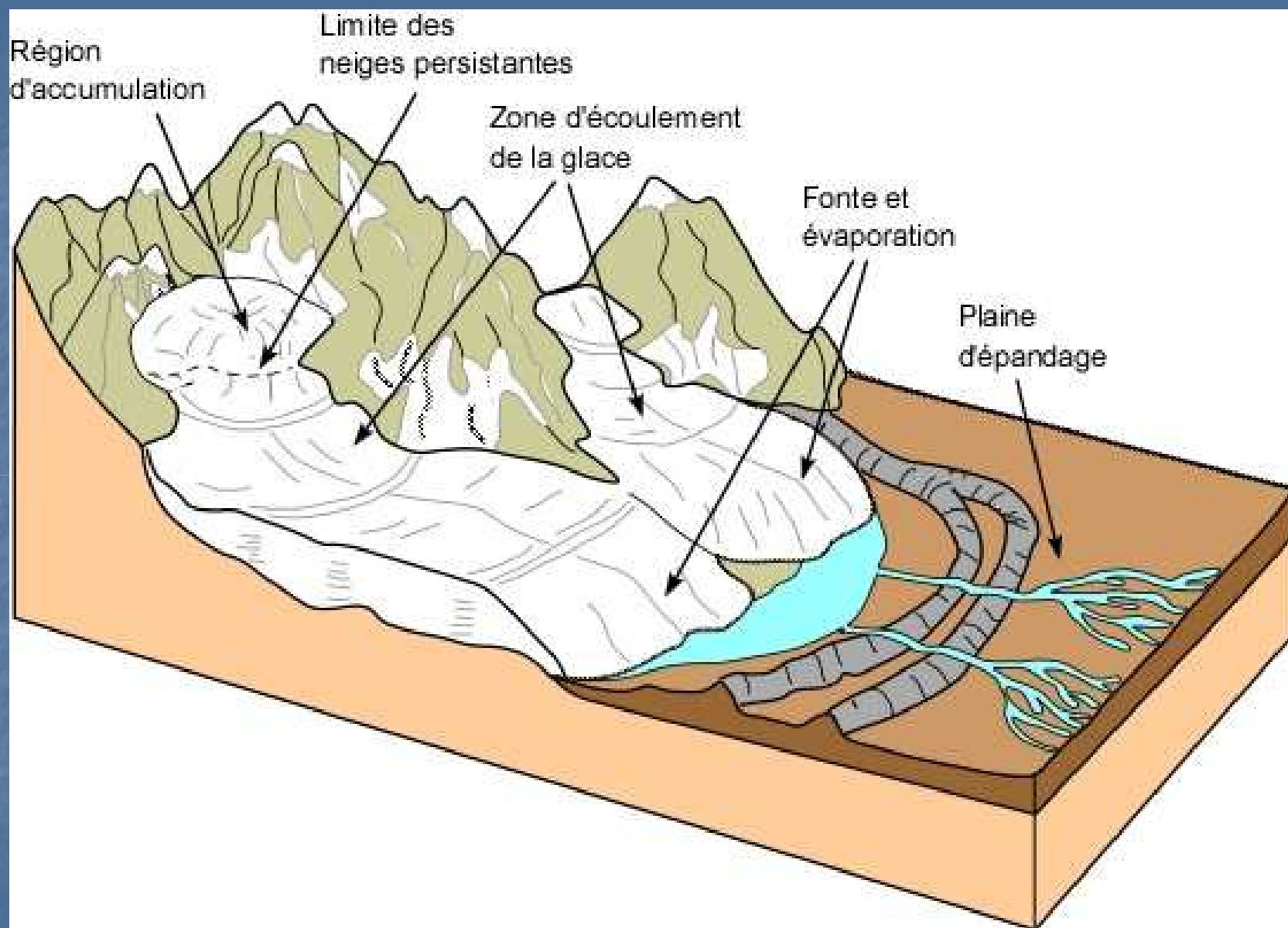


Fig. 1 Système glaciaire alpin

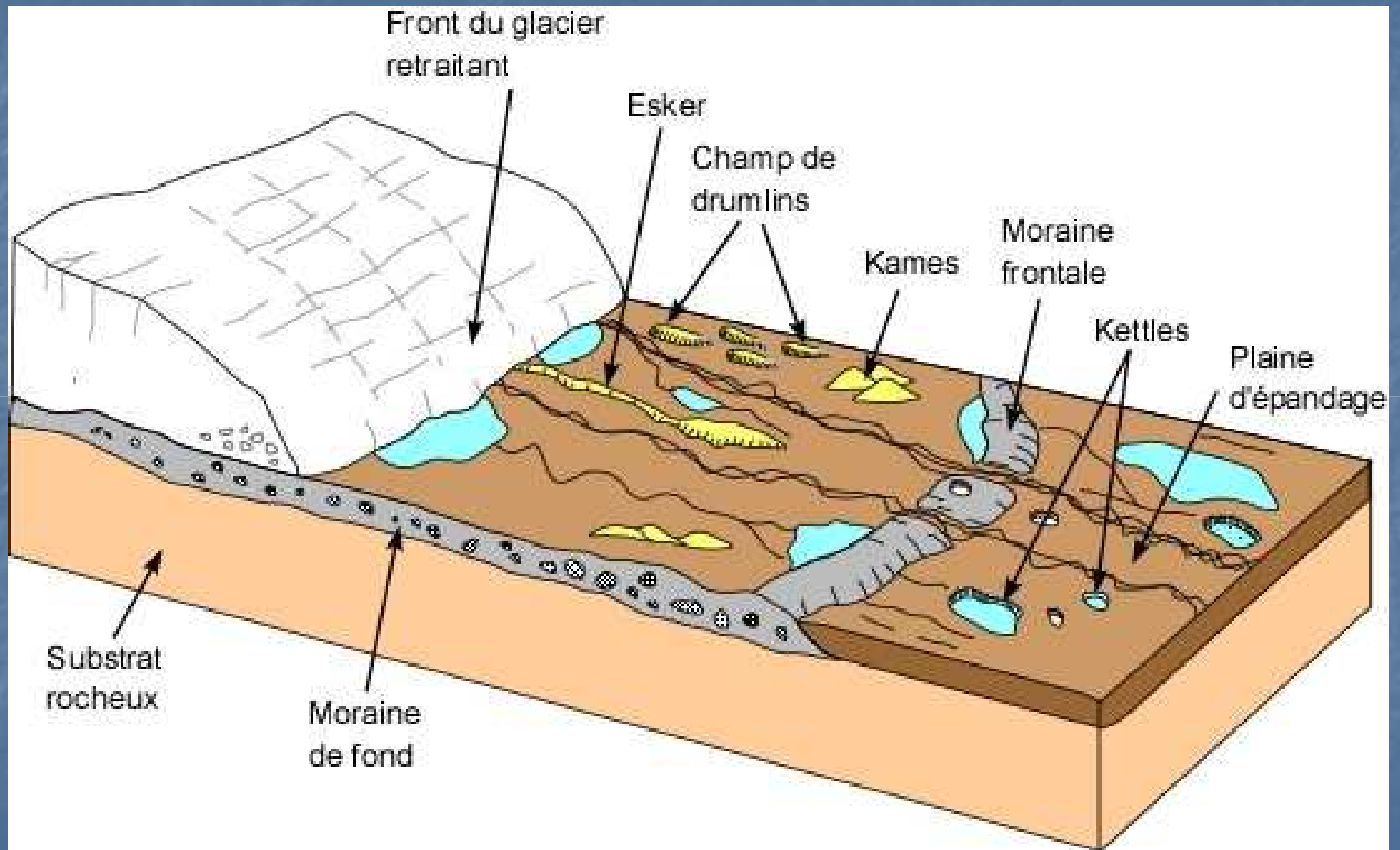


Fig. 2 Les dépôts glaciaires



Fig. 3 Moraines frontales



Fig. 4 Moraines latérale et médiane

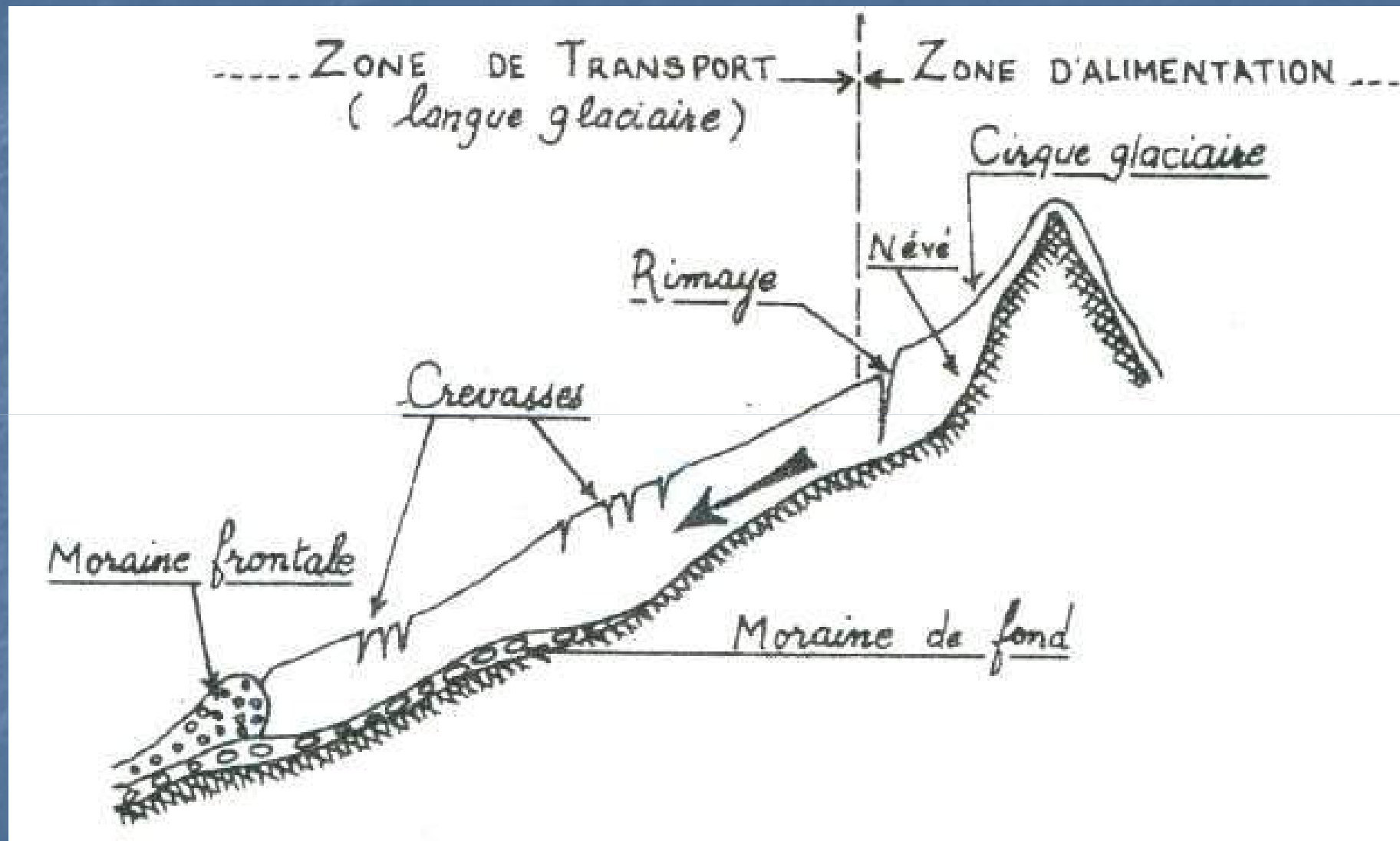


Fig.5 Coupe longitudinale d'un appareil glaciaire



Fig.6 Drumlin (Vue aérienne)



Fig.7 Drumlin (Vue en coupe)



Fig.8 Esker

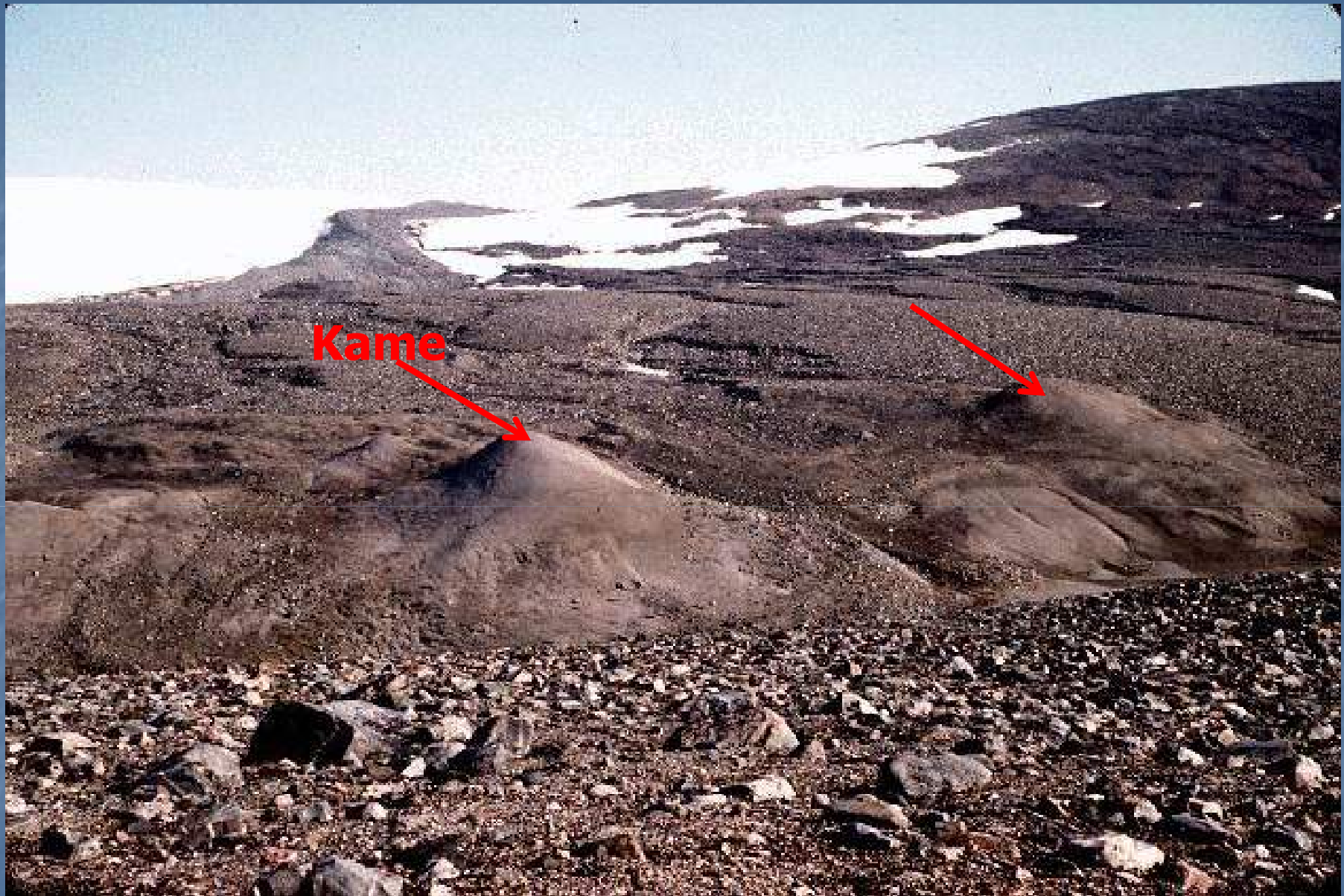


Fig.9 Kames



Kettle

Fig.10 Kettle



Fig.11 Blocs erratiques

**LICENCE
S2
COURS DE GEODYNAMIQUE EXTERNE**

PARTIE I

**Cycle des roches sédimentaires, classification
des roches sédimentaires et intérêt de la
géologie des roches sédimentaires**

**Notion d'érosion et d'altération
Transport des particules sédimentaires
Processus de sédimentation
Milieux de sédimentation**

Milieux de sédimentation

Milieu continental

Dépôts fluviaux

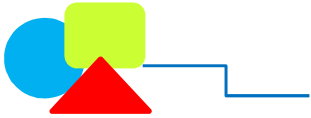


Fig.1

Photo Ahmamou



Fig.2

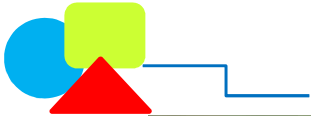


Fig.3 Rivière à méandres

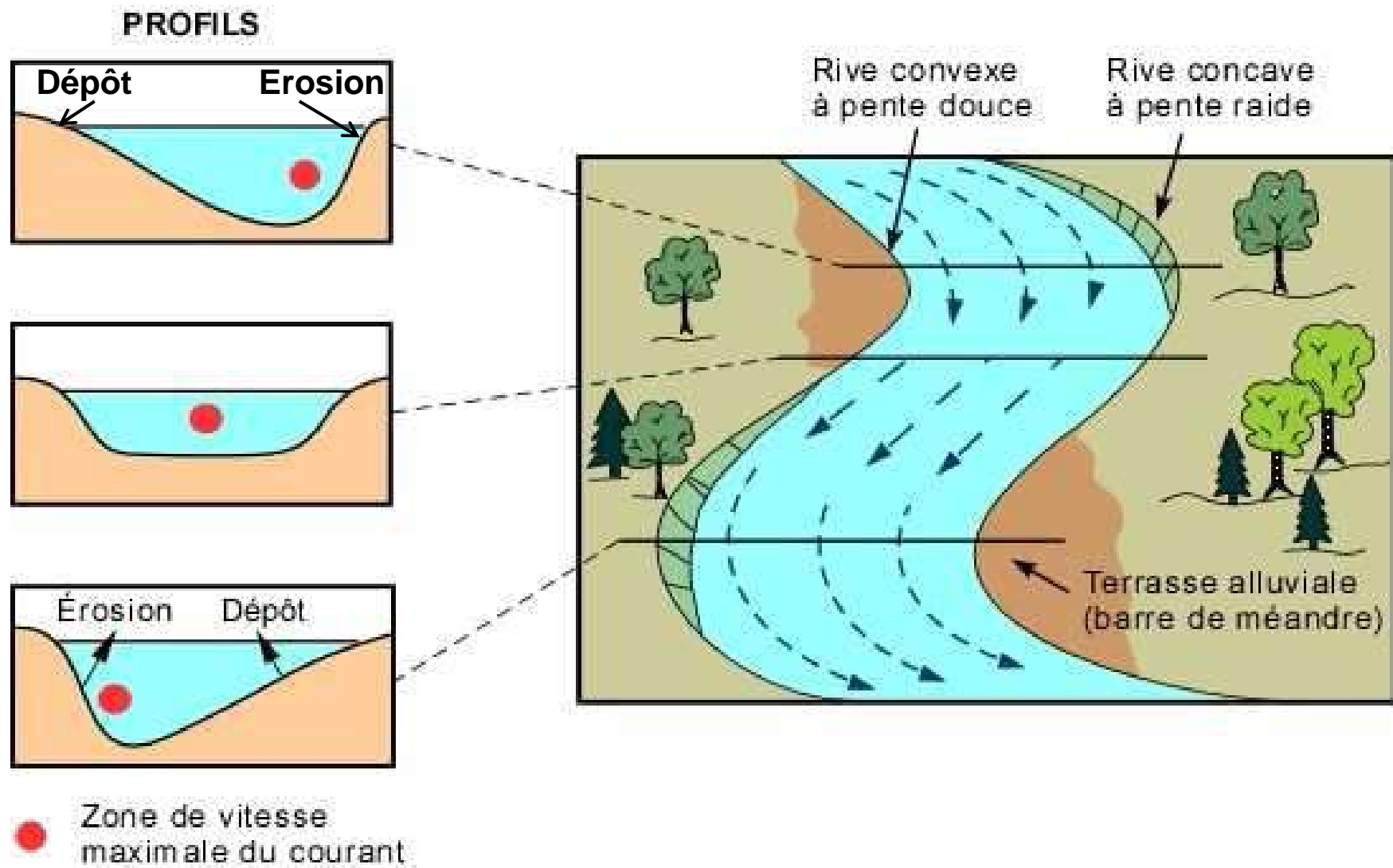


Fig.4 Processus de dépôt et d'érosion au niveau des méandres

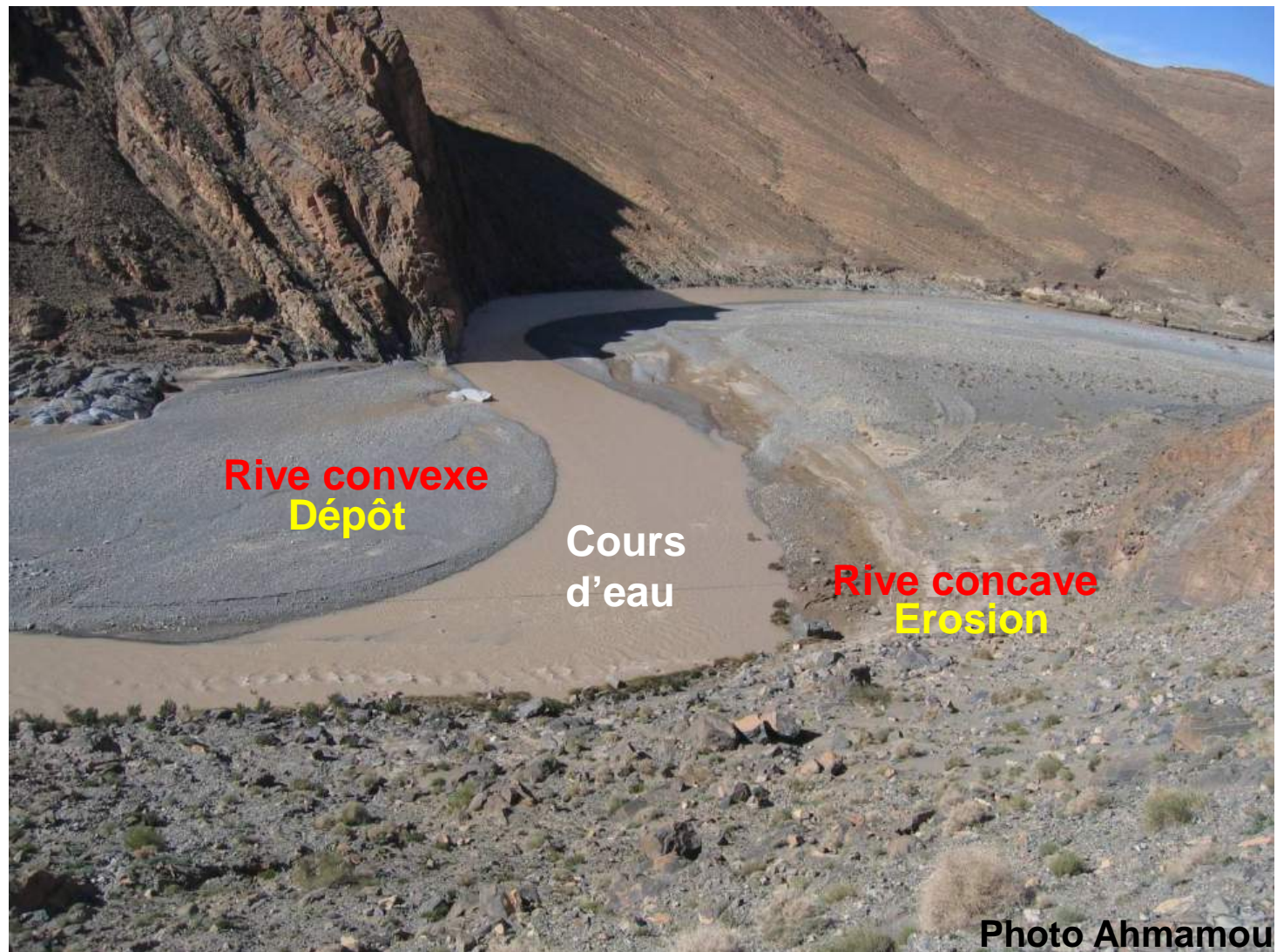
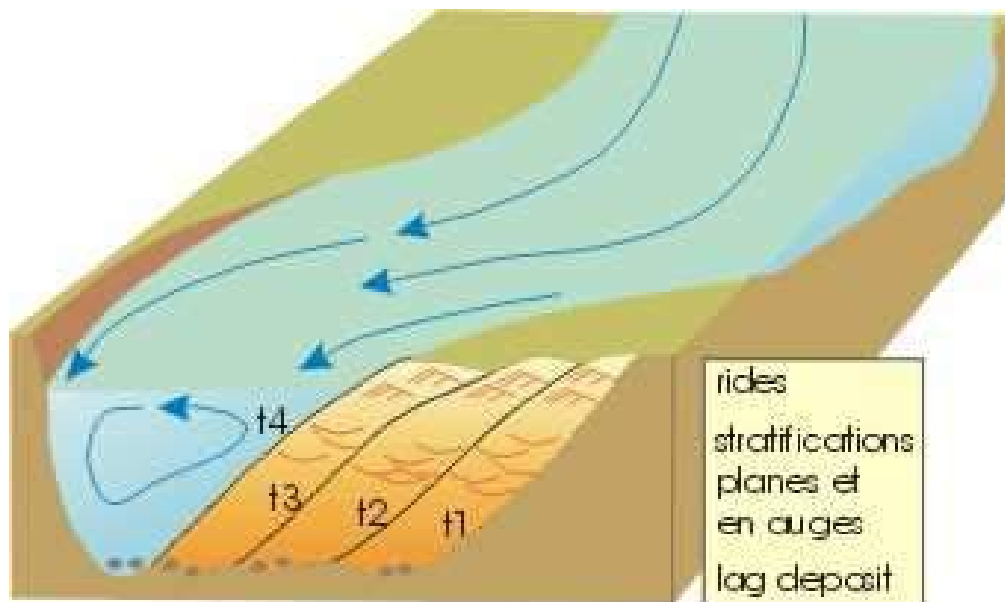
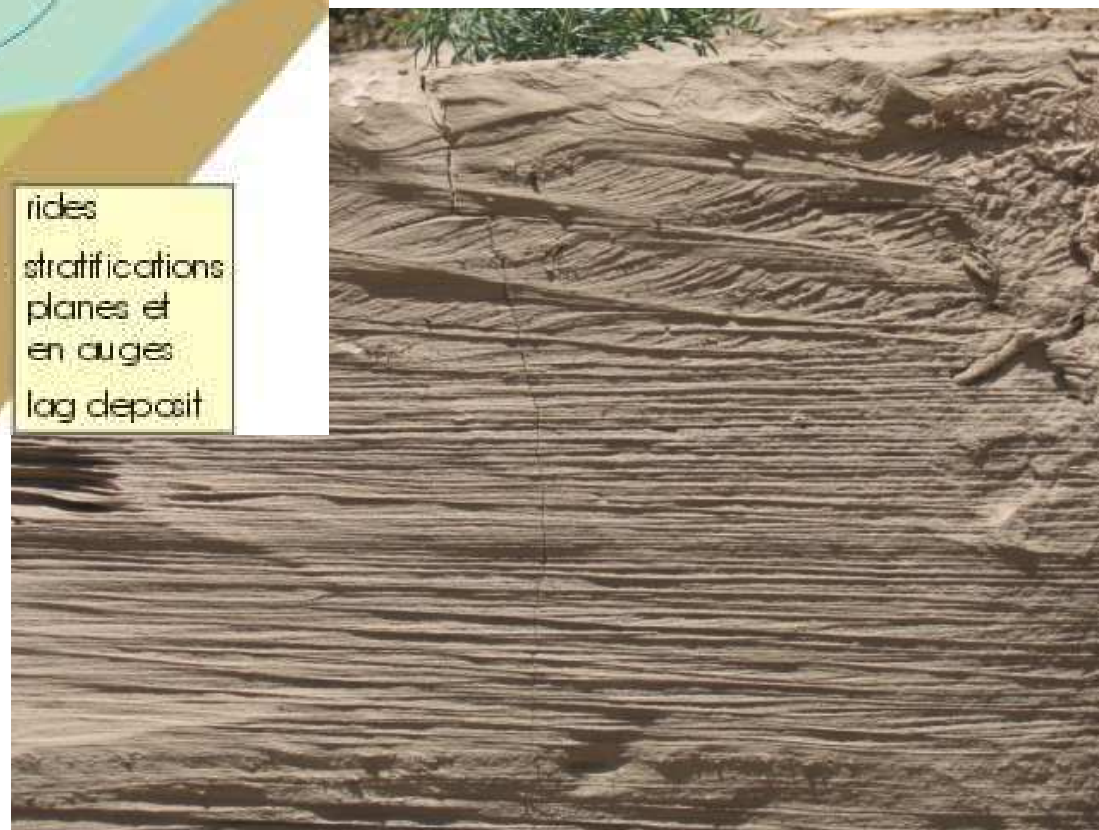


Fig.5 Processus de dépôt et d'érosion au niveau d'un méandre



**Fig.6 Stratifications
obliques dans un lobe de
méandre**



LICENCE
S2
COURS DE GEODYNAMIQUE EXTERNE

PARTIE I

**Cycle des roches sédimentaires, classification
des roches sédimentaires et intérêt de la
géologie des roches sédimentaires**

**Notion d'érosion et d'altération
Transport des particules sédimentaires
Processus de sédimentation
Milieux de sédimentation**

Milieux de sédimentation

LE DOMAINE MIXTE

LE LITTORAL



Fig.1

Pr. Ahmamou

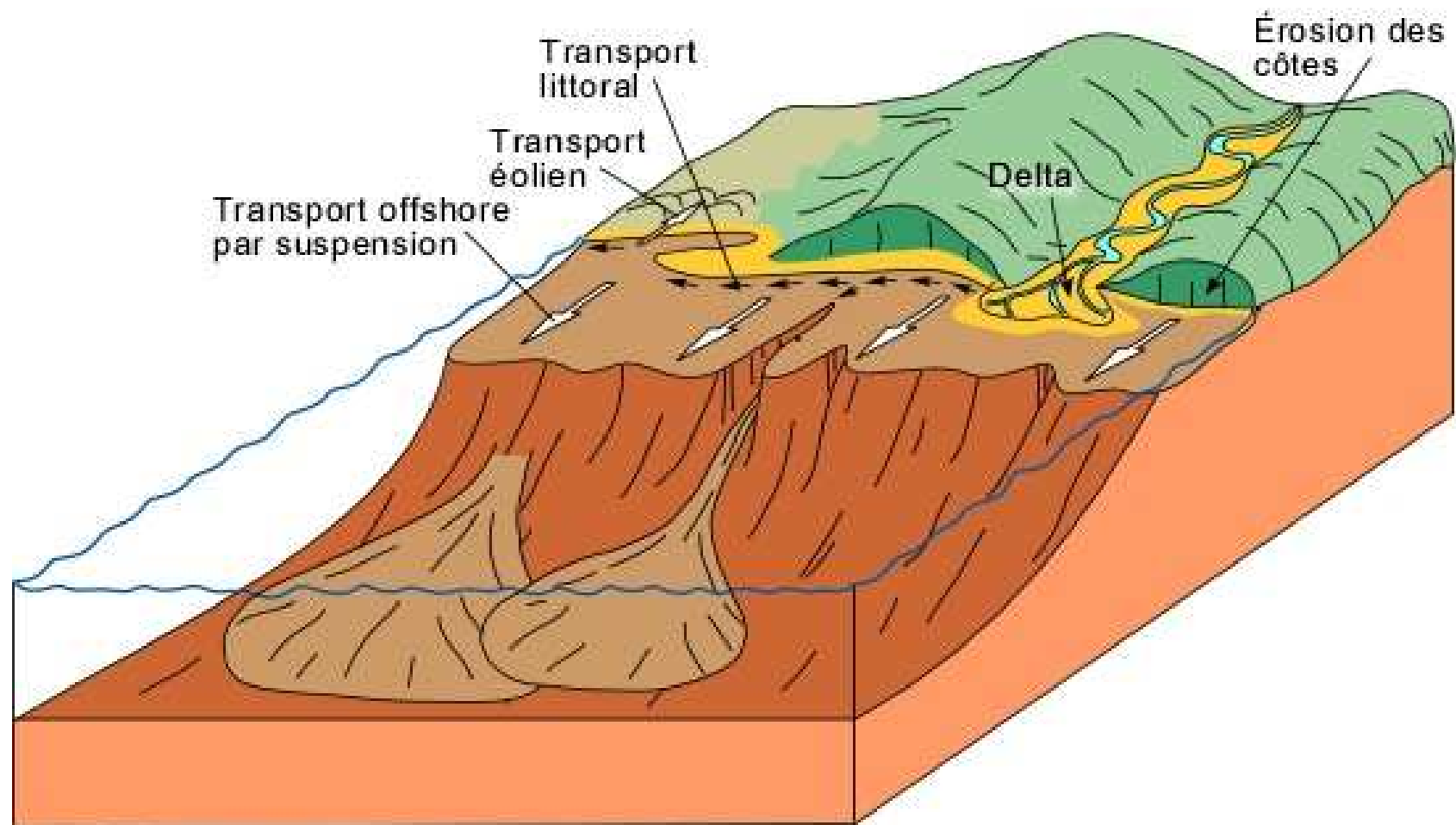
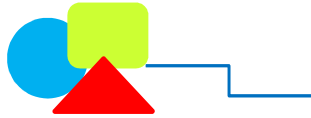
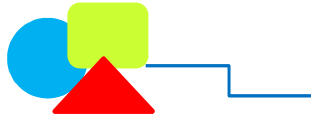


Fig.2



Fig.3 Delta



La vue en plan de la figure
qui suit montre un cours
d'eau qui vient se jeter en
mer.

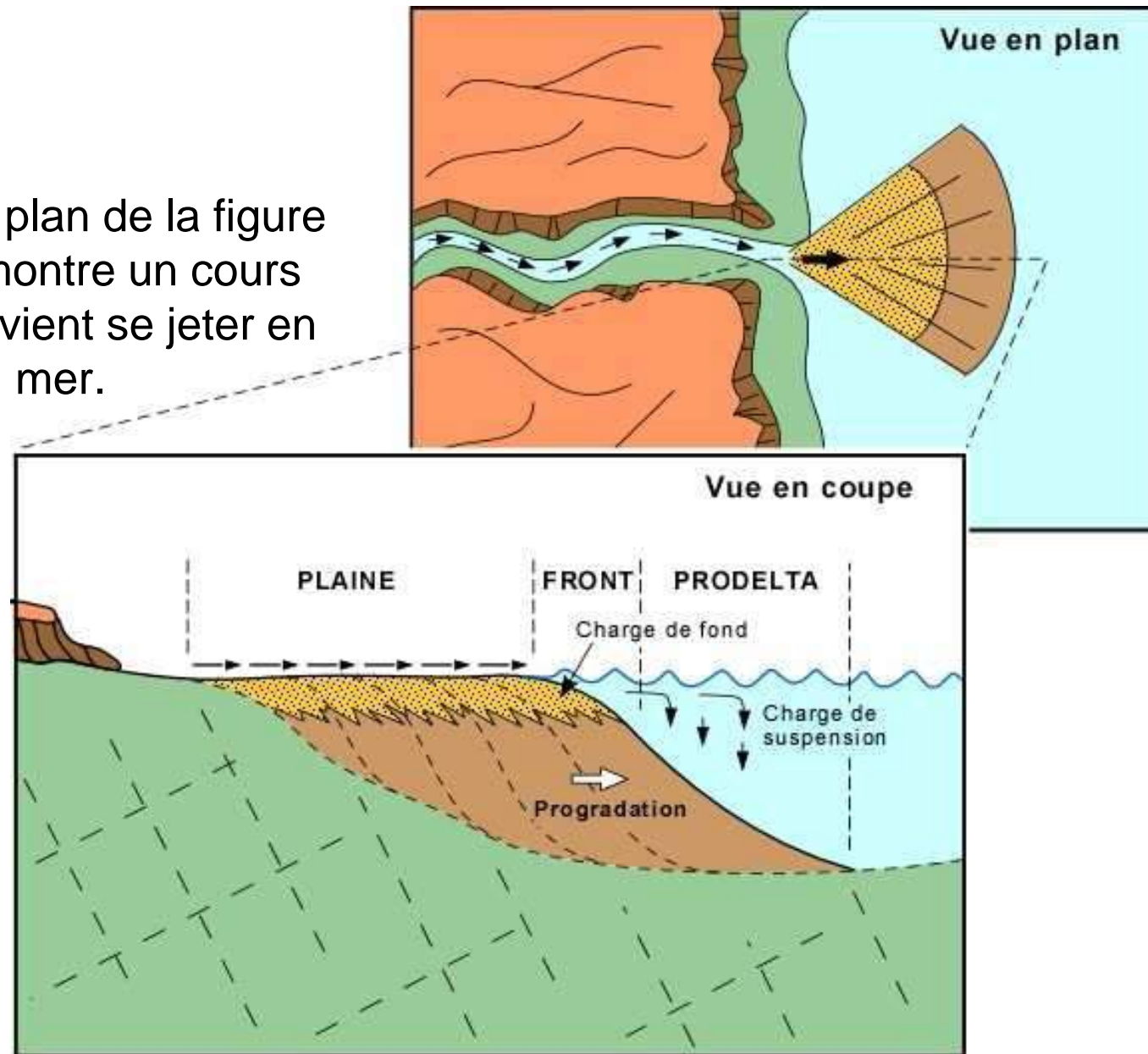
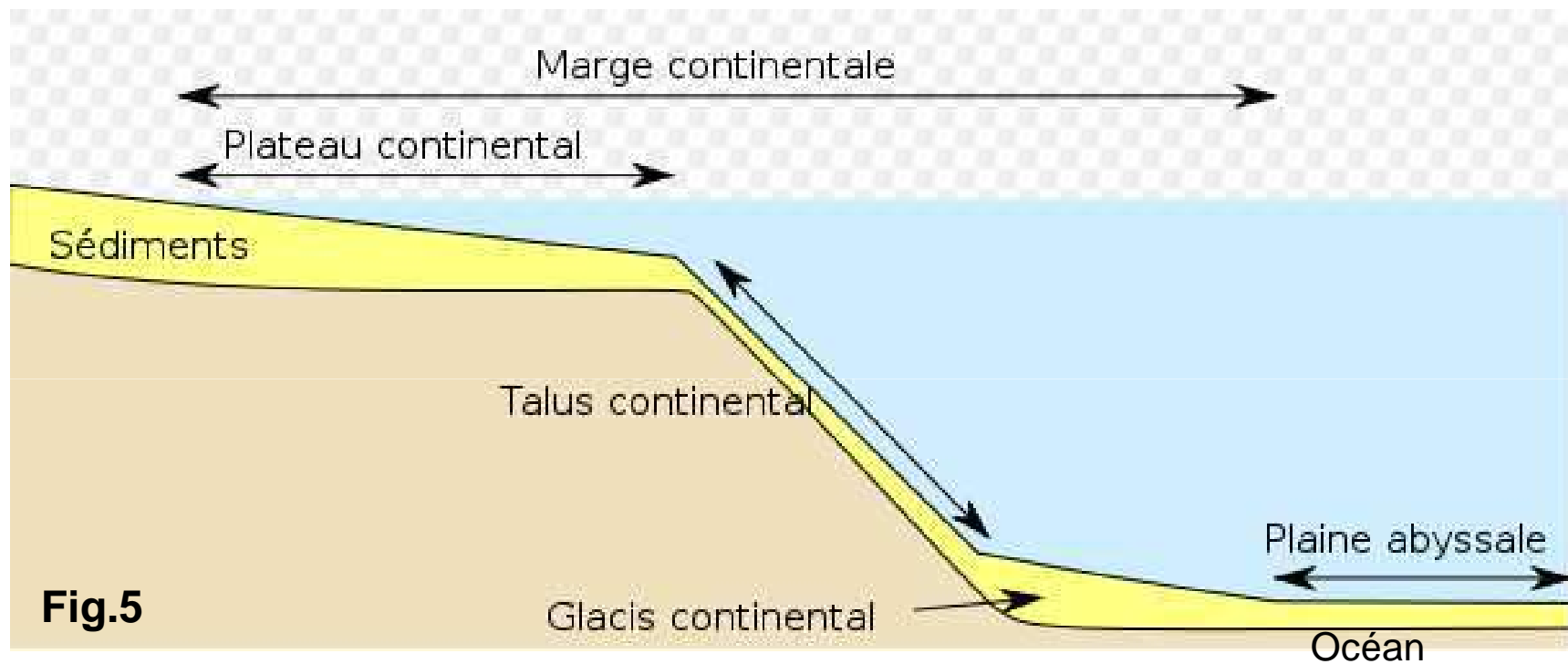


Fig.4



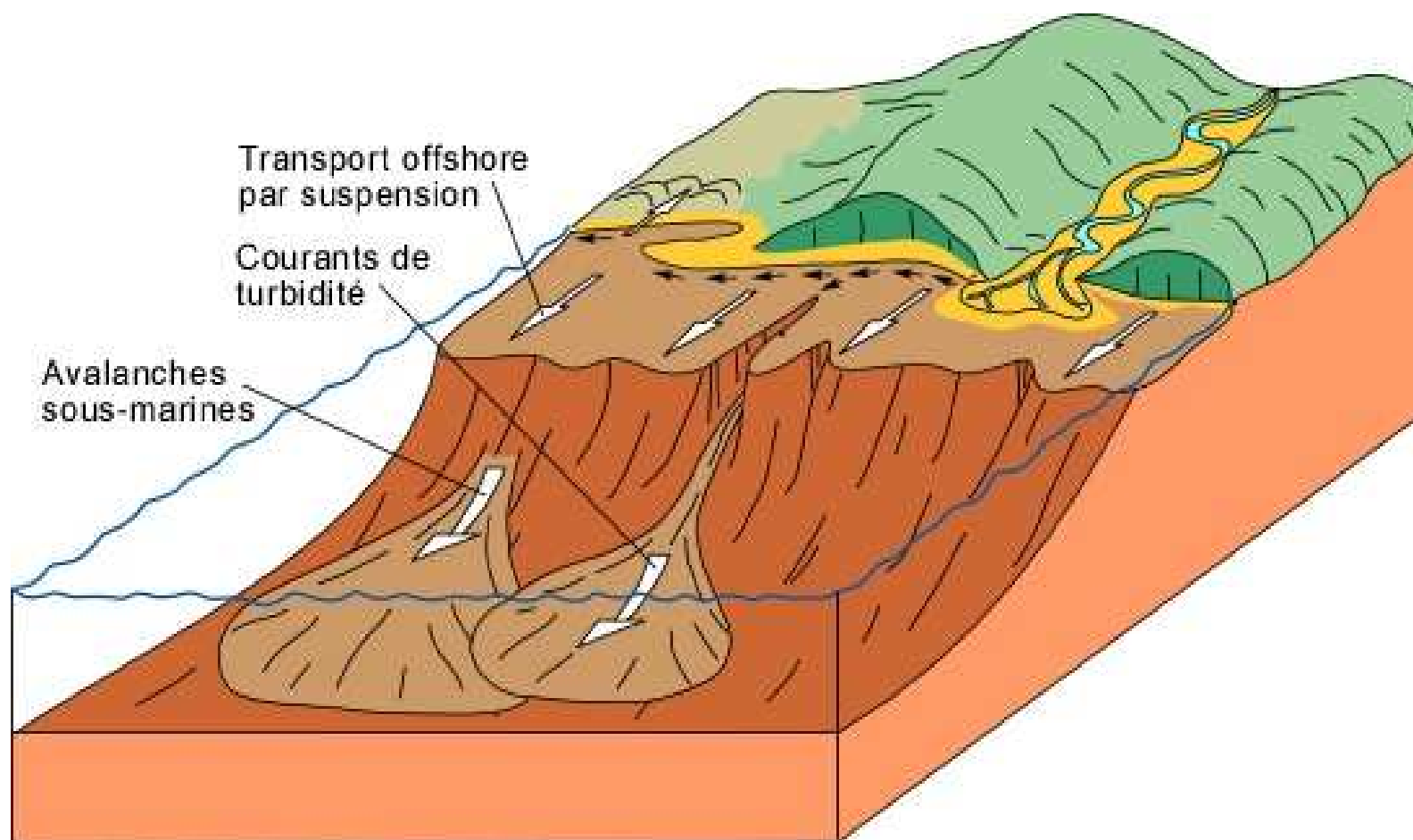
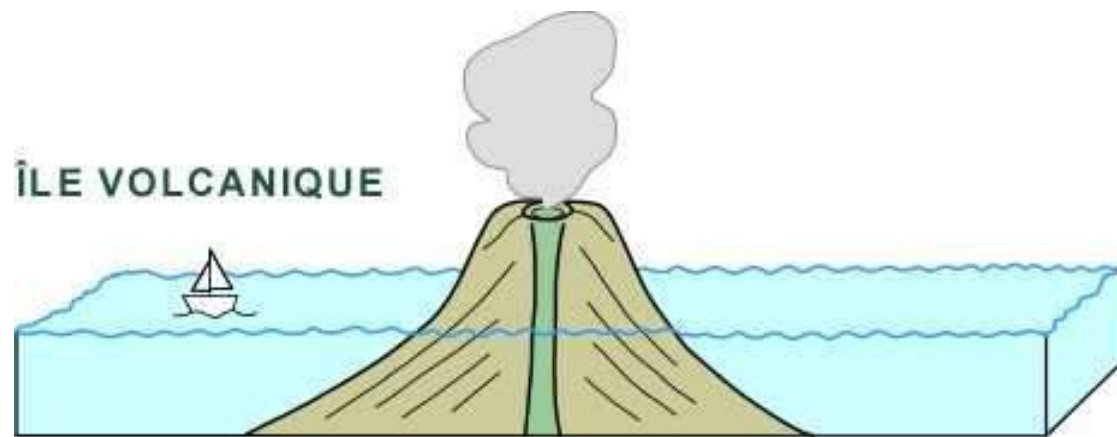
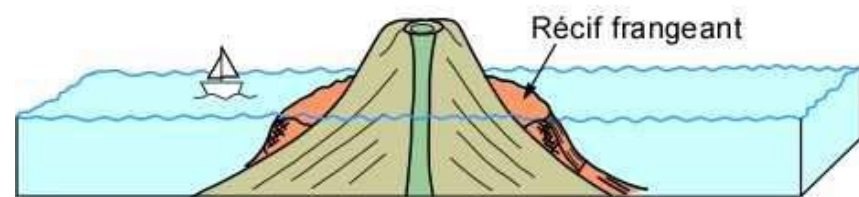


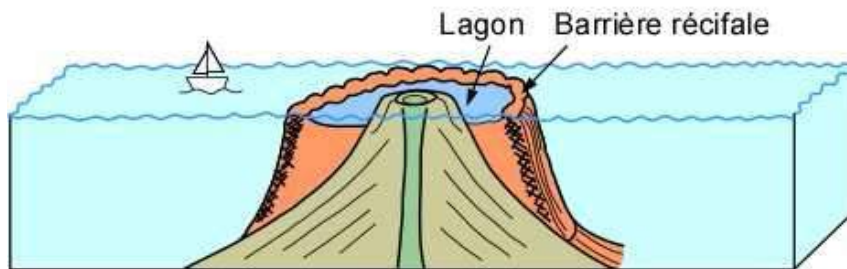
Fig.6



Stade 1 - RÉCIF FRANGEANT



Stade 2 - BARRIÈRE INSULAIRE



Ce type d'île est érodé et s'enfonce dans la croûte océanique, jusqu'à être submergée.

Stade 3 - ATOLL

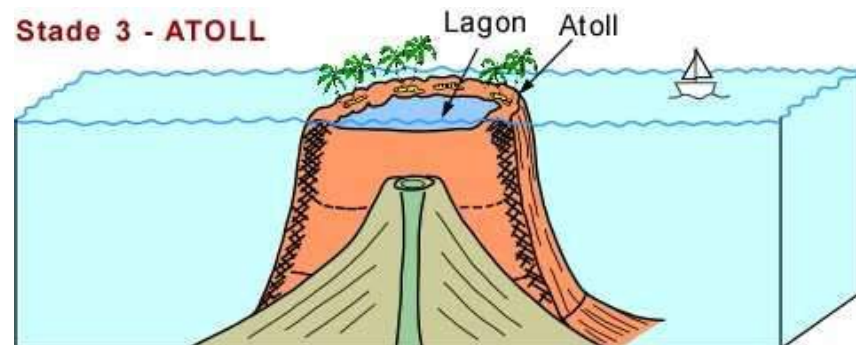


Fig.7 Stades de formations d'un atoll